

การสร้างตัวตรวจวัดแสง  $AV/n-Si/Al$  โครงสร้าง UMSM โดยเทคนิคการกัด  
ซิลิคอนแบบแอนไอโซทรอปิก

FABRICATION OF  $AV/n-Si/Al$  UMSM PHOTODETECTOR BY ANISOTROPIC  
SILICON ETCHING TECHNIQUE



วิทยานิพนธ์นี้เป็นส่วนหนึ่งของการศึกษาตามหลักสูตรปริญญาวิศวกรรมศาสตรมหาบัณฑิต  
สาขาวิชาวิศวกรรมไมโครอิเล็กทรอนิกส์  
คณะวิศวกรรมศาสตร์  
สถาบันเทคโนโลยีพระจอมเกล้าเจ้าคุณทหารลาดกระบัง

พ.ศ.2559

KMITL-2016-EN-M-043-175

สำนักหอสมุดกลาง พระจอมเกล้าลาดกระบัง

การสร้างตัวตรวจวัดแสง Au/n-Si/Al โครงสร้าง UMSM โดยเทคนิคการกัด  
ซิลิคอนแบบแอนไอโซทรอปิก

FABRICATION OF Au/n-Si/Al UMSM PHOTODETECTOR BY ANISOTROPIC  
SILICON ETCHING TECHNIQUE



T148685

ธนกฤต แสงโฮง

THANAKRIT SANGHONG

เลขทศ. 148685  
เลขทะเบียน  
รับเดือนปี 14 พ.ย. 2560

b. 00265317  
i.

วิทยานิพนธ์นี้เป็นส่วนหนึ่งของการศึกษาตามหลักสูตรปริญญาวิศวกรรมศาสตรมหาบัณฑิต  
สาขาวิชาวิศวกรรมไมโครอิเล็กทรอนิกส์  
คณะวิศวกรรมศาสตร์  
สถาบันเทคโนโลยีพระจอมเกล้าเจ้าคุณทหารลาดกระบัง  
พ.ศ.2559

KMITL-2016-EN-M-043-175

เอกสารนี้เป็นเอกสารที่สงวนไว้สำหรับการใช้งานเพื่อการศึกษาเท่านั้น ไม่อนุญาตให้นำไปใช้ประโยชน์ด้านการค้า  
ไม่ว่ากรณีใดๆ ทั้งสิ้น อีกทั้งห้ามมิให้ตัดแปลงเนื้อหา และต้องอ้างอิงถึงเจ้าของเอกสารทุกครั้งที่มีการนำไปใช้

FABRICATION OF Al/n-Si/Al UMSM PHOTODETECTOR  
BY ANISOTROPIC SILICON ETCHING TECHNIQUE



A THESIS SUBMITTED IN PARTIAL FULFILLMENT  
OF THE REQUIREMENT FOR THE DEGREE OF  
MASTER OF ENGINEERING IN MICROELECTRONICS ENGINEERING  
FACULTY OF ENGINEERING  
KING MONGKUT'S INSTITUTE OF TECHNOLOGY LADKRABANG

2016

KMITL-2016-EN-M-043-175

เอกสารนี้เป็นเอกสารที่สงวนไว้สำหรับการใช้งานภายในเท่านั้น อนุญาตให้นำไปใช้ประโยชน์ด้านการค้า  
ไม่ว่ากรณีใดๆ ทั้งสิ้น อีกทั้งห้ามมิให้ดัดแปลงเนื้อหา และต้องอ้างอิงถึงเจ้าของเอกสารทุกครั้งที่มีการนำไปใช้



COPYRIGHT 2016

FACULTY OF ENGINEERING

KING MONGKUT'S INSTITUTE OF TECHNOLOGY LADKRABANG

เอกสารนี้เป็นเอกสารที่สงวนไว้สำหรับการใช้งานเพื่อการศึกษาเท่านั้น ไม่อนุญาตให้นำไปใช้ประโยชน์ด้านการค้า  
ไม่ว่ากรณีใดๆ ทั้งสิ้น อีกทั้งห้ามมิให้ดัดแปลงเนื้อหา และต้องอ้างอิงถึงเจ้าของเอกสารทุกครั้งที่มีการนำไปใช้

คณะวิศวกรรมศาสตร์  
สถาบันเทคโนโลยีพระจอมเกล้าเจ้าคุณทหารลาดกระบัง  
ใบรับรองวิทยานิพนธ์

หัวข้อวิทยานิพนธ์ การสร้างตัวตรวจวัดแสง Al/n-Si/Al โครงสร้าง UMMSM โดยเทคนิคการกัดซิลิคอนแบบแอนไอโซทรอปิก

Thesis Title Fabrication of Al/n-Si/Al UMMSM Photodetector by Anisotropic Silicon Etching Technique

นักศึกษา นายธนภุต แสงโฮง





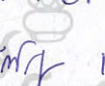
รหัสประจำตัว 57601187

ปริญญา วิศวกรรมศาสตรมหาบัณฑิต

สาขาวิชา วิศวกรรมไมโครอิเล็กทรอนิกส์

อาจารย์ที่ปรึกษาวิทยานิพนธ์ รศ.ดร.สุรศักดิ์ เนียมเจริญ


หมายเลขวิทยานิพนธ์ KMITL-2016-EN-M-043-175

คณะกรรมการสอบวิทยานิพนธ์		ลายมือชื่อ
รศ.ดร.วิสุทธิ์	ฐิติรุ่งเรือง	
ผศ.ดร.โยธิน	วงศ์ประเสริฐ	
ดร.อัมพร	โพธิ์ไย	
ดร.นรินทร์	อติวงศ์แสงทอง	
รศ.ดร.สุรศักดิ์	เนียมเจริญ	

วัน / เดือน / ปี ที่สอบ วันจันทร์ที่ 3 ตุลาคม พ.ศ. 2559 เวลา 13.00-15.00 น.  
สถานที่สอบ ณ อาคาร A ชั้น 5 ห้องประชุม 4

สถาบันเทคโนโลยีพระจอมเกล้าเจ้าคุณทหารลาดกระบัง  
KING MONGKUT'S INSTITUTE OF TECHNOLOGY LADKRABANG

คณะวิศวกรรมศาสตร์ รับรองแล้ว



เอกสารนี้เป็นเอกสารที่สงวนไว้สำหรับการใช้งานเพื่อการศึกษา (รองศาสตราจารย์ ดร.คมสัน มาลีสี) ในด้านการค้า  
ไม่ว่ากรณีใดๆ ทั้งสิ้น อีกทั้งห้ามมิให้ตัดแปลงเนื้อหา และต้องแจ้งมติเป็นจรรยาบรรณเอกสารทุกครั้งที่มีการนำไปใช้  
คณบดี คณะวิศวกรรมศาสตร์

วันที่ 3 ตุลาคม พ.ศ. 2559

หัวข้อวิทยานิพนธ์	การสร้างตัวตรวจวัดแสง AL/n-Si/Al โครงสร้าง UMMSM โดยเทคนิคการกัดซิลิคอนแบบแอนไอโซทรอปิก
นักศึกษา	นายชนกฤต แสงโฮง
รหัสนักศึกษา	57601187
ปริญญา	วิศวกรรมศาสตรมหาบัณฑิต
สาขาวิชา	วิศวกรรมไมโครอิเล็กทรอนิกส์
พ.ศ.	2559
อาจารย์ที่ปรึกษาวิทยานิพนธ์	รศ.ดร.สุรศักดิ์ เนียมเจริญ

### บทคัดย่อ

วิทยานิพนธ์นี้นำเสนอการสร้างตัวตรวจวัดแสงโครงสร้าง AL/n-Si/Al แบบร่องรูปตัวยู (U-shaped) หรือ UMMSM ด้วยเทคนิคการกัดซิลิคอนแบบแอนไอโซทรอปิก โดยใช้สารละลายเตตระเมทิลแอมโมเนียมไฮดรอกไซด์ (TMAH) ในการกัดซิลิคอนบริเวณระยะห่างระหว่างขั้วไฟฟ้าทั้งสองของตัวตรวจวัดแสงที่สร้างขึ้น โดยเปลี่ยนแปลงโครงสร้างของตัวตรวจวัดแสงจากแบบพลาแนร์ เป็นแบบร่องรูปตัวยู ซึ่งเป็นการเพิ่มพื้นที่รับแสงให้กับตัวตรวจวัดแสงโดยที่ไม่จำเป็นต้องเพิ่มระยะห่างระหว่างขั้วไฟฟ้า โดยคุณสมบัติของสารละลายที่ใช้ในการกัดร่องรูปตัวยูนี้จะทำให้เกิดการกัดแบบแอนไอโซทรอปิก โดยพื้นที่รับแสงที่เพิ่มขึ้นมีอัตราส่วนระหว่างระนาบ (111)/(100) เป็น 1.7 เท่า หลังจากสร้างตัวตรวจวัดแสงแบบร่องรูปตัวยูแล้ว จากนั้นทำการศึกษาลักษณะสมบัติทางกายภาพและลักษณะสมบัติทางไฟฟ้า โดยพบว่าลักษณะสมบัติทางกายภาพของตัวตรวจวัดแสงโครงสร้างร่องรูปตัวยู พื้นผิวของซิลิคอนมีความขรุขระ มีลักษณะปั่นพีระมิดแบบสุ่ม จึงมีการศึกษาเพิ่มเติมเกี่ยวกับการเพิ่มความเรียบให้กับพื้นผิวซิลิคอน โดยการเติมไฮโดรฟลูออริกแอซิด (IPA) ลงในสารละลาย TMAH โดยที่ IPA มีคุณสมบัติเป็นสารลดแรงตึง ซึ่งพบว่าสามารถช่วยลดความขรุขระของพื้นผิวได้ ในส่วนของลักษณะสมบัติทางไฟฟ้า พบว่ากระแสมีค่าเท่ากับ 34  $\mu\text{A}$  เมื่อให้แรงดันไบอัสเท่ากับ 3 V ส่วนกระแสแสง โดยที่ความเข้มแสง 20,000 lux ที่แรงดันไบอัส 3 V จะมีค่ากระแสแสง 352  $\mu\text{A}$  ซึ่งพบว่ามีกระแสแสงเพิ่มขึ้นเป็น 25 เท่า เมื่อเทียบกับแบบพลาแนร์ที่สร้างขึ้น และเมื่อทำการศึกษาลักษณะสมบัติความจุไฟฟ้า-แรงดัน พบว่ามีค่าความจุไฟฟ้าลดลงตามความลึกของร่องรูปตัวยูบริเวณระยะห่างระหว่างขั้วไฟฟ้า ในวิทยานิพนธ์นี้ได้ทำการเปรียบเทียบกับโครงสร้างแบบพลาแนร์ด้วย จากข้อมูลทั้งหมดที่ได้ในวิทยานิพนธ์นี้จะใช้ในการปรับปรุงและพัฒนาคุณสมบัติของตัวตรวจวัดแสงแบบร่องรูปตัวยูให้มีประสิทธิภาพที่ดีขึ้นต่อไปในอนาคต

Thesis Title	FABRICATION OF Al/n-Si/Al UMSM PHOTODETECTOR BY ANISOTROPIC SILICON ETCHING TECHNIQUE
Student	Mr. Thanakrit Sanghong
Student ID	57601187
Degree	Master of Engineering
Program	Microelectronics Engineering
Year	2016
Thesis Advisor	Assoc. Prof. Dr. Surasak Niemcharoen

## ABSTRACT

This thesis proposes to fabrication a U-shaped groove photodetector Al/n-Si/Al structure or UMSM silicon etching technique with anisotropic by tetramethylammonium hydroxide (TMAH). To etch silicon area between the two electrodes of the photodetector up changes structure of the photodetector from the planar to U-shaped groove which increases the exposure to the photodetector without the need to increase the distance between the electrodes. The properties of the solution used in the U-shaped grooves etch will cause an isotropic etching. By the light area of the increased ratio between the plane (111) / (100) was 1.7 times after creating the photodetector U-shaped groove then study the physical and electrical properties. It shows that the physical characteristics of the photodetector U-shaped grooves, the surface of the silicon is rough, the redevelopment of the random pyramid. Then more focus on adding smoothness to the surface of silicon by the addition of isopropyl alcohol (IPA) into the solution TMAH by the IPA has a surfactant then found that it can reduce the roughness of the surface. In terms of electrical characteristics, the dark current 34  $\mu\text{A}$  when a bias voltage of 3 V by the light intensity of 20,000 lux at the bias voltage 3 V to the photocurrent will be 352  $\mu\text{A}$ , which found that the light was increased 25 times compared to a planar. And when the capacitance-voltage characteristic, found that the capacity reduction by the depth of the U-shaped area between the electrodes. In this thesis has been compared to a planar structure. All of the results in this study can be used to improve the properties of the photodetector U-shaped grooves for a better performance in the future.

## กิตติกรรมประกาศ

วิทยานิพนธ์ฉบับนี้สำเร็จลุล่วงได้ด้วยความกรุณาจากอาจารย์ที่ปรึกษา รองศาสตราจารย์ ดร.สุรศักดิ์ เนียมเจริญ ที่ให้คำปรึกษาชี้แนะแนวทางและการแก้ไขปัญหาที่เกิดขึ้นในงานวิจัย ตลอดจนให้ความรู้ อบรมสั่งสอน ทั้งเรื่องเรียนและบอกเล่าประสบการณ์เพื่อเป็นแนวทางในการเรียน และการดำเนินชีวิต จนบรรลุตามเป้าหมายที่ตั้งใจไว้ด้วยดีทุกประการ

ขอขอบพระคุณรองศาสตราจารย์ ดร.วิสุทธิ ฐิติรุ่งเรือง, ดร.นรินทร์ อติวงศ์แสงทอง, และคณาจารย์ทุกท่าน ที่ให้ความเมตตาประสิทธิประสาทวิชาความรู้ตลอดจนให้คำปรึกษาทางวิชาการ รวมไปถึงปลูกฝังสิ่งที่ดีงามให้แก่ศิษย์ทุกคน

ขอขอบคุณ ดร.อัมพร โพธิ์ไย ผู้อำนวยการศูนย์เทคโนโลยีไมโครอิเล็กทรอนิกส์ (TMEC) , ดร.จิรวัดน์ ปราบเขต และนักวิจัยศูนย์เทคโนโลยีไมโครอิเล็กทรอนิกส์ทุกท่าน สำหรับการสนับสนุนเทคโนโลยีในการสร้างและเครื่องมือในการทดลองบางส่วน ตลอดจนคำแนะนำต่างๆ ที่เป็นประโยชน์ต่องานวิจัยนี้

ขอขอบคุณ ดร.กอบศักดิ์ ศรีประภา, ดร.ทวิวัฒน์ กระจ่างสังข์, ดร.จรรย์ ศรีธาราธิคุณ และนักวิจัยห้องปฏิบัติการห้องปฏิบัติการเทคโนโลยีพลังงานแสงอาทิตย์ (STL) ศูนย์เทคโนโลยีอิเล็กทรอนิกส์และคอมพิวเตอร์แห่งชาติ (NECTEC) ทุกท่าน สำหรับการสนับสนุนเครื่องมือในการทดลองบางส่วน ตลอดจนคำแนะนำต่างๆ ที่เป็นประโยชน์ต่องานวิจัยนี้

ขอขอบคุณ คุณไอลดา สุวรรณชาติ, คุณงามจิต มงคลชนานนท์, คุณวุฒิไกร คำอ่อน และคุณยุทธนา แจ็งอรุณ ที่ช่วยเหลือและคำแนะนำที่เป็นประโยชน์ต่อวิทยานิพนธ์เล่มนี้

สุดท้ายนี้ขอกราบขอบพระคุณบิดา มารดา ที่ทุ่มเทแรงกายแรงใจ สนับสนุน ข้าพเจ้าทั้งในด้านการเรียน และให้กำลังใจในยามที่ท้อแท้ รวมทั้งบุคคลอื่นๆ ที่ไม่ได้กล่าวชื่อนามทุกท่านที่ช่วยให้คำแนะนำและช่วยเหลือ จนทำให้วิทยานิพนธ์นี้สำเร็จลุล่วงไปได้ด้วยดี

สำหรับคุณประโยชน์อันพึงเกิดจากวิทยานิพนธ์เล่มนี้ ขอมอบให้แก่คณาจารย์ที่เคารพทุกท่าน และห้องปฏิบัติการไมโครอิเล็กทรอนิกส์ ภาควิศวกรรมอิเล็กทรอนิกส์ คณะวิศวกรรมศาสตร์ สถาบันเทคโนโลยีพระจอมเกล้าเจ้าคุณทหารลาดกระบัง ซึ่งเป็นสถานที่ที่ให้ความรู้และประสบการณ์ในการทำวิจัยจนกระทั่งจบการศึกษา

ธนกฤต แสงโฮง

# สารบัญ

	หน้า
บทคัดย่อภาษาไทย.....	I
บทคัดย่อภาษาอังกฤษ.....	II
กิตติกรรมประกาศ.....	III
สารบัญ.....	IV
สารบัญตาราง.....	VII
สารบัญรูป.....	VIII
รายการคำย่อ.....	XII
รายการสัญลักษณ์.....	XIII
รายการคำศัพท์เทคนิค.....	XV
บทที่ 1 บทนำ.....	1
1.1 ความเป็นมาและความสำคัญของงานวิจัย.....	1
1.2 วัตถุประสงค์ของงานวิจัย.....	3
1.3 ขอบเขตการวิจัยและขั้นตอนการศึกษา.....	3
1.4 ประโยชน์ที่คาดว่าจะได้รับจากงานวิจัย.....	4
1.5 รายละเอียดของวิทยานิพนธ์.....	4
บทที่ 2 ทฤษฎีที่เกี่ยวข้อง.....	5
2.1 ตัวตรวจวัดแสง.....	6
2.1.1 ตัวตรวจวัดแสงในสถานะสมดุล.....	6
2.1.2 ตัวตรวจวัดแสงขณะได้รับแรงดันไบอัส.....	7
2.1.3 ตัวตรวจวัดแสงเมื่อมีความเข้มแสงตกกระทบ.....	8
2.2 การกัด.....	11
2.2.1 การกัดแบบเปียก.....	11
2.2.2 การกัดแบบแห้ง.....	15
2.3 การกัดเปียกแบบแอนไอโซทรอปิกโดยใช้สารละลาย TMAH.....	17
2.4 การกัดแผ่นผลึกซิลิคอนแบบแอนไอโซทรอปิก.....	20
2.4.1 ปฏิริยาการกัดซิลิคอน.....	20
2.4.2 โครงสร้างอะตอมของซิลิคอน.....	21

เอกสารนี้เป็นเอกสารที่สงวนไว้สำหรับการใช้งานเพื่อการศึกษาเท่านั้น ไม่อนุญาตให้นำไปใช้ประโยชน์ด้านการค้า  
ไม่ว่ากรณีใดๆ ทั้งสิ้น อีกทั้งห้ามมิให้ดัดแปลงเนื้อหา และ IV ต้องอ้างอิงถึงเจ้าของเอกสารทุกครั้งที่มีการนำไปใช้

## สารบัญ (ต่อ)

	หน้า
2.4.3 ปฏิบัติการกัดอะลูมิเนียม .....	23
บทที่ 3 การออกแบบและกระบวนการสร้าง .....	25
3.1 การออกแบบ .....	25
3.2 เงื่อนไขที่ใช้ในกระบวนการกัดแผ่นซิลิคอน .....	25
3.3 กระบวนการสร้าง .....	26
3.3.1 ขั้นตอนการเตรียมแผ่นผลึกซิลิคอน .....	26
3.3.2 กระบวนการสร้างชั้นโลหะอะลูมิเนียม .....	26
3.3.3 กระบวนการโพโตลิโธกราฟี .....	27
3.3.4 กระบวนการกัด .....	27
3.3.5 กระบวนการขึ้นเตอริง .....	27
บทที่ 4 ผลการทดลองและวิเคราะห์ผลการทดลอง .....	30
4.1 การสร้างตัวตรวจวัดแสงโครงสร้าง Al/n-Si/Al แบบพลาสมา .....	30
4.1.1 ลักษณะสมบัติทางไฟฟ้าของตัวตรวจวัดแสงโครงสร้าง Al/n-Si/Al แบบพลาสมา .....	30
4.2 การสร้างตัวตรวจวัดแสงโครงสร้าง Al/n-Si/Al แบบร่องรูปตัวยู .....	32
4.2.1 การศึกษาลักษณะทางกายภาพของตัวตรวจวัดแสงโครงสร้าง Al/n-Si/Al แบบร่องรูปตัวยู .....	32
4.2.2 ลักษณะสมบัติทางไฟฟ้าของตัวตรวจวัดแสงโครงสร้าง Al/n-Si/Al แบบร่องรูปตัวยู เมื่อไม่ได้รับแสงตกกระทบ .....	35
4.2.3 ลักษณะสมบัติทางไฟฟ้าของตัวตรวจวัดแสงโครงสร้าง Al/n-Si/Al แบบร่องรูปตัวยู เมื่อได้รับแสงตกกระทบ .....	38
4.2.4 ลักษณะสมบัติทางไฟฟ้าของตัวตรวจวัดแสงโครงสร้าง Al/n-Si/Al แบบร่องรูปตัวยู เมื่อได้รับแสงตกกระทบที่ระยะห่างระหว่างขั้วไฟฟ้าต่างกัน .....	41
4.3 การสร้างตัวตรวจวัดแสงโครงสร้าง Al/n-Si/Al แบบร่องรูปตัวยูโดยมีการเติมไอโซโทปฟิลแอลกอฮอล์ลงในสารละลาย .....	45

## สารบัญ (ต่อ)

	หน้า
4.3.1 การศึกษาลักษณะทางกายภาพของตัวตรวจวัดแสงโครงสร้าง Al/n-Si/Al แบบร่องรูปตัวยูโดยมีการเติมไอโซโทปฟอสฟอรัสแอลกอฮอล์ลงไปในการละลาย ...	46
4.3.2 ลักษณะสมบัติทางไฟฟ้าของตัวตรวจวัดแสงโครงสร้าง Al/n-Si/Al แบบ ร่องรูปตัวยู โดยมีการเติมไอโซโทปฟอสฟอรัสแอลกอฮอล์ลงไปในการละลาย เมื่อไม่ได้รับแสงตกกระทบ .....	50
4.3.3 ลักษณะสมบัติความจุไฟฟ้า-แรงดันของตัวตรวจวัดแสงโครงสร้าง Al/n-Si/Al แบบร่องรูปตัวยู โดยมีการเติมไอโซโทปฟอสฟอรัสแอลกอฮอล์ลงไปในการละลาย ..	50
4.3.4 ลักษณะสมบัติทางไฟฟ้าของตัวตรวจวัดแสงโครงสร้าง Al/n-Si/Al แบบ ร่องรูปตัวยู โดยมีการเติมไอโซโทปฟอสฟอรัสแอลกอฮอล์ลงไปในการละลาย เมื่อได้รับแสงตกกระทบ .....	53
4.3.5 ลักษณะสมบัติทางไฟฟ้าของตัวตรวจวัดแสงโครงสร้าง Al/n-Si/Al แบบร่องรูปตัวยู โดยมีการเติมไอโซโทปฟอสฟอรัสแอลกอฮอล์ลงไปในการละลาย เมื่อได้รับแสงตกกระทบ ที่ความถี่ของระยะห่างระหว่างขั้วไฟฟ้าต่างกัน .....	55
บทที่ 5 สรุปผลการวิจัยและข้อเสนอแนะ .....	57
เอกสารอ้างอิง .....	59
ภาคผนวก ผลงานทางวิชาการของงานวิจัยนี้ที่ได้รับการตีพิมพ์ .....	62
ประวัติผู้เขียน .....	74

## สารบัญตาราง

ตารางที่	หน้า
2.1 การกั้ดเป็ยกแบบแอนไอโซทรอปิกของสารละลาย TMAH.....	18
2.2 เปรียบเทียบอัตราการกั้ดของสารละลาย .....	19



เอกสารนี้เป็นเอกสารที่สงวนไว้สำหรับการใช้งานเพื่อการศึกษาเท่านั้น ไม่อนุญาตให้นำไปใช้ประโยชน์ด้านการค้า  
ไม่ว่ากรณีใดๆ ทั้งสิ้น อีกทั้งห้ามมิให้ดัดแปลงเนื้อหา และ VII ต้องอ้างอิงถึงเจ้าของเอกสารทุกครั้งที่มีการนำไปใช้

# สารบัญรูป

รูปที่	หน้า
1.1	
(ก) แบบเชิงราบ	
(ข) แบบร่องรูปตัวยู.....	2
2.1	6
2.2	7
2.3	8
2.4	13
2.5	10
2.6	11
2.7	12
2.8	12
2.9	13
2.10	14
2.11	15
2.12	15
2.13	16
2.14	17
2.15	22
2.16	23
3.1	25
3.2	28
3.3	28
3.4	29
4.1	31

## สารบัญญรูป(ต่อ)

รูปที่	หน้า
4.2 ลักษณะกระแส-แรงดันของตัวตรวจวัดแสงโครงสร้างสองรอยสัมผัสชนิดทีเกียแบบพลา- นาร์ขณะได้รับแสงตกกระทบ .....	31
4.3 ภาพถ่ายของตัวตรวจวัดแสงโครงสร้าง Al/n-Si/Al แบบร่องรูปตัวยู (ก) ภาพถ่ายด้วยกล้องไมโครสโคปกำลังขยาย 40 เท่า (ข) ภาพถ่ายด้วยกล้องจุลทรรศน์อิเล็กตรอนแบบส่องกราด (SEM) กำลังขยาย 500 เท่า..	32
4.4 ภาคตัดขวางจาก SEM ของตัวตรวจวัดแสงโครงสร้าง Al/n-Si/Al แบบร่องรูปตัวยูที่กำลัง ขยาย 3,000 เท่า.....	33
4.5 ลักษณะของตัวตรวจวัดแสงโครงสร้าง Al/n-Si/Al แบบร่องรูปตัวยู .....	34
4.6 ภาพถ่ายพื้นผิวบริเวณพื้นที่รับแสงของตัวตรวจวัดแสงโครงสร้าง Al/n-Si/Al แบบร่องรูป ตัวยู.....	35
4.7 แผนภาพที่ใช้ในการทดลองลักษณะสมบัติกระแส-แรงดัน เมื่อไม่ได้รับแสงตกกระทบ .....	35
4.8 ลักษณะสมบัติกระแส-แรงดันของตัวตรวจวัดแสงโครงสร้าง Al/n-Si/Al แบบร่องรูปตัวยูที่ เวลาซินเตอร์ต่างกัน .....	36
4.9 แผนภาพที่ใช้ในการทดลองลักษณะสมบัติกระแส-แรงดัน เมื่อได้รับแสงตกกระทบ .....	38
4.10 ลักษณะสมบัติกระแส-แรงดันเมื่อผ่านการซินเตอร์ที่อุณหภูมิ 500 °C เป็นเวลา 15 นาที ขณะได้รับแสงตกกระทบ.....	39
4.11 ลักษณะสมบัติกระแส-แรงดันเมื่อผ่านการซินเตอร์ที่อุณหภูมิ 500 °C เป็นเวลา 30 นาที ขณะได้รับแสงตกกระทบ.....	39
4.12 ลักษณะสมบัติกระแส-แรงดันเมื่อผ่านการซินเตอร์ที่อุณหภูมิ 500 °C เป็นเวลา 15 และ 30 นาที ขณะได้รับแสงตกกระทบ. ....	40
4.13 ลักษณะสมบัติกระแส-ความเข้มแสงเมื่อผ่านการซินเตอร์ที่อุณหภูมิ 500 °C เป็นเวลา 15 และ 30 นาที ขณะได้รับแสงตกกระทบ.....	41
4.14 ลักษณะสมบัติกระแส-แรงดัน ขณะได้รับแสงตกกระทบของตัวตรวจวัดแสงโครงสร้าง Al/n-Si/Al แบบร่องรูปตัวยู ที่ระยะห่างระหว่างขั้วไฟฟ้า 60 $\mu\text{m}$ .....	42
4.15 ลักษณะสมบัติกระแส-แรงดัน ขณะได้รับแสงตกกระทบของตัวตรวจวัดแสงโครงสร้าง Al/n-Si/Al แบบร่องรูปตัวยู ที่ระยะห่างระหว่างขั้วไฟฟ้า 80 $\mu\text{m}$ .....	42
4.16 ลักษณะสมบัติกระแส-แรงดัน ขณะได้รับแสงตกกระทบของตัวตรวจวัดแสงโครงสร้าง Al/n-Si/Al แบบร่องรูปตัวยู ที่ระยะห่างระหว่างขั้วไฟฟ้า 100 $\mu\text{m}$ .....	43

เอกสารนี้เป็นเอกสารที่สงวนไว้สำหรับการใช้งานเพื่อการศึกษาเท่านั้น ไม่อนุญาตให้นำไปใช้ประโยชน์ด้านการค้า  
ไม่ว่ากรณีใดๆ ทั้งสิ้น อีกทั้งห้ามมิให้ดัดแปลงเนื้อหา และต้องอ้างอิงถึงเจ้าของเอกสารทุกครั้งที่มีการนำไปใช้

## สารบัญรูป(ต่อ)

รูปที่	หน้า	
4.17	ลักษณะสมบัติกระแส-แรงดัน ขณะได้รับแสงตกกระทบของตัวตรวจวัดแสงโครงสร้าง Al/n-Si/Al แบบร่องรูปด้วย ที่ระยะห่างระหว่างขั้วไฟฟ้า 40-100 $\mu\text{m}$ .....	43
4.18	ลักษณะสมบัติกระแส-ความเข้มแสง ขณะได้รับแสงตกกระทบของตัวตรวจวัดแสง โครงสร้าง Al/n-Si/Al แบบร่องรูปด้วย ที่ระยะห่างระหว่างขั้วไฟฟ้า 40-100 $\mu\text{m}$ .....	44
4.19	แผนภาพแถบพลังงานของตัวตรวจวัดแสงโครงสร้าง Al/n-Si/Al ที่มีระยะห่างระหว่าง ขั้วไฟฟ้าขนาดกว้างเมื่อได้รับแรงดันไบอัส.....	45
4.20	ภาพถ่ายของตัวตรวจวัดแสงโครงสร้าง Al/n-Si/Al แบบร่องรูปด้วยโดยมีการเติมไอโซ- โพรพิลแอลกอฮอล์ลงในสารละลาย (ก) ภาพถ่ายด้วยกล้องไมโครสโคปกำลังขยาย 30 เท่า (ข) ภาพถ่ายด้วยกล้องจุลทรรศน์อิเล็กตรอนแบบส่องกราด (SEM) กำลังขยาย 500 เท่า..	47
4.21	ภาพถ่าย SEM ของตัวตรวจวัดแสงโครงสร้าง Al/n-Si/Al แบบร่องรูปด้วยที่กำลังขยาย 10,000 เท่า..... (ก) เมื่อไม่มีการเติม IPA ลงในสารละลาย (ข) เมื่อมีการเติม IPA ลงในสารละลาย.....	47
4.22	ภาพถ่าย SEM ของตัวตรวจวัดแสงโครงสร้าง Al/n-Si/Al แบบร่องรูปด้วยโดยมีการเติม ไอโซโพรพิลแอลกอฮอล์ลงในสารละลาย ที่กำลังขยาย 3000 เท่า.....	48
4.23	ภาคตัดขวางของตัวตรวจวัดแสงโครงสร้าง Al/n-Si/Al แบบร่องรูปด้วยที่กำลังขยาย 10,000 เท่า. (ก) เมื่อไม่มีการเติม IPA ลงในสารละลาย (ข) เมื่อมีการเติม IPA ลงในสารละลาย.....	48
4.24	ภาพถ่ายพื้นผิวบริเวณพื้นที่รับแสงของตัวตรวจวัดแสงโครงสร้าง Al/n-Si/Al แบบร่อง รูปด้วยที่ใช้เวลาในการกัดต่างกัน.....	49
4.25	ลักษณะสมบัติกระแส-แรงดันของตัวตรวจวัดแสงโครงสร้าง Al/n-Si/Al แบบร่องรูปด้วย โดยมีการเติมไอโซโพรพิลแอลกอฮอล์ลงในสารละลายขณะไม่ได้รับแสงตกกระทบ.....	50
4.26	ลักษณะสมบัติความจุไฟฟ้า-แรงดันของตัวตรวจวัดแสงโครงสร้าง Al/n-Si/Al แบบ ร่องรูปด้วย โดยมีการเติมไอโซโพรพิลแอลกอฮอล์ลงในสารละลาย.....	51
4.27	ภาพแสดงบริเวณปลอดพหะ.....	52

เอกสารนี้เป็นเอกสารที่สงวนไว้สำหรับการใช้งานเพื่อการศึกษาเท่านั้น ไม่อนุญาตให้นำไปใช้ประโยชน์ด้านการค้า  
ไม่ว่ากรณีใดๆ ทั้งสิ้น อีกทั้งห้ามมิให้ดัดแปลงเนื้อหา และต้องอ้างอิงถึงเจ้าของเอกสารทุกครั้งที่มีการนำไปใช้

## สารบัญรูป(ต่อ)

รูปที่	หน้า
4.28 ลักษณะความกว้างบริเวณปลอดพาหะ-แรงดันของตัวตรวจวัดแสงโครงสร้าง AL/n-Si/Al แบบร่องรูปตัวยู โดยมีการเติมไอโซโทปฟอสฟอรัสลงไปในการละลาย .....	52
4.29 ลักษณะกระแสแสง-ความกว้างบริเวณปลอดพาหะของตัวตรวจวัดแสงโครงสร้าง AL/n-Si/Al แบบร่องรูปตัวยู โดยมีการเติมไอโซโทปฟอสฟอรัสลงไปในการละลาย .....	53
4.30 ลักษณะสมบัติกระแส-แรงดันของตัวตรวจวัดแสงโครงสร้าง AL/n-Si/Al แบบร่องรูปตัวยู ที่มีความลึกของระยะห่างขั้วไฟฟ้า 2 $\mu\text{m}$ ขณะได้รับแสงตกกระทบ .....	54
4.31 ลักษณะสมบัติกระแส-แรงดันของตัวตรวจวัดแสงโครงสร้าง AL/n-Si/Al แบบร่องรูปตัวยู ที่มีความลึกของระยะห่างขั้วไฟฟ้า 0.3 $\mu\text{m}$ ขณะได้รับแสงตกกระทบ .....	55
4.32 ลักษณะสมบัติกระแส-แรงดันของตัวตรวจวัดแสงโครงสร้าง AL/n-Si/Al แบบร่องรูปตัวยู ที่มีความลึกของระยะห่างขั้วไฟฟ้า 3.5 $\mu\text{m}$ ขณะได้รับแสงตกกระทบ .....	56

## รายการคำย่อ

อักษรย่อ	คำเต็มภาษาอังกฤษ	คำแปลภาษาไทย
DI	De-ionization water	น้ำไร้ประจุ
EDP	Ethylenediamine pyrocatechol	เอธิลีนไดแอมมีน ไพโรคาทิกคอล
ERC	Electronic Research Center	ศูนย์วิจัยอิเล็กทรอนิกส์
FCC	Face Centred Cubic	เฟสเซ็นเตอร์คิวบิก
HF	Hydrofluoric acid	กรดไฮโดรฟลูออริก
H <sub>2</sub> O	Water	น้ำ
IPA	Isopropyl alcohol	ไอโซโพรพิลแอลกอฮอล์
KOH	Potassium hydroxide	โพแทสเซียมไฮดรอกไซด์
MEMS	Microelectromechanical systems	ระบบเครื่องกลไฟฟ้าจุลภาค
NaOH	Sodium hydroxide	โซเดียมไฮดรอกไซด์
NH <sub>4</sub> OH	Ammonium hydroxide	แอมโมเนียมไฮดรอกไซด์
n-Si	N type Silicon	ซิลิคอนชนิดเอ็น
OH	Hydroxide	ไฮดรอกไซด์
PR	Photoresist	น้ำยาไวแสง
Si	Silicon	ซิลิคอน
SiO <sub>2</sub>	Silicon dioxide	ซิลิคอนไดออกไซด์
TMEC	Thai Microelectronics Center	ศูนย์เทคโนโลยีไมโครอิเล็กทรอนิกส์
TMAH	Tetramethyl ammonium hydroxide	เตตระเมทิลแอมโมเนียมไฮดรอกไซด์
μm	Micrometer	ไมโครเมตร

เอกสารนี้เป็นเอกสารที่สงวนไว้สำหรับการใช้งานเพื่อการศึกษาเท่านั้น ไม่อนุญาตให้นำไปใช้ประโยชน์ด้านการค้า  
ไม่ว่ากรณีใดๆ ทั้งสิ้น อีกทั้งห้ามมิให้ดัดแปลงเนื้อหา และXII ต้องอ้างอิงถึงเจ้าของเอกสารทุกครั้งที่มีการนำไปใช้

## รายการสัญลักษณ์

$A$	คือ	พื้นที่รอยสัมผัส
$A^*$	คือ	ค่าคงตัวริชาร์ดสัน
$C$	คือ	ค่าความจุไฟฟ้า
$D$	คือ	ระยะห่างระหว่างจุดกำเนิดรังสีและอุปกรณ์
$D_{TxR}$	คือ	ปริมาณรังสีที่ดูดซับโดยเฉลี่ยในเนื้อเยื่อ
$E_0$	คือ	ระดับสูญญากาศ
$E_A$	คือ	ระดับผู้รับแบบลึกลับ
$E_a$	คือ	ระดับพลังงานกระตุ้น
$E_C$	คือ	ระดับพลังงานต่ำสุดของแถบนำไฟฟ้า
$E_D$	คือ	ระดับผู้ให้แบบลึกลับ
$E_F$	คือ	ระดับพลังงานเฟอร์มิ
$E_{FM}$	คือ	ระดับพลังงานเฟอร์มิด้านโลหะ
$E_{FS}$	คือ	ระดับพลังงานเฟอร์มิด้านสารกึ่งตัวนำ
$E_g$	คือ	ช่องว่างพลังงาน
$E_i$	คือ	ระดับกึ่งกลางของช่องว่างพลังงาน
$E_V$	คือ	ระดับพลังงานสูงสุดของแถบวาเลนซ์
$E_T$	คือ	ระดับพลังงานของจุดบกพร่อง
$\mathcal{E}_s$	คือ	ค่าเปอร์มิตติวิตีของสารกึ่งตัวนำ
$h$	คือ	ค่าคงที่ของพลังค์
$I_0$	คือ	ค่ากระแสอิ่มตัวย้อนกลับ
$I_F$	คือ	กระแสไฟฟ้าด้านไบอัสตรง
$I_{MS}$	คือ	กระแสไฟฟ้าที่มีทิศทางไหลจากด้านโลหะไปด้านสารกึ่งตัวนำ
$I_R$	คือ	กระแสไฟฟ้าด้านไบอัสย้อนกลับ
$I_s$	คือ	ค่ากระแสอิ่มตัวย้อนกลับหรือกระแสรั่วไหลของรอยสัมผัส
$I_{SM}$	คือ	กระแสไฟฟ้าที่มีทิศทางไหลจากด้านสารกึ่งตัวนำไปด้านโลหะ
$I_P$	คือ	กระแสแสง
$I_c$	คือ	กระแสคอนดักเตอร์
$I_d$	คือ	กระแสโฟโตไดโอด

เอกสารนี้เป็นเอกสารที่สงวนไว้สำหรับการใช้งานเพื่อการศึกษาเท่านั้น ไม่อนุญาตให้นำไปใช้ประโยชน์ด้านการค้า  
ไม่ว่ากรณีใดๆ ทั้งสิ้น อีกทั้งห้ามมิให้ตัดแปลงเนื้อหา XIII ต้องอ้างอิงถึงเจ้าของเอกสารทุกครั้งที่มีการนำไปใช้

## รายการสัญลักษณ์ (ต่อ)

$J$	คือ	ความหนาแน่นกระแส
$k$	คือ	ค่าคงที่โบสต์มันน์
$kV$	คือ	พลังงานรังสีเอกซ์
$mA$	คือ	กระแสที่ถูกป้อนให้หัวจ่ายรังสีเอกซ์
$n$	คือ	แพคเตอร์อุคมคติ
$N_A$	คือ	ความหนาแน่นของพาหะผู้รับ
$N_A^-$	คือ	ไอออนลบของอะตอมผู้รับ
$N_D$	คือ	ความหนาแน่นของพาหะผู้ให้
$N_D^+$	คือ	ไอออนบวกของอะตอมผู้ให้
$q$	คือ	ประจุไฟฟ้าของอิเล็กตรอน
$S$	คือ	เวลาการฉายรังสีเอกซ์
$T$	คือ	อุณหภูมิสัมบูรณ์
$V_A$	คือ	แรงดันไบอัส
$V_{bi}$	คือ	แรงดันภายใน
$W_d$	คือ	ความกว้างของบริเวณปลอดพาหะ
$\chi$	คือ	อิเล็กตรอนแอฟฟินิตี
$\phi_{bn}$	คือ	ความสูงกำแพงศักย์ชนิดตักกี
$\phi_M$	คือ	ฟังก์ชันงานของโลหะ
$\phi_S$	คือ	ฟังก์ชันงานของสารกึ่งตัวนำ

เอกสารนี้เป็นเอกสารที่สงวนไว้สำหรับการใช้งานเพื่อการศึกษาเท่านั้น ไม่อนุญาตให้นำไปใช้ประโยชน์ด้านการค้า  
ไม่ว่ากรณีใดๆ ทั้งสิ้น อีกทั้งห้ามมิให้ดัดแปลงเนื้อหา XIV ต้องอ้างอิงถึงเจ้าของเอกสารทุกครั้งที่มีการนำไปใช้

## รายการคำศัพท์เทคนิค

### ภาษาไทย

### ภาษาอังกฤษ

การกัด	Etching
การกัดแบบเปียก	Wet etching
การกัดแบบแห้ง	Dry etching
การกัดแบบพลาสมา	Plasma etching
การกัดด้วยสารเคมีแบบแห้ง	Chemical dry etching
การกัดด้วยไอออนที่ ไรต่อปฏิกิริยา	Reactive ion etching
การเกิดส่วนไวต่อปฏิกิริยา	Active species generation
การดูดซับ	Absorption
การแพร่กระจาย	Diffusion
การโยกย้าย	Migration
กรดไฮโดรฟลูออริก	Hydrofluoric acid
กรดไนตริก	Nitric acid
กรดปิรันยา	Piranha
กลไกของการกัดแบบแอนไอโซทรอปิก	Mechanism of anisotropic etching
กระบวนการดูดกลืนแสง	Absorption process
กระบวนการสปัตเตอริง	RF sputtering
กระแสมืด	Dark current
กระแสรั่วไหล	Leakage current
กระแสแสง	Photocurrent
การไบอัสตรง	Forward bias
การไบอัสย้อนกลับ	Reverse bias
ขั้วแคโทด	Cathode
ขั้วแอโนด	Anode
ความกว้างบริเวณปลอดพาหะ	Depletion width
ช่องว่างแถบพลังงาน	Energy gap
ไดโอดพี-เอ็น	P-N diode
ตัวตรวจจับแสง	Photodetectors
ไตรโคลโรเอทรีลีน	Trichloroethylene

เอกสารนี้เป็นเอกสารที่สงวนไว้สำหรับการใช้งานเพื่อการศึกษาเท่านั้น เมื่อผู้เช่าได้เห็นใบใช้ประโยชน์ด้านการค้า

ไม่ว่ากรณีใดๆ ทั้งสิ้น อีกทั้งห้ามมิให้ดัดแปลงเนื้อหา XV ต้องอ้างอิงถึงเจ้าของเอกสารทุกครั้งที่มีการนำไปใช้

## รายการคำศัพท์เทคนิค (ต่อ)

### ภาษาไทย

### ภาษาอังกฤษ

แถบนำไฟฟ้า	Conduction band
แถบวาเลนซ์	Valence band
เนื้อสารกึ่งตัวนำ	Bulk
น้ำยาขึ้นลวดลาย	Developer
น้ำยาไวแสง	Photoresist
เข้าหลอมสาร	Crucible
โปรตรอน	Proton
พลังงานยึดเหนี่ยว	Binding energy
พาหะส่วนมาก	Majority carrier
พาหะส่วนน้อย	Minority carrier
ฟังก์ชันงาน	Work function
โฟโตมาร์ก	Photo mask
โฟโตลิโธกราฟี	Photolithography
ภาคตัดขวางการจับยึด	Capture cross section
ระดับพลังงานระดับลึก	Deep level energy
ระดับพลังงานดักจับ	Energy trap
เรกติไฟร์	Rectifier
แรงดันพังทลาย	Breakdown voltage
รอยสัมผัสขั้วต่อตักกี	Schottky contact
รอยสัมผัสระหว่างโลหะกับสารกึ่งตัวนำ	Metal-semiconductor contact
รอยสัมผัสโอห์มิก	Ohmic contact
ระดับพลังงานผู้รับแบบลึก	Deep acceptor level
ระดับพลังงานผู้ให้แบบลึก	Deep donor level
ระดับพลังงานเฟอร์มิ	Fermi energy
ระบบระเหยสารด้วยลำอิเล็กตรอน	Electron-beam evaporation
รังสีเอกซ์	X-ray
สิ่งปนเปื้อน	Contamination

เอกสารนี้เป็นเอกสารที่สงวนไว้สำหรับการใช้งานเพื่อการศึกษาเท่านั้น เมื่อผู้ผู้ใดเห็นนำไปใช้ประโยชน์ด้านการค้า  
ไม่ว่ากรณีใดๆ ทั้งสิ้น อีกทั้งห้ามมิให้ตัดแปลงเนื้อหา XVI ต้องอ้างอิงถึงเจ้าของเอกสารทุกครั้งที่มีการนำไปใช้

## รายการคำศัพท์เทคนิค (ต่อ)

### ภาษาไทย

### ภาษาอังกฤษ

สารกึ่งตัวนำชนิดพี

p-type semiconductor

แถบวาเลนซ์

Valence band

เนื้อสารกึ่งตัวนำ

Bulk

น้ำยาขี้ลวดลาย

Developer

น้ำยาไวแสง

Photoresist

ปฏิกิริยารีดอกซ์

Redox reaction

พันธะหลัก

Back-bond

โฟโตมาร์ก

Photo mask

โฟโตลิโธกราฟี

Photolithography

ภาคตัดขวางการจับยึด

Capture cross section

รอยสัมผัสสี่ขั้วต่อตักกี

Schottky contact

ระดับพลังงานเฟอร์มิ

Fermi energy

รีดักชัน-ออกซิเดชัน

Reduction-oxidation

สารกึ่งตัวนำชนิดพี

p-type semiconductor

สารกึ่งตัวนำชนิดเอ็น

n-type semiconductor

อะซิโตน

Acetone

แอนไอโซทรอปิก

Anisotropic

ไอโซทรอปิก

Isotropic

# บทที่ 1

## บทนำ

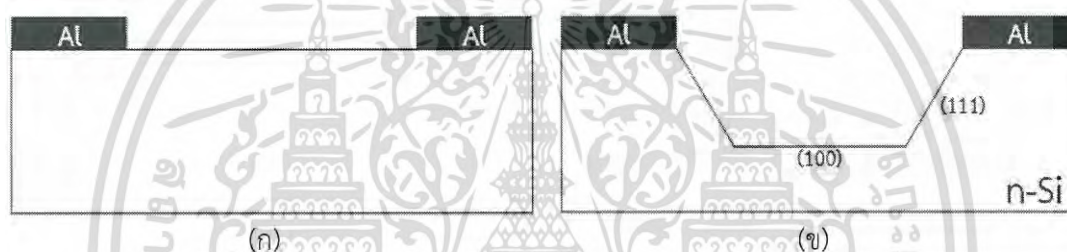
### 1.1 ความเป็นมาและความสำคัญของงานวิจัย

อุตสาหกรรมอิเล็กทรอนิกส์ในปัจจุบันมีความก้าวหน้าและมีการพัฒนาอย่างต่อเนื่อง เป็นส่วนสำคัญในการขับเคลื่อนเศรษฐกิจของประเทศไทย อีกทั้งยังอำนวยความสะดวกให้กับการดำเนินชีวิตประจำวันของมนุษย์ โดยเฉพาะอย่างยิ่งเทคโนโลยีทางด้านอิเล็กทรอนิกส์ของสิ่งประดิษฐ์สารกึ่งตัวนำ ซึ่งเทคโนโลยีสิ่งประดิษฐ์สารกึ่งตัวนำนี้ สามารถตอบสนองต่อความต้องการของมนุษย์โดยสามารถนำมาประยุกต์ใช้งานได้หลากหลายด้าน ยกตัวอย่างเช่น ในกล้องถ่ายภาพ จะใช้เป็นอุปกรณ์วัดความเข้มของแสงขณะถ่ายภาพ (Light meter) ใช้ควบคุมระบบโฟกัสภาพอัตโนมัติ (Automatic shutter control) ใช้ควบคุมการเปิดปิดแฟลช (Flash control) ในอุตสาหกรรมยานยนต์ (Automotive) ใช้ในการหรี่ไฟ (Headlight dimmer) ใช้ในการตรวจจับโลหะ (Twilight detectors) ในด้านการแพทย์ ใช้ในงานด้านเอกซเรย์ (X-ray detection) ใช้ในเครื่องวัดออกซิเจนในเลือด (Pulse oximeters) ใช้ในการวิเคราะห์เลือด (Blood particle analyzers) ในด้านการรักษาความปลอดภัย ใช้ในการตรวจจับควัน (Smoke detectors) ใช้ในการตรวจจับเปลวไฟ (Flame monitors) ใช้ในการรักษาความปลอดภัยในสนามบิน (Security inspection equipment - airport X ray) ในด้านการติดต่อสื่อสาร ใช้ในการเชื่อมต่อของเส้นใยแก้วนำแสง (Fiber optic links) ใช้ในการควบคุมระยะไกล (Optical remote control) [1] ใช้ในงานด้านอุตสาหกรรม เช่น เครื่องอ่านบาร์โค้ด (Barcode scanners) [2] ปากกาแสง (Light pens) ระบบเปิด-ปิดหน้าจออัตโนมัติ (Brightness controls) [3] เอนโค้ดเดอร์ (Encoders) เซนเซอร์วัดตำแหน่ง (Position sensors) เป็นต้น [4] อุปกรณ์เหล่านี้ล้วนเป็นสิ่งประดิษฐ์สารกึ่งตัวนำที่มีการนำไปใช้งานกันอย่างแพร่หลายและเป็นการนำเอาตัวตรวจวัดแสง (Photodetector) ไปประยุกต์ใช้งานทั้งสิ้น

ตัวตรวจวัดแสงหรือโฟโตดีเทคเตอร์ (Photodetector) เป็นอุปกรณ์ที่ใช้ในการวัดความเข้มของแสงโดยสามารถเปลี่ยนพลังงานทางแสงให้อยู่ในรูปพลังงานทางไฟฟ้าได้โดยอาศัยการดูดกลืนพลังงานของโฟตอนไปใช้ในการกระตุ้นให้มีการปลดปล่อยพาหะอิสระทำให้เกิดการนำไฟฟ้าขึ้น ตัวตรวจวัดแสงมีโครงสร้างหลายลักษณะด้วยกันขึ้นอยู่กับรูปแบบการใช้งาน เช่น เซน พี-เอ็นโฟโตไดโอด (p-n photodiode), พินโฟโตไดโอด (p-i-n photodiode) และตัวตรวจวัดแสงที่มีโครงสร้างแบบโลหะ-สารกึ่งตัวนำ-โลหะ (Metal-Semiconductor-Metal: MSM) เป็นต้น โครงสร้างโลหะ-สารกึ่งตัวนำ-โลหะ หรือโครงสร้าง MSM นี้เป็นอุปกรณ์ที่จัดอยู่ในประเภท กลุ่มของซีออตต์กีโยไดโอด มีวัตถุประสงค์เพื่อนำมาใช้เป็นตัวตรวจวัดแสง โดยมีโครงสร้างเป็นรอย สัมผัสซีออตต์กีโย 2 รอยสัมผัสต่อแบบหันหลังชนกัน มีคุณสมบัติเด่นคือ สัญญาณรบกวนต่ำ ความจุไฟฟ้าต่ำ ทำงานด้วยความเร็วสูง มีเสถียรภาพที่ดี มีสภาพการตอบสนองที่ดี มีโครงสร้างแบบพลาแนร์ที่ง่ายต่อกระบวนการสร้าง และที่

สำคัญสามารถออกแบบและทดสอบ รวมทั้งสร้างเป็นวงจรรวมได้ง่าย ด้วยเหตุนี้จึงทำให้มีงานวิจัยที่ทำการศึกษาและพัฒนาประสิทธิภาพของตัวตรวจวัดแสงโครงสร้าง MSM กันมาอย่างต่อเนื่อง [5]

จากงานวิจัยที่ผ่านมาได้ทำการวิจัยเกี่ยวกับตัวตรวจวัดแสงโครงสร้าง  $Al/n-Si/Al$  แบบเชิงราบหรือแบบพลาแนร์ ซึ่งเป็นโครงสร้างที่ง่ายต่อกระบวนการสร้าง ไม่ยุ่งยากซับซ้อน แต่พบว่าตัวตรวจวัดแสงที่สร้างแบบพลาแนร์นั้นจะมีพื้นที่รับแสงจำกัดอยู่ที่บริเวณระยะห่างระหว่างขั้วไฟฟ้าทั้งสอง วิทยานิพนธ์เล่มนี้จึงมีแนวความคิดในการเพิ่มพื้นที่รับแสงซึ่งอยู่บริเวณระยะห่างระหว่างขั้วไฟฟ้า โดยการกัดเป็นร่องรูปตัวยูโดยที่ไม่จำเป็นต้องเพิ่มระยะห่างระหว่างขั้วไฟฟ้า ซึ่งใช้กระบวนการกัดแบบเปียกด้วยสารละลายเตตระเมทิลอามโมเนียมไฮดรอกไซด์ หรือ TMAH ในการกัดบริเวณพื้นที่รับแสงของตัวตรวจวัดแสงให้เป็นร่องรูปตัวยู การกัดซิลิคอนโดยใช้สารละลาย TMAH นี้จะทำให้เกิดสมบัติการกัดแบบแอนไอโซทรอปิก (Anisotropic)



รูปที่ 1.1 ตัวตรวจวัดแสงโครงสร้าง MSM

(ก) แบบเชิงราบ

(ข) แบบร่องรูปตัวยู

สารละลาย TMAH นี้สามารถใช้ในอุตสาหกรรมการผลิตซีมอสได้แตกต่างจากสารละลาย KOH ซึ่งอาจทิ้งโลหะอัลคาไลน์ (alkali metal) ของโพแทสเซียมซึ่งทำให้ไม่สามารถนำไปใช้ในกระบวนการผลิตมอส (MOS) และซีมอส (CMOS) ได้ [6] แอมโมเนียมไฮดรอกไซด์ ( $NH_4OH$ ) เป็นหนึ่งในไฮดรอกไซด์ที่ไม่มีโลหะอัลคาไลน์และสามารถเจือจางไปกับน้ำได้ ง่ายต่อกระบวนการกำจัดทิ้ง อีกทั้งแอมโมเนียมสามารถที่จะระเหยออกไปจากสารละลายได้เมื่อใช้อุณหภูมิสูง

ในวิทยานิพนธ์นี้ทำการศึกษาระบบการสร้างตัวตรวจวัดแสงโครงสร้าง  $Al/n-Si/Al$  แบบร่องรูปตัวยู (UMSM) โดยใช้กระบวนการกัดเปียกด้วยสารละลาย TMAH ซึ่งมีคุณสมบัติแบบแอนไอโซทรอปิกคือกัดระนาบใดระนาบหนึ่งมากกว่าอีกระนาบหนึ่ง เป็นการเพิ่มประสิทธิภาพตัวตรวจวัดแสงให้ดียิ่งขึ้น โดยรวมเอาเทคโนโลยีการกัดซึ่งเป็นส่วนสำคัญในงานทางด้านระบบเครื่องกลไฟฟ้าจุลภาค (Microelectromechanical systems : MEMS) และเทคโนโลยีทางการสร้างอุปกรณ์สารกึ่งตัวนำเข้าด้วยกัน จึงเกิดเป็นงานวิจัยนี้ขึ้นมา

เอกสารนี้เป็นเอกสารที่สงวนไว้สำหรับการใช้งานเพื่อการศึกษาเท่านั้น ไม่อนุญาตให้นำไปใช้ประโยชน์ด้านการค้า ไม่ว่าจะกรณีใดๆ ทั้งสิ้น อีกทั้งห้ามมิให้ดัดแปลงเนื้อหา และต้องอ้างอิงถึงเจ้าของเอกสารทุกครั้งที่มีการนำไปใช้

## 1.2 วัตถุประสงค์ของงานวิจัย

วิทยานิพนธ์นี้ได้นำเสนอกระบวนการสร้างตัวตรวจวัดแสงโครงสร้าง Al/n-Si/Al แบบร่องรูปตัวยู่ โดยมีวัตถุประสงค์ของการศึกษาดังต่อไปนี้

1. ศึกษากระบวนการสร้างตัวตรวจวัดแสงโครงสร้าง Al/n-Si/Al แบบร่องรูปตัวยู่
2. ศึกษาลักษณะทางกายภาพของตัวตรวจวัดแสงโครงสร้าง Al/n-Si/Al แบบร่องรูปตัวยู่
3. ศึกษาลักษณะสมบัติทางไฟฟ้าของตัวตรวจวัดแสงโครงสร้าง Al/n-Si/Al แบบร่องรูปตัวยู่ เมื่อไม่ได้รับแสงตกกระทบ
4. ศึกษาลักษณะสมบัติทางไฟฟ้าของตัวตรวจวัดแสงโครงสร้าง Al/n-Si/Al แบบร่องรูปตัวยู่ เมื่อได้รับแสงตกกระทบ
5. ศึกษาลักษณะสมบัติความจุไฟฟ้า-แรงดันของตัวตรวจวัดแสงโครงสร้าง Al/n-Si/Al แบบร่องรูปตัวยู่
6. ศึกษาผลจากการเติมไอโซโพรพิลแอลกอฮอล์ลงในสารละลายเตตระเมทิวแอมโมเนียม ไฮดรอกไซด์

## 1.3 ขอบเขตการวิจัยและขั้นตอนการศึกษา

จากวัตถุประสงค์ของวิทยานิพนธ์นี้ที่ต้องการศึกษากระบวนการสร้างตัวตรวจวัดแสงโครงสร้าง Al/n-Si/Al แบบร่องรูปตัวยู่ โดยทำการกัดร่องรูปตัวยู่ด้วยสารละลายเตตระเมทิวแอมโมเนียมไฮดรอกไซด์ โดยหวังว่าตัวตรวจวัดแสงแบบร่องรูปตัวยู่นี้จะมีกระแสแสงที่เพิ่มขึ้นจากการเพิ่มพื้นที่รับแสงที่เพิ่มขึ้น จากนั้นนำตัวตรวจวัดแสงที่สร้างเสร็จแล้วมาทำการทดสอบลักษณะสมบัติทางไฟฟ้าและการตอบสนองทางแสง เพื่อเป็นแนวทางในการพัฒนาตัวตรวจวัดแสงโครงสร้างร่องรูปตัวยู่ต่อไป การศึกษาแบ่งเป็น 3 ส่วนหลัก ดังนี้

ส่วนแรก ทำการสร้างตัวตรวจวัดแสงโครงสร้าง Al/n-Si/Al แบบพลาแนร์ เพื่อที่จะศึกษา ลักษณะสมบัติทางไฟฟ้าเพื่อใช้ในการเปรียบเทียบกับตัวตรวจวัดแสงโครงสร้างร่องรูปตัวยู่

ส่วนที่สอง ทำการสร้างตัวตรวจวัดแสงโครงสร้าง Al/n-Si/Al แบบร่องรูปตัวยู่ ด้วยกระบวนการกัดแบบเปียก โดยใช้สารละลาย TMAH และมีการเติมไอโซโพรพิลแอลกอฮอล์ (IPA) ลงไปในสารละลาย TMAH ทำการศึกษาลักษณะทางกายภาพของตัวตรวจวัดแสงแบบร่องรูปตัวยู่ โดยกล้องจุลทรรศน์อิเล็กตรอนแบบส่องกราด เพื่อดูพื้นผิวของซิลิคอนหลังจากผ่านกระบวนการกัดเปียกด้วยสารละลาย TMAH ทั้งที่ไม่เติมและเติม IPA ลงไปในสารละลาย TMAH

ส่วนสุดท้าย ทำการทดลองลักษณะสมบัติทางไฟฟ้าของตัวตรวจวัดแสงแบบร่องรูปตัวยู่ ทั้งในกรณีที่ไม่มีแสงตกกระทบ และมีแสงตกกระทบ โดยมีความเข้มแสงเปลี่ยนแปลงในช่วง 5,000 –

เอกสารนี้เป็นเอกสารที่สงวนไว้สำหรับการใช้งานเพื่อการศึกษาเท่านั้น ไม่อนุญาตให้นำไปใช้ประโยชน์ด้านการค้า ไม่ว่าจะกรณีใดๆ ทั้งสิ้น อีกทั้งห้ามมิให้ดัดแปลงเนื้อหา และต้องอ้างอิงถึงเจ้าของเอกสารทุกครั้งที่มีการนำไปใช้

20,000 lux เพื่อทดสอบการตอบสนองทางแสงของตัวตรวจวัดแสง รวมทั้งศึกษาความจุไฟฟ้า-แรงดัน เพื่อนำไปสู่การวิเคราะห์กระแสแสงที่เกิดขึ้นในกาสต่อไป

#### 1.4 ประโยชน์ที่คาดว่าจะได้รับจากงานวิจัย

1. ความรู้ความเข้าใจเกี่ยวกับทฤษฎีและกระบวนการสร้างตัวตรวจวัดแสงโครงสร้าง AL/n-Si/Al แบบร่องรูปตัวยู
2. ความรู้ความเข้าใจเกี่ยวกับลักษณะทางกายภาพของตัวตรวจวัดแสงแบบร่องรูปตัวยู
3. ความรู้ความเข้าใจผลของระยะห่างระหว่างขั้วไฟฟ้าของตัวตรวจวัดแสงแบบร่องรูปตัวยู
4. ความรู้ความเข้าใจเกี่ยวกับวิธีการวิเคราะห์ลักษณะสมบัติทางไฟฟ้าของตัวตรวจวัดแสงโครงสร้างร่องรูปตัวยู ด้วยการวัดกระแส-แรงดัน ในกรณีที่ไม่มีแสงตกกระทบ และมีแสงตกกระทบ

#### 1.5 รายละเอียดของวิทยานิพนธ์

วิทยานิพนธ์เล่มนี้ประกอบไปด้วยเนื้อหาการศึกษาเกี่ยวกับทฤษฎีตัวตรวจวัดแสง กระบวนการสร้างตัวตรวจวัดแสงโครงสร้าง AL/n-Si/Al แบบร่องรูปตัวยู โดยแบ่งเนื้อหาออกเป็น 5 บท ซึ่งมีรายละเอียดดังต่อไปนี้

**บทที่ 1** บทนำ จะกล่าวถึงความเป็นมาและความสำคัญของตัวตรวจวัดแสงที่มีโครงสร้างเป็นแบบร่องรูปตัวยู และเหตุผลสนับสนุนต่องานวิจัยนี้ วัตถุประสงค์ ขอบเขตของงานวิจัย ขั้นตอนของการศึกษาและประโยชน์ที่คาดว่าจะได้รับจากงานวิจัยในครั้งนี้

**บทที่ 2** ทฤษฎีที่เกี่ยวข้อง จะกล่าวถึงทฤษฎีตัวตรวจวัดแสงขณะไม่ได้รับแสงตกกระทบ และขณะได้รับแสงตกกระทบ ภายใต้แรงดันไบอัส และกระบวนการกัดในรูปแบบต่างๆ เพื่อนำมาใช้ในกระบวนการสร้างให้เป็นร่องรูปตัวยู

**บทที่ 3** การออกแบบและกระบวนการสร้าง จะกล่าวถึงการออกแบบลวดลายของกระจกต้นแบบ การเลือกเงื่อนไขในงานวิจัย และกระบวนการสร้างตัวตรวจวัดแสงโครงสร้าง AL/n-Si/Al แบบร่องรูปตัวยู

**บทที่ 4** ผลการทดลองและวิเคราะห์ผลการทดลอง ประกอบด้วย ผลการศึกษาลักษณะทางกายภาพ ผลการศึกษาลักษณะสมบัติทางไฟฟ้าของตัวตรวจวัดแสงโครงสร้าง AL/n-Si/Al แบบร่องรูปตัวยู

**บทที่ 5** สรุปผลการทดลองและข้อเสนอแนะ กล่าวถึงผลสรุปที่ได้จากการทดลอง และแนวทางในการพัฒนาตัวตรวจวัดแสงแบบร่องรูปตัวยูต่อไป

เอกสารนี้เป็นเอกสารที่สงวนไว้สำหรับการใช้งานเพื่อการศึกษาเท่านั้น ไม่อนุญาตให้นำไปใช้ประโยชน์ด้านการค้า ไม่ว่ากรณีใดๆ ทั้งสิ้น อีกทั้งห้ามมิให้ดัดแปลงเนื้อหา และต้องอ้างอิงถึงเจ้าของเอกสารทุกครั้งที่มีการนำไปใช้

## บทที่ 2

### ทฤษฎีที่เกี่ยวข้อง

วิทยานิพนธ์นี้ได้ทำการศึกษาดัชนีการวัดแสงโครงสร้างโลหะ-สารกึ่งตัวนำ-โลหะ หรือ MSM ชนิด Al/n-Si/Al แบบร่องรูปตัวยู (U-Shape) หรือ UMSM บนแผ่นผลึกซิลิคอนชนิดเอ็น โดยใช้กระบวนการกัดเปียก (Wet Etching) แบบแอนไอโซทรอปิก (Anisotropic) ในกระบวนการกัดร่องรูปตัวยู จะใช้สารละลายเตตระเมทิลแอมโมเนียมไฮดรอกไซด์ (Tetramethyl Ammonium Hydroxide: TMAH) กัดแผ่นผลึกซิลิคอน ดังนั้นในบทนี้จะกล่าวถึงหลักการทำงานของตัวตรวจวัดแสงโครงสร้างสองรอยสัมผัสขั้วต่อดีคีย์ รวมทั้งกระบวนการกัดแบบเปียกของแผ่นผลึกซิลิคอน

โครงสร้าง MSM หรือโครงสร้างโลหะ-สารกึ่งตัวนำ-โลหะ เป็นอุปกรณ์ที่จัดอยู่ในประเภทกลุ่มของขั้วต่อดีคีย์ไดโอด โดยมีวัตถุประสงค์เพื่อนำมาใช้เป็นตัวตรวจวัดแสง โดยมีโครงสร้างเป็นรอยสัมผัสขั้วต่อดีคีย์ 2 รอยสัมผัส มีคุณสมบัติเด่น คือ ความจุไฟฟ้าต่ำ ทำงานด้วยความเร็วสูง มีเสถียรภาพที่ดี มีสภาพการตอบสนองที่ดี มีโครงสร้างที่ง่ายต่อกระบวนการสร้าง และที่สำคัญสามารถสร้างเป็นวงจรรวมได้ง่าย ด้วยเหตุนี้จึงทำให้มีงานวิจัยที่ทำการศึกษาและพัฒนาประสิทธิภาพของตัวตรวจวัดแสงโครงสร้าง MSM อย่างหลากหลาย ซึ่งงานวิจัยที่เคยทำมาแล้วส่วนใหญ่จะเป็นโครงสร้างแบบพลาแนร์

ในวิทยานิพนธ์นี้จะทำการเปลี่ยนจากโครงสร้างแบบพลาแนร์เป็นแบบกัดร่องรูปตัวยูลงไป หรือเรียกว่า U-Shape เทคนิคการกัดร่องรูปตัวยูจะใช้สารละลายเตตระเมทิลแอมโมเนียมไฮดรอกไซด์ ในกระบวนการกัดแบบเปียก การกัดซิลิคอนโดยใช้สารละลายนี้จะทำให้เกิดสมบัติการกัดแบบแอนไอโซทรอปิก คือเป็นการเลือกระนาบและทิศทางในการกัดซิลิคอนหรือเป็นการกัดระนาบใดระนาบหนึ่งมากกว่าอีกระนาบหนึ่ง

สารละลาย TMAH นี้สามารถใช้ในอุตสาหกรรมการผลิตซีมอสได้แตกต่างจากสารละลาย KOH ซึ่งอาจทิ้งโลหะอัลคาไลน์ (alkali metal) ของโพแทสเซียมซึ่งทำให้ไม่สามารถนำไปใช้ในกระบวนการผลิตมอส (MOS) และซีมอส (CMOS) ได้ แอมโมเนียมไฮดรอกไซด์ ( $\text{NH}_4\text{OH}$ ) เป็นหนึ่งในไฮดรอกไซด์ที่ไม่มีโลหะอัลคาไลน์และสามารถเจือจางไปกับน้ำได้ ง่ายต่อการกำจัดทิ้ง อีกทั้งแอมโมเนียมสามารถที่จะระเหยออกไปจากสารละลายเมื่อใช้อุณหภูมิสูง วิทยานิพนธ์นี้จึงเลือกใช้สารละลาย TMAH มาใช้ในกระบวนการกัดแบบเปียกเพื่อสร้างร่องรูปตัวยูในบริเวณพื้นที่รับแสงของตัวตรวจวัดแสงที่จะทำการสร้างขึ้นในวิทยานิพนธ์นี้ เพื่อเป็นการพัฒนาประสิทธิภาพของตัวตรวจวัดแสงต่อไป

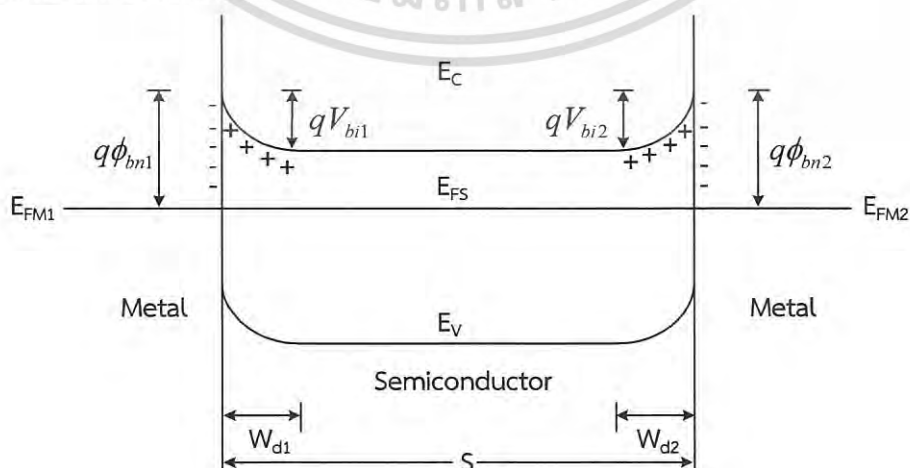
## 2.1 ตัวตรวจวัดแสง

ตัวตรวจวัดแสงเป็นอุปกรณ์ที่ใช้ในการตรวจจับแสง ซึ่งสามารถนำไปประยุกต์ใช้งานทั้งในด้านภาพและแสงอย่างกว้างขวาง มักเป็นส่วนประกอบอยู่ในอุปกรณ์อิเล็กทรอนิกส์ในชีวิตประจำวันต่างๆ เช่น คอมพิวเตอร์ กล้องถ่ายรูป โทรทัศน์ เครื่องฉาย (Projector) รวมไปถึงระบบสัมผัสต่างๆ นอกจากนี้ยังนำไปประยุกต์ใช้งานเป็นตัวตรวจจับความร้อน (Thermal detector) โดยอาศัยการเปลี่ยนแสงที่มีความยาวคลื่นอินฟราเรดให้กลายเป็นภาพความร้อน (Thermal picture) [7] หรือภาพที่แสดงอุณหภูมิของวัสดุต่างๆ

ในวิทยานิพนธ์นี้ได้ทำการสร้างตัวตรวจวัดแสง ซึ่งประกอบไปด้วยสองรอยสัมผัสขั้วต่อดีกีย์ ซึ่งมีคุณสมบัติเด่นคือ มีเสถียรภาพที่ดี กระแสมืดต่ำ มีสภาพการตอบสนองทางแสงที่ดี มีโครงสร้างที่ง่ายต่อการกระบวนการสร้าง และที่สำคัญสามารถสร้างเป็นวงจรรวมได้ง่าย สามารถนำไปใช้ทางด้านงานภาพและแสงได้อย่างกว้างขวาง จึงทำให้ได้รับความสนใจในปัจจุบัน ในหัวข้อนี้จะกล่าวถึงโครงสร้างหลักการทำงาน และความสัมพันธ์ทางแสงที่เกี่ยวกับตัวตรวจวัดแสง [8-10]

### 2.1.1 ตัวตรวจวัดแสงในสถานะสมดุล

รูปที่ 2.1 แสดงแถบพลังงานของตัวตรวจวัดแสง ในสถานะสมดุลความร้อน ซึ่งจะเกิดบริเวณปลอดพาหะ และกำแพงศักย์ขึ้นที่รอยสัมผัสทั้งสอง ซึ่งเป็นไปตามทฤษฎีของรอยสัมผัสขั้วต่อดีกีย์ดังที่ได้กล่าวมาแล้ว โดยรอยสัมผัสด้านซ้ายกำหนดให้เป็นขั้วแคโทด (cathode) และรอยสัมผัสด้านขวา กำหนดให้เป็นขั้วแอโนด (anode) โดยทั่วไปโลหะที่ใช้ทำขั้วแคโทด และขั้วแอโนดจะเป็นโลหะชนิดเดียวกัน เพื่อลดจำนวนต้นแบบและกระบวนการสร้างลง จึงทำให้กำแพงศักย์ขั้วต่อดีกีย์ของขั้วแคโทด ( $\phi_{bn1}$ ) และขั้วแอโนด ( $\phi_{bn2}$ ) มีขนาดเท่ากันหรือ  $\phi_{bn1} = \phi_{bn2} = \phi_{bn}$  กำแพงศักย์ภายในของขั้วแคโทด ( $V_{bi1}$ ) และขั้วแอโนด ( $V_{bi2}$ ) มีขนาดเท่ากัน หรือ  $V_{bi1} = V_{bi2} = V_{bi}$  และความกว้างบริเวณปลอดพาหะด้านแคโทด ( $W_{d1}$ ) และด้านแอโนด ( $W_{d2}$ ) มีขนาดเท่ากัน หรือ  $W_{d1} = W_{d2} = W_d$  ทำให้โครงสร้างนี้มีลักษณะสมมาตร

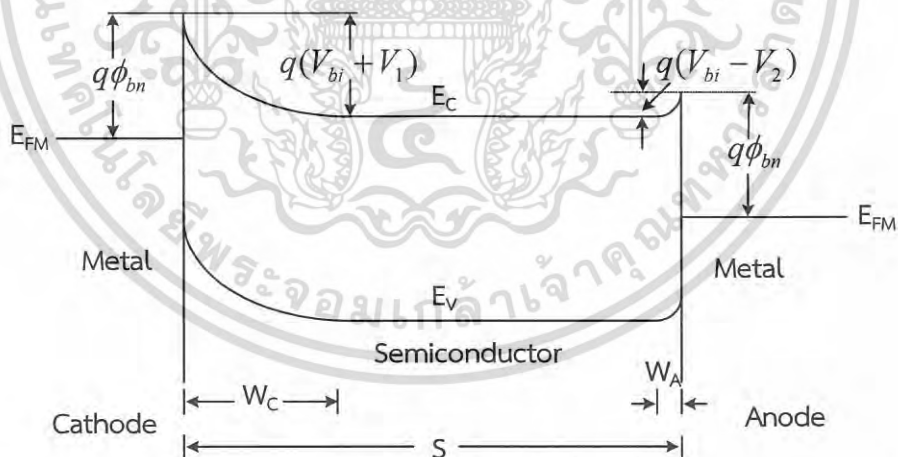


รูปที่ 2.1 แถบพลังงานของตัวตรวจวัดแสงในสถานะสมดุลความร้อน

เอกสารนี้เป็นเอกสารที่สงวนลิขสิทธิ์สำหรับการใช้งานเพื่อการศึกษาเท่านั้น เมื่อผู้สันทัดนำไปใช้ประโยชน์ด้านการค้าไม่ว่ากรณีใดๆ ทั้งสิ้น อีกทั้งห้ามมิให้ดัดแปลงเนื้อหา และต้องอ้างอิงถึงเจ้าของเอกสารทุกครั้งที่มีการนำไปใช้

### 2.1.2 ตัวตรวจวัดแสงขณะได้รับแรงดันไบอัส

ตัวตรวจวัดแสงเมื่อได้รับการไบอัสตรงแสดงในรูปที่ 2.2 โดยรอยสัมผัสด้านซ้ายมือเป็นขั้วแคโทดเกิดเป็นลักษณะของการไบอัสย้อนกลับ รอยสัมผัสด้านขวามือเป็นขั้วแอโนดเกิดเป็นลักษณะของการไบอัสตรง บริเวณปลอดพาหะด้านแคโทด ( $W_C$ ) มีการขยายตัวกว้างมากขึ้นเนื่องจากการไบอัสย้อนกลับ และมีกำแพงศักย์ภายในสูงขึ้นเป็น  $V_{bi} + V_1$  อิเล็กตรอนจากทางด้านสารกึ่งตัวนำไม่สามารถเคลื่อนที่ข้ามรอยสัมผัสไปยังด้านโลหะได้ จะมีเพียงอิเล็กตรอนส่วนน้อยที่มีพลังงานมากพอจากด้านโลหะเคลื่อนที่ข้ามกำแพงศักย์ช็อคต์ตีกี้ไปยังด้านสารกึ่งตัวนำได้ ทำให้เกิดกระแสไฟฟ้ามืดทางที่ไหลจากสารกึ่งตัวนำไปยังด้านโลหะ ( $I_{SM}$ ) ซึ่งมีค่าเท่ากับกระแสรั่วไหลของรอยสัมผัสช็อคต์ตีกี้ ส่วนด้านแอโนดที่ได้รับการไบอัสตรง บริเวณปลอดพาหะด้านแคโทด ( $W_C$ ) แคบมากขึ้นเนื่องจากการไบอัสตรงค่าของกำแพงศักย์ภายในลดลงเท่ากับ  $V_{bi} - V_2$  ดังนั้นอิเล็กตรอนจากสารกึ่งตัวนำจึงสามารถเคลื่อนที่ข้ามรอยสัมผัสเข้าไปทางด้านโลหะได้ และทำให้มีกระแสไฟฟ้า ( $I_{MS}$ ) ไหลจากด้านโลหะไปยังสารกึ่งตัวนำ แต่เนื่องจากมีอิเล็กตรอนที่เคลื่อนที่จากทางด้านแคโทดเข้ามาที่สารกึ่งตัวนำมีปริมาณน้อยอยู่แล้วจึงทำให้กระแสนี้มีค่าน้อยตามไปด้วยซึ่งก็คือ กระแสรั่วไหลหรือกระแสมืด (dark current :  $I_{dark}$ ) ของโครงสร้างสองรอยสัมผัสช็อคต์ตีกี้ โดยกระแสมืดของโครงสร้างสองรอยสัมผัสช็อคต์ตีกี้ จะเป็นกระแสที่เกิดจากอิเล็กตรอนเท่านั้น เนื่องจากกระแสโฮลที่ถูกฉีดจากรอยสัมผัสด้านแอโนดมีค่าน้อยกว่ากระแสอิเล็กตรอนมาก

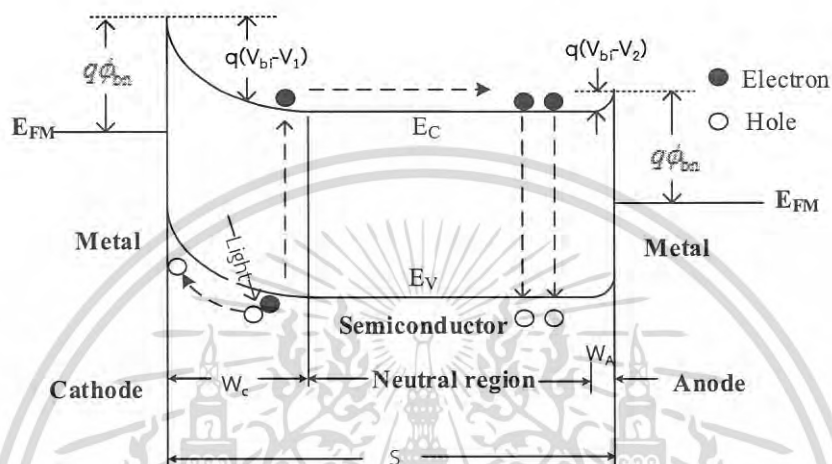


รูปที่ 2.2 แถบพลังงานของตัวตรวจวัดแสงโครงสร้างสองรอยสัมผัสช็อคต์ตีกี้เมื่อได้รับแรงดันไบอัส

ซึ่งความกว้างบริเวณปลอดพาหะของโครงสร้างสองรอยสัมผัสช็อคต์ตีกี้ กรณีที่ระยะห่างระหว่างขั้วไฟฟ้ามีขนาดกว้าง จะพิจารณาให้มีความสำคัญเฉพาะส่วนบริเวณปลอดพาหะที่เกิดทางด้านแคโทดเพียงด้านเดียว เนื่องจากกลไกการเกิดกระแสแสงจะเกิดขึ้นที่บริเวณปลอดพาหะด้านแคโทดเป็นหลัก ซึ่งจะอธิบายกลไกการเกิดกระแสแสงในหัวข้อถัดไป

### 2.1.3 ตัวตรวจวัดแสงเมื่อมีความเข้มแสงตกกระทบบ

เมื่อตัวตรวจวัดแสง ได้รับแสงตกกระทบบ พื้นที่รับแสงของตัวตรวจวัดแสงจะอยู่ตรงพื้นที่ของระยะห่างระหว่างขั้วไฟฟ้าทั้งสองด้าน (S) แถบพลังงานของตัวตรวจวัดแสงภายใต้การให้แรงดันไบอัส แสดงดังรูปที่ 2.3



รูปที่ 2.3 แถบพลังงานของตัวตรวจวัดแสง เมื่อได้รับไบอัสและมีแสงตกกระทบบ

เมื่อแสงตกกระทบบลงบนพื้นที่รับแสง ซึ่งรวมทั้งส่วนที่เป็นบริเวณปลอดพาหะและบริเวณนิวทรัล โดยที่พลังงานโฟตอนต้องมากกว่าหรือเท่ากับขนาดช่องว่างพลังงานของสารกึ่งตัวนำ ( $h\nu \geq E_g$ ) จะเกิดการกระตุ้นให้เกิดคู่อิเล็กตรอน-โฮลขึ้น คู่อิเล็กตรอน-โฮลที่เกิดบริเวณปลอดพาหะจะถูกสนามไฟฟ้าที่มีอยู่ในบริเวณปลอดพาหะเร่งให้เกิดการเคลื่อนที่ โดยโฮลจะเคลื่อนที่ตามทิศของสนามไฟฟ้าเข้าหาขั้วแคโทดเกิดเป็นกระแสไฟฟ้า หรือที่เรียกว่ากระแสแสง (photocurrent :  $I_{photo}$ ) ส่วนอิเล็กตรอนจะเคลื่อนที่สวนทิศกับสนามไฟฟ้าไปยังขั้วแอโนด ซึ่งจะต้องเคลื่อนที่ผ่านเข้าสู่บริเวณนิวทรัล ในบริเวณนิวทรัล โฟตอนจะถูกดูดกลืนพลังงานและกระตุ้นให้เกิดคู่อิเล็กตรอน-โฮลเช่นเดียวกับในบริเวณปลอดพาหะ แต่เนื่องจากเป็นสารกึ่งตัวนำชนิดเอ็น โฮลที่อยู่ในสารกึ่งตัวนำจึงเป็นพาหะส่วนน้อย เมื่อแสงตกกระทบบและมีการกระตุ้นให้เกิดโฮลทำให้ความหนาแน่นของโฮลหรือประจุส่วนน้อยมีเพิ่มมากขึ้น เมื่อความหนาแน่นของประจุพาหะในสารกึ่งตัวนำมีค่าไม่เท่ากันในแต่ละจุดจึงทำให้เกิดการเคลื่อนที่ด้วยการแพร่เกิดขึ้น โดยจะแพร่ไปยังส่วนที่ความหนาแน่นของโฮลต่ำ บางส่วนจะเคลื่อนที่ไปยังขอบของบริเวณปลอดพาหะและถูกสนามไฟฟ้าเร่งเข้าหาขั้วแคโทด แต่โฮลส่วนใหญ่จะเคลื่อนที่ด้วยการแพร่อยู่ในชั้นสารกึ่งตัวนำและเกิดการรวมตัวกับอิเล็กตรอนในที่สุด ส่วนในบริเวณนิวทรัลเนื่องจากเป็นสารกึ่งตัวนำชนิดเอ็น อิเล็กตรอนที่เกิดขึ้นจากการกระตุ้นของโฟตอนในบริเวณนิวทรัลและอิเล็กตรอนที่เคลื่อนที่ออกมาจากบริเวณปลอดพาหะเป็นประจุพาหะส่วนมากในชั้นสารกึ่งตัวนำจึงไม่เกิดการเคลื่อนที่ด้วยการแพร่ได้ อิเล็กตรอนบางส่วนจึงเกิดการรวมตัวกับโฮลใน

ที่สุด ดังนั้นกระแสแสงที่เกิดขึ้นในโครงสร้างสองรอยสัมผัสขั้วตติย ที่ระยะห่างระหว่างรอยสัมผัสมีขนาดกว้างจึงเป็นกระแสที่เกิดจากโฮล

โดยที่ความกว้างของบริเวณปลอดพาหะรวม ( $W_T$ ) ของตัวตรวจวัดแสงจะเป็นผลรวมของบริเวณปลอดพาหะทางด้านคาโทด ( $W_C$ ) ที่ได้รับแรงดันไบอัสย้อนกลับ และบริเวณปลอดพาหะทางด้านอโนด ( $W_A$ ) ที่ได้รับแรงดันไบอัสตรง ดังสมการที่ 2.1

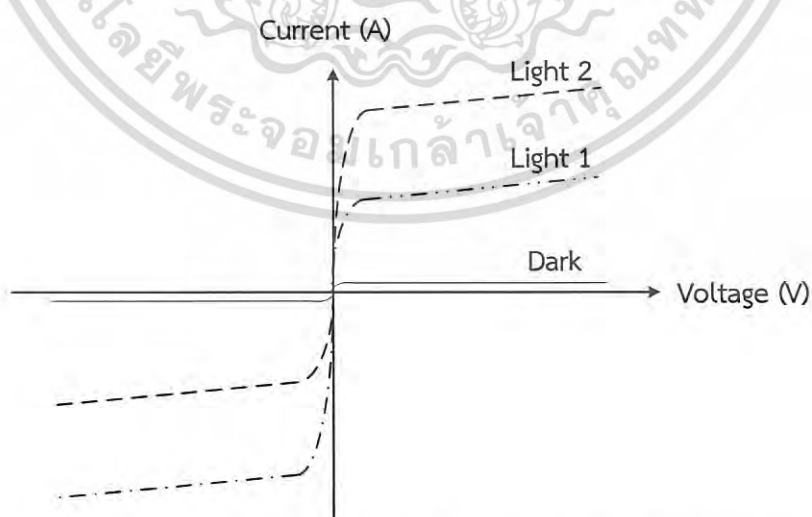
$$W_T = W_C + W_A \quad (2.1)$$

โดยที่

$$W_C = \sqrt{\frac{2\epsilon_s(V_{bi} - V_A)}{qN_D}} \quad (2.2)$$

$$W_A = \sqrt{\frac{2\epsilon_s(V_{bi} + V_A)}{qN_D}} \quad (2.3)$$

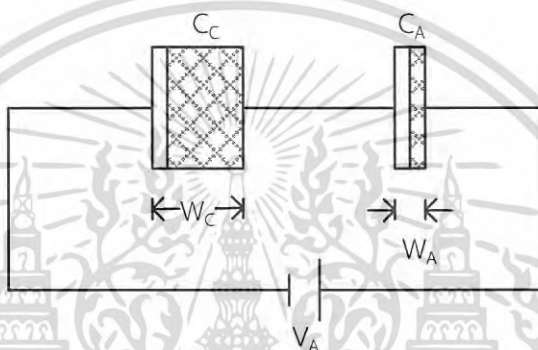
ลักษณะสมบัติสำคัญของตัวตรวจวัดแสงที่มักถูกพิจารณาคือ ลักษณะสมบัติกระแส-แรงดัน และ ลักษณะความจุไฟฟ้า-แรงดัน โดยในรูปที่ 2.4 เป็นลักษณะสมบัติกระแสและแรงดันของตัวตรวจวัดแสงโครงสร้างสองรอยสัมผัสขั้วตติย เมื่อได้รับความเข้มแสงตกกระทบบมีความสมมาตรกันทั้งด้านที่รับไบอัสตรงและไบอัสกลับ ซึ่งกระแสจะมีค่ามากขึ้นเมื่อได้รับค่าความเข้มแสงที่สูงขึ้นด้วย



รูปที่ 2.4 ลักษณะสมบัติกระแส - แรงดันของ MSM เมื่อได้รับแสงตกกระทบบ

เอกสารนี้เป็นเอกสารที่สงวนไว้สำหรับการใช้งานเพื่อการศึกษาเท่านั้น ไม่อนุญาตให้นำไปใช้ประโยชน์ด้านการค้า ไม่ว่ากรณีใดๆ ทั้งสิ้น อีกทั้งห้ามมิให้ดัดแปลงเนื้อหา และต้องอ้างอิงถึงเจ้าของเอกสารทุกครั้งที่มีการนำไปใช้

ส่วนลักษณะสำคัญของค่าความจุไฟฟ้าของตัวตรวจวัดแสง คือความจุไฟฟ้าที่มีความสมมาตรกัน โดยค่าความจุไฟฟ้าจะแปรผกผันกับแรงดันไบแอส โดยเมื่อให้แรงดันไบแอสมากขึ้นค่าความจุไฟฟ้าจะมีค่าลดลง โดยค่าความจุไฟฟ้าเมื่อได้รับแรงดันไบแอส ดังแสดงในรูปที่ 2.5 ซึ่งความจุไฟฟ้ารวม ( $C_T$ ) เกิดจากผลรวมของความจุไฟฟ้าที่เกิดขึ้นที่รอยสัมผัสทั้งสอง ประกอบด้วยความจุไฟฟ้าทางด้านคาโทด ( $C_C$ ) ที่ได้รับแรงดันไบแอสย้อนกลับ และความจุไฟฟ้าทางด้านอโนด ( $C_A$ ) ที่ได้รับแรงดันไบแอสตรง ดังสมการที่ 2.4 นอกจากนี้ยังสามารถใช้ค่าความจุไฟฟ้าที่วัดได้เพื่อวิเคราะห์หาค่าแรงดันภายในและความหนาแน่นของอะตอมสารเจือในฐานรองซิลิคอน



รูปที่ 2.5 ลักษณะสมบัติความจุไฟฟ้า - แรงดันของตัวตรวจวัดแสงโครงสร้างสองรอยสัมผัสชนิดทีก็ยเมื่อได้รับแรงดันไบแอส

และความจุไฟฟ้ารวมเท่ากับ

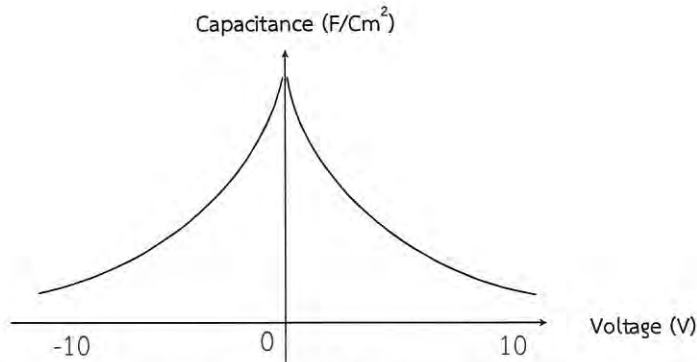
$$C_T = \frac{C_C C_A}{C_C + C_A} \tag{2.4}$$

โดยที่

$$C_C = \sqrt{\frac{2q\epsilon_s N_D}{2(V_{bi} - V_A)}} \tag{2.5}$$

$$C_A = \sqrt{\frac{2q\epsilon_s N_D}{2(V_{bi} + V_A)}} \tag{2.6}$$

และในรูปที่ 2.6 แสดงลักษณะสมบัติความจุไฟฟ้า-แรงดัน ของตัวตรวจวัดแสงโครงสร้างสองรอยสัมผัสชนิดทีก็ยที่มีลักษณะสมมาตรกันและเมื่อได้รับแรงดันไบแอสความจุไฟฟ้าจะมีค่าลดลง



รูปที่ 2.6 ลักษณะสมบัติความจุไฟฟ้า – แรงดันตัวตรวจวัดแสงโครงสร้างสองรอยลัมผัสชนิดตัดก็ย

## 2.2 การกัด (Etching process)

กระบวนการกัดโดยทั่วไปจะเป็นการสร้างลวดลายวงจรในงานอิเล็กทรอนิกส์จะมีกระบวนการกัดมีสองประเภทคือ การกัดแบบเปียก (wet etching) และการกัดแบบแห้ง (dry etching) เมื่อทำการกัดผิวหน้าของวัสดุด้วยสารเคมีหรือก๊าซแล้วนั้นจะทำให้ผิวหน้าของวัสดุมีลักษณะเป็นไอโซทรอปิก (isotropic) จะกัดแบบสม่ำเสมอในทุกทิศทาง หรือแอนไอโซทรอปิก (anisotropic) จะกัดแบบสม่ำเสมอในทิศทางของระนาบ การกัดแบบเปียกมักจะมีอัตราการกัดที่เร็วกว่าการกัดแบบแห้งและสามารถเปลี่ยนแปลงอัตราการกัดได้โดยอุณหภูมิที่แตกต่างกันหรือความเข้มข้นของสารขึ้นอยู่กับนำไปใช้งาน [11-12]

### 2.2.1 การกัดแบบเปียก

การกัดแบบเปียกเป็นการกัดผิวหน้าของวัสดุโดยจะใช้สารเคมีที่เป็นของเหลวหรือที่เรียกว่า etchants เพื่อกัดส่วนที่ไม่ต้องการออกโดยจะสร้างลวดลายไว้บนผิวหน้าของวัสดุเป็นการกำหนดลวดลายก่อนทำการกัดในส่วนที่ไม่ต้องการออก

ขั้นตอนในกระบวนการกัดแบบเปียกจะต้องเกิดปฏิกิริยาทางเคมีด้วยสารละลายที่ใช้ในกระบวนการ ดังนั้นในกระบวนการกัดแบบเปียกจะอธิบายได้ 3 ขั้นตอนนี้

- (1) การแพร่กระจายของสารละลายบนผิวหน้าของวัสดุที่ไม่ต้องการ
- (2) การเกิดปฏิกิริยาระหว่างสารละลายและผิวหน้าของวัสดุที่ไม่ต้องการ จะเกิดปฏิกิริยารีดักชัน-ออกซิเดชัน (reduction-oxidation) หรือที่เรียกว่าปฏิกิริยารีดอกซ์ (redox reaction) ปฏิกิริยานี้จะส่งผลให้ออกซิเดชันของวัสดุที่ละลายแล้วเกิดออกซิไดซ์
- (3) การแพร่กระจายของสารละลายโดยเกิดปฏิกิริยาขึ้นบนพื้นผิวของวัสดุที่มีปฏิกิริยาตอบสนอง [13]

การกัดแบบเปียกจะแบ่งเป็น 2 แบบดังนี้

- (1) การกัดเปียกแบบไอโซทรอปิก (isotropic etching)

เอกสารนี้เป็นเอกสารที่สงวนไว้สำหรับการใช้งานเพื่อการศึกษาเท่านั้น ไม่อนุญาตให้นำไปใช้ประโยชน์ด้านการค้าไม่ว่ากรณีใดๆ ทั้งสิ้น อีกทั้งห้ามมิให้ดัดแปลงเนื้อหา และต้องอ้างอิงถึงเจ้าของเอกสารทุกครั้งที่มีการนำไปใช้

การกัดเปียกแบบไอโซทรอปิกจะมีส่วนผสมของสารละลายกรดไฮโดรฟลูออริก (hydrofluoric acid) กรดไนตริก (nitric acid) และกรดอะซิติก (HNA) เป็นสารละลายที่ให้สำหรับทำการกัดซิลิคอน โดยการกัดนั้นจะมีความเข้มข้นของสารละลายที่เป็นการกำหนดอัตราการกัดและการกัดส่วนใหญ่ มักใช้ซิลิคอนออกไซด์หรือซิลิคอนไนไตรด์เพื่อเป็นการลดอัตราการกัดลง การกัดด้วยสารเคมีโดยทั่วไปมักจะเป็นลักษณะไอโซทรอปิก ทิศทางของการกัดนั้นมีความสำคัญมากสำหรับรูปแบบการถ่ายโอนความละเอียดสูงดังรูปที่ 2.7 แต่การกัดเปียกแบบไอโซทรอปิกจะไม่นิยมนำมาใช้ทำการกัด



รูปที่ 2.7 ลักษณะการกัดเปียกแบบไอโซทรอปิก

(2) การกัดเปียกแบบแอนไอโซทรอปิก (anisotropic etching)

สารละลายที่ทำการกัดบนผิวหน้าของวัสดุ ในอัตราที่ต่างแตกต่างกันขึ้นอยู่กับผลึกของวัสดุกับสารละลายที่ใช้ในการกัดซึ่งจะมีความแตกต่างของอัตราการกัดขึ้นอยู่กับระนาบของผลึกในวัสดุ เช่น ซิลิคอนจะเกิดการกัดในลักษณะแบบแอนไอโซทรอปิกสูงมาก สารละลายบางตัวเท่านั้นที่จะทำให้เกิดการกัดเปียกแบบแอนไอโซทรอปิกได้ เช่น โพแทสเซียมไฮดรอกไซด์ (KOH), เอธิลีนไดแอมมีน ไพโรคาทิกอล (EDP) และเตตระเมทิลแอมโมเนียมไฮดรอกไซด์ (TMAH) การกัดซิลิคอนระนาบ (100) จะมีลักษณะเป็นร่องรูปตัวยูดังในรูปที่ 2.8 [14]



รูปที่ 2.8 ลักษณะการกัดเปียกแบบแอนไอโซทรอปิก

กลไกของการกัดแบบแอนไอโซทรอปิก (Mechanism of Anisotropic Etching)

การกัดแบบแอนไอโซทรอปิกมีรายละเอียดเป็นอัตราการกัด, การเกิดปฏิกิริยาและพื้นผิวของวัสดุ แสดงให้เห็นว่ากลไกที่ซับซ้อนมีส่วนร่วมในการกัดซิลิคอนในสารละลายที่

เป็นต่าง รูปแบบของกลไกนั้นมีปัจจัยอยู่ 3 แบบ (1) สาเหตุทางกายภาพของความ  
เอกสารนี้เป็นเอกสารที่สงวนไว้สำหรับการใช้งานเพื่อการศึกษาเท่านั้น ไม่นิยมนำไปเผยแพร่  
ไม่ว่ากรณีใดๆ ทั้งสิ้น อีกทั้งห้ามมิให้ดัดแปลงเนื้อหา และต้องอ้างอิงถึงเจ้าของเอกสารทุกครั้งที่มีการนำไปใช้

แตกต่างกันในอัตราการกำจัดอะตอมจากพื้นผิวของผลึกทิศทางที่ต่างกัน (2) กระบวนการเกี่ยวกับการเคลื่อนไหวที่เป็นสาเหตุทางกายภาพและ (3) สภาพพื้นผิวที่กำหนดอัตราการกำจัดอะตอมพื้นผิว

ทางกายภาพในด้านแรกคือส่วนใหญ่เชื่อที่เกี่ยวข้องกับทฤษฎี back-bond strength นั่นคืออะตอมในพื้นผิวของระนาบ (111) มีสามพันธะเชื่อมต่อกับตาข่ายพื้นผิว ในขณะที่พื้นผิวของระนาบ (100) นั้นมีเพียงสองพันธะที่ยึดเกาะอยู่ซึ่งแสดงให้เห็นดังรูปที่ 2.9 พันธะของอะตอมซิลิกอนบนพื้นผิวจะถูกสารละลายชนิด  $\text{OH}^-$  ดึงออกจากการยึดเกาะของพันธะ จำนวนของพันธะหลัก (back-bond) และความแข็งแรงของพันธะบนพื้นผิวเพื่อที่จะเกิดปฏิกิริยาที่ต่างกันของพื้นผิวของผลึก นี่คือนิยามพื้นฐานทางกายภาพของการกัดแบบแอนไอโซทรอปิก



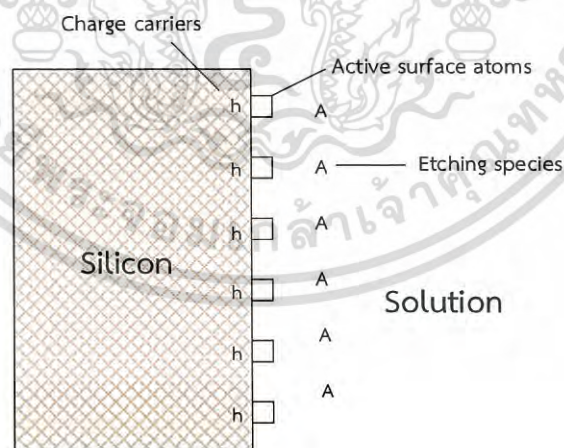
รูปที่ 2.9 แผนผังของพันธะซิลิกอน (ก) ระนาบ (100) และ (ข) ระนาบ (111)

โดยทั่วไปดังแสดงในรูป 2.10 อาจจะมี 3 ส่วนในเกิดปฏิกิริยาของการกัด ชนิดนี้ใน รูปแบบของการจ่ายประจุพาหะนั้นคืออิเล็กตรอนและโฮลที่อยู่บนพื้นผิวของสารกึ่งตัวนำ ชนิดของสารเคมีที่มีผลต่อพื้นผิวของวัสดุ เช่น  $\text{OH}^-$ ,  $\text{NO}_3^-$  และ  $\text{H}_2\text{O}$  และอะตอมซิลิกอนบนพื้นผิวที่ใช้งานซึ่งเหมาะสำหรับการเกิดปฏิกิริยาและการกำจัด ซึ่งแตกต่างจากอีกสอง

เอกสารนี้เป็นเอกสารที่สงวนลิขสิทธิ์ไว้เพื่อใช้ในการศึกษาเท่านั้น มิใช่เพื่อเผยแพร่โดยไม่ได้รับอนุญาต  
ไม่ว่ากรณีใดๆ ทั้งสิ้น อีกทั้งห้ามมิให้ตัดแปลงเนื้อหา และต้องอ้างอิงถึงเจ้าของเอกสารทุกครั้งที่มีการนำไปใช้

ชนิดที่ง่ายประจุพาหะอาจจะหรืออาจจะไม่ได้เกี่ยวข้องกับการขึ้นอยู่กับว่าเป็นปฏิกิริยาไฟฟ้าเคมีของธรรมชาติ ความเข้มข้นของแต่ละชนิดนี้จะถูกกำหนดโดยกระบวนการที่แตกต่างกัน เช่น การแพร่กระจาย (diffusion) การโยกย้าย (migration) การดูดซับ (adsorption) และการจับกันในลักษณะเครือข่ายของโมเลกุลตัวทำละลายกับโมเลกุลในสารละลาย (solvation) โดยเฉพาะอย่างยิ่งความเข้มข้นของอะตอมซิลิคอนบนพื้นผิวที่ใช้งานขึ้นอยู่กับทิศทางของผลึก

การกัดแบบแอนไอโซทรอปิกของสารละลายที่เป็นด่างที่เกิดขึ้นบนพื้นผิวของซิลิคอนที่มีออกไซด์ การเกิดของฟิล์มออกไซด์ชั้นจะปกปิดบนพื้นผิวของวัสดุซึ่งมีทิศทางที่แตกต่างกันและจะทำให้มีผลต่อการกัดแบบไอโซทรอปิก นอกจากนี้ผลการทดลองแสดงให้เห็นว่าถึงแม้จะทำการกัดแบบไอโซทรอปิกอาจเกิดขึ้นภายใต้การควบคุมการแพร่กระจายอย่างใดอย่างหนึ่งหรือหรือการควบคุมการใช้งานของการกัดแบบแอนไอโซทรอปิกสามารถเกิดขึ้นโดยกระบวนการที่มีการควบคุมพื้นผิวอย่างน้อยสำหรับการกัดพื้นผิว การกัดแบบแอนไอโซทรอปิกไม่เกิดขึ้นเมื่ออัตราการกัดทั้งหมดของพื้นผิวรวมทั้งสารละลายที่มีอัตราการกัดช้าที่สุดจะขึ้นอยู่กับสารละลาย ไม่ว่าจะเป็นการง่ายประจุพาหะที่เกี่ยวข้องกับการเกิดปฏิกิริยาการกัด ประจุพาหะที่มีส่วนเกี่ยวข้องในการกัดแบบไอโซทรอปิกในสารละลาย HF แต่ไม่ได้ในการกัดแบบแอนไอโซทรอปิกในสารละลาย KOH [15]

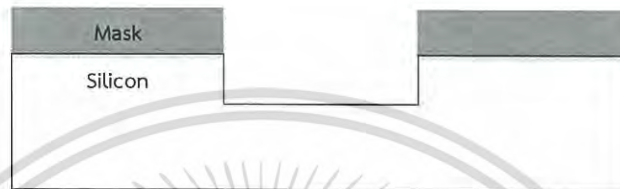


รูปที่ 2.10 การเกิดปฏิกิริยาการสลายตัวของซิลิคอน โดยที่  $h$  คือ ประจุพาหะในสารกึ่งตัวนำ  
รูปสี่เหลี่ยม คือ อะตอมซิลิคอนบนพื้นผิว และ  $A$  คือ สารละลายใช้ในการกัด

เอกสารนี้เป็นเอกสารที่สงวนไว้สำหรับการใช้งานเพื่อการศึกษาเท่านั้น ไม่อนุญาตให้นำไปใช้ประโยชน์ด้านการค้า  
ไม่ว่ากรณีใดๆ ทั้งสิ้น อีกทั้งห้ามมิให้ดัดแปลงเนื้อหา และต้องอ้างอิงถึงเจ้าของเอกสารทุกครั้งที่มีการนำไปใช้

## 2.2.2 การกัดแบบแห้ง

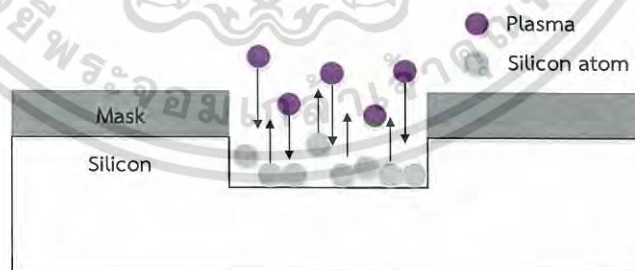
ในกระบวนการกัดแบบแห้งนี้ใช้พลาสมาหรือก๊าซในการกัดบนพื้นผิวของวัสดุ การเกิดปฏิกิริยาขึ้นโดยใช้พลังงานของอนุภาคที่เกิดการเคลื่อน และการเกิดปฏิกิริยาทางเคมี จะมีลักษณะการกัดแบบแห้งดังรูปที่ 2.11



รูปที่ 2.11 ลักษณะการกัดแห้ง

### (1) การกัดแบบพลาสมา (Plasma etching)

กระบวนการนี้จะมีการกำเนิดพลาสมาที่ความดันต่ำโดยใช้แหล่งจ่ายกระแสสลับย่านความถี่วิทยุ 13.56 เมกะเฮิร์ตซ์ พลาสมาที่เกิดขึ้นจะมีไอออนบวกและลบ ไอออนบวกจะกระจายตัวไปทำปฏิกิริยากับพื้นผิวของวัสดุที่ต้องการกำจัดออก เมื่ออนุภาคที่มีพลังงานสูงนั้นหลุดออกมาจากอะตอมบนพื้นผิวของวัสดุจะระเหยไป จะไม่มีการเกิดปฏิกิริยาทางเคมีดังนั้นจะเกิดปฏิกิริยาทางกายภาพดังรูปที่ 2.8 ในอุตสาหกรรมการผลิตชิ้นส่วนอิเล็กทรอนิกส์ เครื่องจักรที่ใช้มีความสามารถกำเนิดพลาสมาที่มีความหนาแน่นสูง



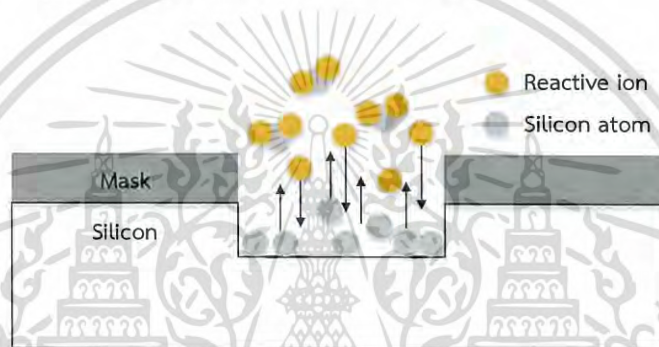
รูปที่ 2.12 การกัดด้วยพลาสมา อะตอมของซิลิคอนระเหยออกจากพื้นผิว

### (2) การกัดด้วยสารเคมีแบบแห้ง (Chemical dry etching)

การกัดด้วยสารเคมีแบบแห้งนั้นจะไม่ใช้สารเคมีที่เป็นของเหลว หรือที่เรียกว่า vapor phase etching กระบวนการนี้จะเกี่ยวข้องกับระหว่างปฏิกิริยาทางเคมีกับการ

เอกสารนี้เป็นเอกสารที่สงวนไว้สำหรับการใช้งานเพื่อการศึกษาเท่านั้น ไม่อนุญาตให้นำไปใช้ประโยชน์ด้านการค้า ไม่ว่ากรณีใดๆ ทั้งสิ้น อีกทั้งห้ามมิให้ดัดแปลงเนื้อหา และต้องอ้างอิงถึงเจ้าของเอกสารทุกครั้งที่มีการนำไปใช้

กัดด้วยก๊าซบนพื้นผิวหน้าของวัสดุ กระบวนการกัดทางเคมีนั้นมักจะเกิดเป็นลักษณะของ ไอโซ-ทรอปิกและเป็นการกัดที่มีเทคนิคขั้นสูง การกัดแห้งแบบแอนไอโซทรอปิกสามารถ กัดที่ความละเอียดมากและอัตราการกัดที่สูงกว่าการกัดแบบไอโซทรอปิก เนื่องจากการ กัดแบบแห้งสามารถหลีกเลี่ยง undercutting ได้ ในรูปที่ 2.13 แสดงให้เห็นปฏิกิริยาที่ เกิดขึ้นในการกัดแบบแห้ง โดยสารเคมีที่ใช้ในการกัดแบบแห้ง คือ เตตระฟลูออโรมีเทน (:tetrafluoromethane :  $CF_4$ ), ซัลเฟอร์เฮกซะฟลูออไรด์ (sulfur hexafluoride :  $SF_6$ ), ไนโตรเจนไตรฟลูออไรด์ (nitrogen trifluoride :  $NF_3$ ), ก๊าซคลอรีน (chlorine gas :  $Cl_2$ ) หรือ ฟลูออรีน (fluorine :  $F_2$ ) เป็นต้น [16]



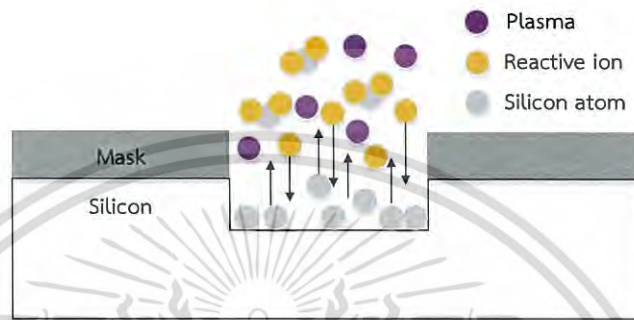
รูปที่ 2.13 การกัดด้วยสารเคมีแบบแห้ง อะตอมของซิลิคอนทำปฏิกิริยากับไอออนปฏิกิริยาบนพื้นผิว

### (3) การกัดด้วยไอออนที่ไวต่อปฏิกิริยา (Reactive Ion Etching : RIE)

การกัดด้วยไอออนที่ไวต่อปฏิกิริยาจะใช้ปฏิกิริยาทางกายภาพและทางเคมี กระบวนการนี้เป็นกระบวนการที่มีความหลายหลากและนิยมใช้กันอย่างแพร่หลายใน ทางด้านอุตสาหกรรม กระบวนการนี้จะปฏิกิริยาที่เกิดขึ้นเร็วมาก การชนกันของอนุภาค ที่มีพลังงานสูงจากไอออนไนซ์จะช่วยให้สารละลายแตกตัวและทำปฏิกิริยากับพื้นผิวของ วัสดุ

การเกิดส่วนไวต่อปฏิกิริยา (active species generation) เมื่อทำให้เกิดอิเล็กตรอน อย่างน้อยหนึ่งตัวในระบบอิเล็กทรอนิกส์จะถูกสนามไฟฟ้าเร่งจนมีพลังงานขนาดเพียงพอแก่ การเกิดไอออนไนซ์ การชนกับโมเลกุลของก๊าซจะทำให้เกิดพลาสมาที่เรืองแสง ซึ่ง ประกอบไปด้วยทั้งส่วนที่เป็นประจุบวก ประจุลบ อิเล็กตรอนและส่วนที่เป็นกลางทาง ไฟฟ้า อิเล็กตรอนที่เกิดขึ้นจะมีสภาพล่องสูงกว่าประจุบวก ดังนั้นจะแพร่ออกสู่มิวน้ำ ของวัตถุได้เร็วกว่า พื้นผิวของวัตถุมีศักดาเป็นลบเมื่อเทียบกับพลาสมา การแยกสภาพ ขั้วออกจากกันจะทำให้เกิดสนามไฟฟ้าขึ้นระหว่างหมู่พลาสมาและฐานรอง โดยออกจาก พลาสมาไปสู่ผิวหน้าของวัตถุ ไอออนที่เกิดขึ้นมีประจุหลุดออกจากผิวหน้าของวัตถุ แต่ส่วน ของพลาสมาที่มีสภาพเป็นกลางจะไม่เคลื่อนที่ตามสนามไฟฟ้าที่เกิดขึ้น ดังรูปที่ 2.14

ก๊าซส่วนหนึ่งที่ถูกไอออไนซ์แล้วนั้นจะเป็นส่วนที่ไวต่อการเกิดปฏิกิริยาเคมีซึ่งเรียกว่า ส่วนไวต่อปฏิกิริยา (reactive species) เช่น ไอออนของฟลูออไรด์ ( $SF_6$ ) และไอออนของคลอรีน ( $CF_4$ ) [17]



รูปที่ 2.14 การกัดด้วยไอออนที่ไวต่อปฏิกิริยา

### 2.3 การกัดเปียกแบบแอนไอโซทรอปิกโดยใช้สารละลาย TMAH

การกัดเปียกแบบแอนไอโซทรอปิกนั้นจะมีอัตราการกัดที่แตกต่างกัน ซึ่งขึ้นอยู่กับระนาบของผลึกซิลิคอน และสารละลายที่ใช้ในการกัดแบบแอนไอโซทรอปิกมักจะเป็นสารละลายที่มีหมู่ OH เป็นส่วนประกอบแต่สารละลายที่ใช้กันส่วนมาก คือ โพแทสเซียมไฮดรอกไซด์ (KOH), เอธิลีนไดแอมมีนไพโรคาทิกคอล (EDP) และเตตระเมทิลแอมโมเนียมไฮดรอกไซด์ (TMAH) ในวิทยานิพนธ์นี้จะอธิบายเกี่ยวกับ TMAH เท่านั้น

สารละลายเตตระเมทิลแอมโมเนียมไฮดรอกไซด์ สูตรทางเคมี  $(CH_3)_4NOH$  เป็นสารละลายที่มีโครงสร้างของไฮดรอกไซด์ (quaternary ammonium hydroxide) มากที่สุดและเป็นการกัดแบบแอนไอโซทรอปิกในซิลิคอน มีอัตราการกัดออกไซด์ที่ต่ำมากและจะไม่กัดอลูมิเนียมถ้ามีซิลิกเกตจำนวนมากพอ สารละลาย TMAH เป็นที่นิยมใช้กันอย่างแพร่หลายถึงแม้จะมีราคาที่สูงเพราะเป็นสารละลายที่ไม่เป็นอันตรายหรือไม่พิษและเป็นสารละลายที่สามารถใช้กับงาน CMOS ได้ซึ่งมีอัตราการกัดซิลิคอนในระดับปานกลาง-สูง สารละลาย TMAH ที่ทำการกัดซิลิคอนนั้นพื้นผิวจะมีลักษณะขรุขระ แต่เมื่อเจือสารละลาย TMAH ด้วยปริมาณที่เหมาะสมของกรดซิลิสิก (silicic acid) และแอมโมเนียมเปอร์ออกไดซัลเฟต (ammonium peroxydisulphate : AP,  $(NH_4)_2S_2O_8$ ) ผสมให้ลดการกัดออลูมิเนียมที่สมบูรณ์พร้อมกับพื้นผิวที่เรียบ [18]

ตารางที่ 2.1 การกัดเป็ยกแบบแอนไอโซทรอปิกของสารละลาย TMAH

สารละลาย	อุณหภูมิ (°C)	ระนาบ	อัตราการกัด ( $\mu\text{m}/\text{min}$ )	หมายเหตุ	
22% TMAH	90	(100)	0.9	(110) เป็นระนาบที่เร็วที่สุดโดยไม่ต้องลดแรงตึงผิว	
		(110)	1.8		
		(111)	0.018		
10% TMAH: 90% H <sub>2</sub> O	60	(100)	0.28		
	70		0.41		
	80		0.72		
	90		1.2		
	80	(111)	0.014		
2% TMAH: 98% H <sub>2</sub> O	80	(100)	0.65		
		(111)	0.41		
5% TMAH: 95% H <sub>2</sub> O	60	(100)	0.33		
	70		0.48		
	80		0.87		
	90		1.4		
	60	(110)	0.64		
	70		0.74		
	80		1.4		
	90		1.8		
	60		(111)		0.026
	80		0.013		
90	0.034				
22% TMAH + 0.5% surfactant	90	(100)	0.6	(100) ได้เร็วที่สุดด้วยสารลดแรงตึงผิว	
		(110)	0.12		
		(111)	0.01		
22% TMAH + 1% surfactant	90	(100)	0.6	ลดแรงตึงผิวอิมัลชัน	
		(110)	0.1		
		(111)	0.009		

เอกสารนี้เป็นเอกสารที่สงวนไว้สำหรับการใช้งานเพื่อการศึกษาเท่านั้น ไม่อนุญาตให้นำไปใช้ประโยชน์ด้านการค้าไม่ว่ากรณีใดๆ ทั้งสิ้น อีกทั้งห้ามมิให้ดัดแปลงเนื้อหา และต้องอ้างอิงถึงเจ้าของเอกสารทุกครั้งที่มีการนำไปใช้

ในตารางที่ 2.1 แสดงอัตราการกัดซิลิคอนของสารละลาย TMAH สารละลายที่มีความเข้มข้น 4% จะมีอัตราการกัดที่เป็นอิสระ อัตราการกัดซิลิคอนในระนาบ (100) และ (110) จะลดลงเนื่องจากความเข้มข้นของสารละลายที่สูงขึ้น แต่อัตราการกัดจะเพิ่มขึ้นด้วยการเพิ่มปริมาณของซิลิคอนที่ละลายในสารละลาย สารละลายจะเลือกกัดระนาบอื่นๆ มากกว่าระนาบ (111) เมื่อเปรียบเทียบกับสารละลาย KOH อัตราส่วนของอัตราการกัดในระนาบ (100)/(111) ที่มีความเข้มข้นของสารละลายที่แตกต่างกันและที่อุณหภูมิต่างๆ จะมีความเข้มข้นของสารละลาย 25% [19]

เมื่อเปรียบเทียบลักษณะการกัดของสารละลาย EDP, KOH และ TMAH ในตารางที่ 2.2 การกัดแบบแอนไอโซทรอปิกจะมีอัตราการกัดที่มากหรือน้อยขึ้นกับชนิดของวัสดุ เช่น ซิลิคอนออกไซด์ ซิลิคอนไนไตรด์และโลหะอะลูมิเนียม การหยุดการกัดแบบแอนไอโซทรอปิกโดยการเจือสารโบรอนมากในซิลิคอน ( $P^{++}$  etch stop) หรือรอยสัมผัส P-N (electrochemical etch stop) ปริมาณของโบรอนจะมีผลต่ออัตราการกัดของซิลิคอน ซึ่งทำให้อัตราการกัดนั้นลดลง

ตารางที่ 2.2 เปรียบเทียบอัตราการกัดของสารละลาย

	EDP	KOH	TMAH
Si etch rate ( $\mu\text{m}/\text{min}$ )	0.75-1.25	1-2	$\approx 1$
$\text{SiO}_2$ etch rate (nm/min)	1-80	1-10	0.05-0.25
$\text{Si}_3\text{N}_4$ etch rate (nm/min)	0.1	very low	0.05-0.25
(100)/(111) etch ratio	35	400	10-35
Si roughness	low	very low	moderate
Al selectivity	no <sup>(1)</sup>	no	yes <sup>(2)</sup>
$P^{++}$ etch stop [ $\text{cm}^{-3}$ ]	$B > 7 \times 10^{19}$ ER/50 <sup>(3)</sup>	$B > 10^{20}$ ER/20	$B > 2 \times 10^{20}$ ER/40
Alkali ions	no	yes	no
Cost	high	low	moderate
Disposal	easy	difficult	moderate
Safety	low	moderate	high

(1) One specific formulation does not attack Al  
 (2) If specific amounts of silicon are dissolved in the etching solution  
 (3) Silicon etch rate divided by 50 if Boron doses higher than  $7 \times 10^{19} \text{ cm}^{-3}$

เอกสารนี้เป็นเอกสารที่สงวนไว้สำหรับการใช้งานเพื่อการศึกษาเท่านั้น ไม่อนุญาตให้นำไปใช้ประโยชน์ด้านการค้า  
 ไม่ว่ากรณีใดๆ ทั้งสิ้น อีกทั้งห้ามมิให้ดัดแปลงเนื้อหา และต้องอ้างอิงถึงเจ้าของเอกสารทุกครั้งที่มีการนำไปใช้

การกัดของสารละลายแต่ละชนิดนั้นมีข้อดีเสียแตกต่างกัน การกัดด้วยสารละลาย KOH นั้นเป็นที่รู้จักกันว่าเลือกกัดที่ระนาบ (111) มากกว่าระนาบ (100) เมื่อเปรียบเทียบกัน ในการผลิต จะกำหนดและควบคุมการกัดบนพื้นผิวของวัสดุ แต่สารละลาย KOH ไม่สามารถนำมาใช้ในงาน จำพวก CMOS เนื่องจากอาจมีสารตกค้างอยู่บนพื้นผิวของวัสดุเป็นไอออนต่าง (โพแทสเซียม) ซึ่งสามารถ ทำให้เกิดการเปลี่ยนแปลงของแรงดันและการกัดกร่อนอะลูมิเนียม สารละลาย EDP จะมีความ น่าสนใจเนื่องจากในขณะที่ทำการกัดนั้นจะไม่มีโซเดียมหรือโพแทสเซียมไอออนตกค้างอยู่บนพื้นผิว ของวัสดุ แต่ไม่เลือกกัดอะลูมิเนียม (ยกเว้นในสูตรเฉพาะอย่างใดอย่างหนึ่ง) และมีข้อเสียอย่างอื่น สารละลาย EDP จะเป็นพิษและอันตรายมากมีความยุ่งยากในการจัดการ ดังนั้นจึงเหมาะสำหรับกับ การใช้ในงานพวก CMOS ในโรงงานอุตสาหกรรมขนาดใหญ่ที่สะดวกต่อการจัดการกับสารพิษ สารละลาย TMAH นี้จึงเหมาะสมสำหรับทำงานวิจัยและเป็นสารละลายที่รู้จักกันดีเพราะสารละลาย TMAH จะถูกนำไปใช้ในกระบวนการสร้าง IC เป็นการพัฒนาของ positive photoresist อัตราการ กัดซิลิคอนนั้นอยู่ในระดับธรรมดา สารละลาย TMAH เหมาะสำหรับการใช้ในงานพวก CMOS ไม่มี พวกไอออนต่างตกค้างบนพื้นผิวของวัสดุ ถ้าละลายสารเจือเพื่อทำการลดอัตราการกัดอะลูมิเนียมจะ ช่วยให้อะลูมิเนียมยังคงอยู่ ข้อเสียของสารละลาย TMAH จะทำการกัดระนาบ (111) ต่ำมากและ ลักษณะพื้นผิวที่ผ่านการกัดจะขรุขระกว่าการกัดแบบทั่วไปอื่นๆ [20]

## 2.4 การกัดแผ่นผลึกซิลิคอนแบบแอนไอโซทรอปิก

### 2.4.1 ปฏิกริยาการกัดซิลิคอน

การกัดซิลิคอนด้วยวิธีที่ประสบความสำเร็จที่สุด คือ การกัดซิลิคอนด้วยสารเคมีหรือกัดด้วย พลาสมา สารเคมีที่กัดกร่อนซิลิคอนได้นั้นมีมากมาย แต่ส่วนใหญ่จะประกอบด้วยต่างผสมกับน้ำ เช่น โพแทสเซียมไฮดรอกไซด์ (KOH), เอธิลีนไดเอมีน (Ethylenediamine), ไฮดราซีน (Hydrazine), โซเดียมไฮดรอกไซด์ (NaOH) และ เตตระเมทิลแอมโมเนียมไฮดรอกไซด์ (TMAH) ส่วนก๊าซที่ใช้กัดใน พลาสมา ได้แก่  $CF_4$ ,  $SF_6$ ,  $Cl_2$  และก๊าซฮาโลหรือฟลูออโรคาร์บอนอื่นๆ เป็นต้น สารละลายการกัด ดังกล่าวเหล่านี้มีทั้งที่มีคุณสมบัติไอโซทรอปิกหรือแอนไอโซทรอปิก อัตราการกัดขึ้นอยู่กับความ เข้มข้นหรืออุณหภูมิของสารละลาย สารละลายการกัดเหล่านี้จะกัดวัสดุต่างๆ กันได้ไม่เท่ากัน ดังนั้น การเลือกสารละลายการกัดที่เหมาะสมจึงมีความจำเป็นด้วย

การกัดซิลิคอนนั้นมีขั้นตอนหลักอยู่ 4 ขั้นตอน

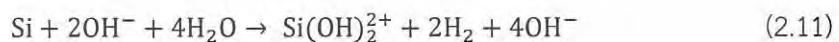
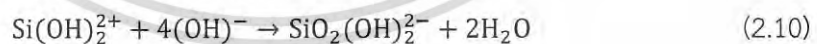
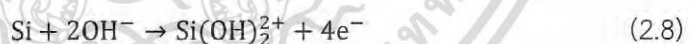
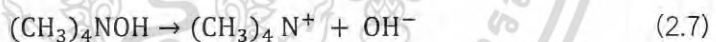
- (1) โอลจากสารละลายเข้าสู่ซิลิคอน เพื่อยกระดับสถานะออกซิเดชัน (oxidation state) ของซิลิคอนเป็น  $Si^+$
- (2) การรวมตัวของอะตอม  $OH^-$  และซิลิคอนประจุบวก เป็นซิลิคอนออกไซด์ที่ละลายน้ำได้
- (3) การรวมตัวของซิลิคอนและองค์ประกอบในสารละลายกลายเป็น complexing agent

เอกสารนี้เป็นเอกสารที่สงวนไว้สำหรับการใช้งานเพื่อการศึกษาเท่านั้น ไม่อนุญาตให้นำไปใช้ประโยชน์ด้านการค้า ไม่ว่ากรณีใดๆ ทั้งสิ้น อีกทั้งห้ามมิให้ดัดแปลงเนื้อหา และต้องอ้างอิงถึงเจ้าของเอกสารทุกครั้งที่มีการนำไปใช้

(4) การดึงซิลิคอนที่ทำปฏิกิริยากับสารละลายออกสู่น้ำ ทำให้ซิลิคอนถูกกัดออกไป จากชั้นตอนทั้งสี่ สารเคมีที่จะกัดซิลิคอนได้ต้องแตกตัวให้ไฮดรอกไซด์ซิลิคอนและตัวมันเองต้องมี อะตอมไฮดรอกซิลเกิดขึ้นรวมทั้ง complexing agent นั้นต้องสามารถละลายน้ำได้

สำหรับปรากฏการณ์การกัดแบบแอนไอโซทรอปิกในสารละลายเตตระเมทิลแอมโมเนียมไฮดรอกไซด์ (TMAH) นั้น มีกลไกกระบวนการกัดดังนี้

- (1) สารละลาย TMAH จะลดรูปเป็นไอออนไฮดรอกซิล
- (2) อะตอมไฮดรอกซิลจะเข้าจับกับแขนว่าง (dangling bond) ของซิลิคอน สำหรับแขนยื่นของซิลิคอนในระนาบ (100) มีสองแขน ในขณะที่เพียงแขนเดียวในซิลิคอนระนาบ (111) ชั้นตอนนี้ใช้พลังงานไอออนไนเซชันเพียง 0.35 อิเล็กตรอนโวลต์ ปฏิกิริยาจะเกิดขึ้นอย่างรวดเร็วมาก
- (3) พันธะซิลิคอนหลัก (back bond) ที่ยังไม่ถูกกัดออกไป (เท่ากับ 2 สำหรับระนาบ (100) และเท่ากับ 3 สำหรับระนาบ (111)) จะถูกดึงออกเพื่อรวมตัวกลายเป็น  $\text{Si}(\text{OH})_2^+$  หรือ  $\text{SiOH}^+$  (เรียกว่า ซิลิคอนไฮดรอกไซด์) ปฏิกิริยานี้ถ้าให้พลังงานแก่ผลึกต่างกัน อัตราส่วนการกัดของระนาบต่างๆ จะไม่เท่ากัน ที่อุณหภูมิใกล้เคียงเตืออัตรการระนาบ (110) : (100) : (111) เท่ากับ 160 : 100 : 1 แต่ที่อุณหภูมิห้องจะกับ 50 : 30 : 1
- (4) ซิลิคอนไฮดรอกไซด์ดังกล่าวจะทำปฏิกิริยากับอะตอมไฮดรอกซิลกลายเป็นกรดออร์ซิลิก (orthosilic acid) ซึ่งจะเกิดที่ผิวหน้าและถูกดึงออกสู่สารละลาย
- (5) กรดออร์ซิลิกแตกตัวเพื่อรวมกับน้ำ เกิดเป็นก๊าซไฮโดรเจน ดังสมการเคมีนี้



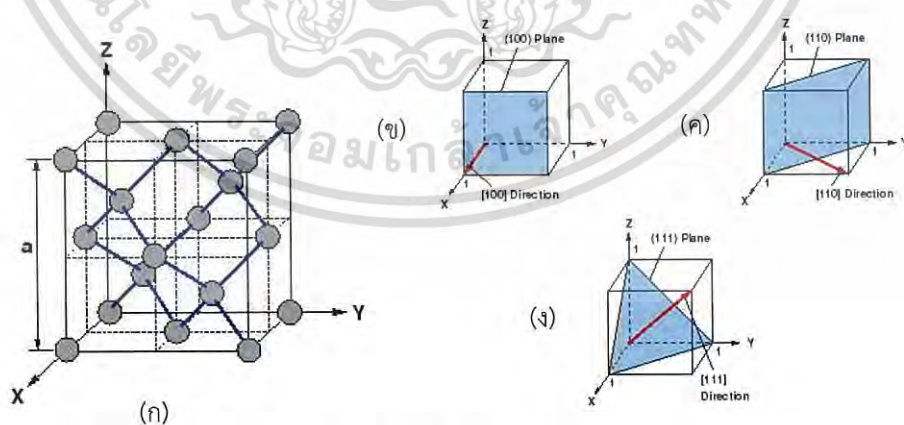
#### 2.4.2 โครงสร้างอะตอมของซิลิคอน

ในระนาบต่างๆ ของซิลิคอน จะมีจำนวนพันธะที่ถูกกัดออกไปก่อนหน้า (เหลือเป็นแขนยื่น) จำนวนพันธะที่กำลังถูกกัด และจำนวนพันธะที่ถูกดึงออกสู่สารละลายเป็นชั้นตอนต่อไปไม่เท่ากัน กล่าวคือ

- (1) ระนาบ (100) อะตอมที่ถูกตัดจะมีสองอะตอมที่อยู่ใต้ผิวหน้าระนาบและมีสองอะตอมที่ถูกตัดไปก่อนหน้า ดังนั้นการที่ถูกต้องอะตอมจากผิวหน้าต้องมีการทำลายพันธะถึงสองพันธะ
- (2) ระนาบ (111) จะมีสามอะตอมที่อยู่ใต้ผิวหน้า และมีหนึ่งอะตอมถูกตัดออกไปก่อนหน้า จึงเป็นระนาบที่แข็งแรงที่สุด
- (3) ระนาบ (110) จะมีสามอะตอมอยู่ที่ผิวหน้า หนึ่งอะตอมอยู่ที่ใต้ผิวหน้าและหนึ่งอะตอมที่ถูกตัดไปก่อนหน้า แม้ว่าจะมีสองอะตอมที่มีพันธะร่วมกับ อะตอมตรงกลางที่อยู่บนผิวหน้า แต่ก็ล้วนเป็นอะตอมที่อยู่ผิวหน้าด้วยกันจึงจะถูกตัดออกไปพร้อมกัน

สารละลายซึ่งประกอบด้วยส่วนผสมของ สารละลาย เตตระเมทิลแอมโมเนียมไฮดรอกไซด์ และ น้ำปลอตประจุ มีชื่อย่อว่า (TMAH) เป็นสารละลายที่มีคุณสมบัติการกัดเป็ยกแบบแอนไอโซทรอปิก อัตราการกัดของ TMAH ในผลึกซิลิคอนในระนาบต่างๆ เรียงเป็นลำดับดังนี้  $(100) > (110) > (111)$  [12]

เนื่องจากสารละลาย TMAH เป็นสารละลายที่ทำการกัดแบบแอนไอโซทรอปิก โครงสร้างของสารละลาย TMAH ต้องเพิ่มอุณหภูมิช่วยในการกัดระนาบของซิลิคอน เพื่อให้สารละลาย TMAH ทำการกัด ควรรู้ว่าโครงสร้างผลึกของซิลิคอน คือแบบเพอร์มิตต์ค่าคงที่ของโครงสร้างอะตอมประกอบเท่ากับ 5.43 Å เป็นโครงสร้างแบบ Face Centred Cubic (FCC) แต่มีอะตอมสองอะตอมในหน่วยเซลล์ ในรูปที่ 2.15 โครงสร้างอะตอมของซิลิคอนและ ระนาบต่างๆของผลึกซิลิคอน

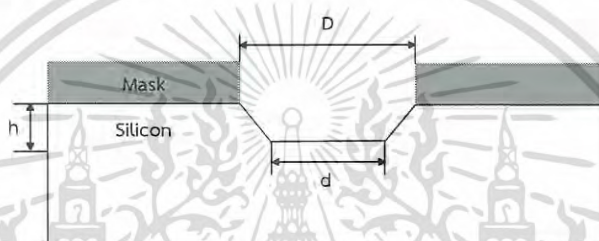


รูปที่ 2.15 (ก) ซิลิคอนมีลักษณะโครงสร้างเป็น FCC (face-centered cubic)

- (ข) พันธะในอะตอมซิลิคอนระนาบ (100)
- (ค) พันธะในอะตอมซิลิคอนระนาบ (110)
- (ง) พันธะในอะตอมซิลิคอนระนาบ (111)

เอกสารนี้เป็นเอกสารที่สงวนไว้สำหรับการใช้งานเพื่อการศึกษาเท่านั้น ไม่อนุญาตให้นำไปใช้ประโยชน์ด้านการค้า ไม่ว่าจะกรณีใดๆ ทั้งสิ้น อีกทั้งห้ามมิให้ดัดแปลงเนื้อหา และต้องอ้างอิงถึงเจ้าของเอกสารทุกครั้งที่มีการนำไปใช้

ร่องรูปตัวยูที่เกิดจากการกัดเมื่อเปิดช่องเลือกกัดบนระนาบผลึกที่ไม่เหมือนกัน จะมีความแตกต่างกัน แต่ผนังที่เกิดขึ้นก็คือระนาบที่มีอัตราการกัดช้าที่สุด สำหรับแผ่นผลึกซิลิกอนระนาบ (100) ถ้าเปิดช่องเลือกกัดเป็นวงกลม ร่องรูปตัวยูที่เกิดขึ้นจะประกอบด้วยผนังสองด้านเอียงทำมุม 54.74 องศาขนานกับพื้นระนาบ (100) แนวขอบผนังขนานกับทิศทาง (110) ระนาบนั้นคือระนาบ (111) และยังมีระนาบ (100) ร่วมกันประกอบเป็นผนัง แต่ถ้าเปิดบริเวณเลือกกัดเป็นสี่เหลี่ยมมุมฉาก ที่มีด้านตั้งขนานกับทิศทาง (110) จะได้ผนังสี่ด้านเป็นระนาบ (111) ทั้งหมด พื้นที่หลุมจะเป็นระนาบ (100) โดยความสัมพันธ์ของเลขาคณิตที่แน่นอนของระนาบ (100) และระนาบ (111) ดังรูปที่ 2.16 การกัดของระนาบ (100)



รูปที่ 2.16 ลักษณะของการกัดแบบแอนไอโซทรอปิกของระนาบ (100)

$$D = d + \frac{2h}{\tan(54.74^\circ)} \cong d + \sqrt{2}h \quad (2.12)$$

$$h = Rt \quad (2.13)$$

โดยที่  $D$  คือ ขนาดของความกว้างของปากหลุม

$d$  คือ ขนาดของความกว้างในหลุม

$h$  คือ ขนาดความลึกของหลุม

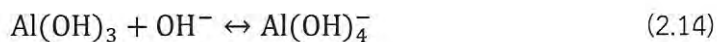
$R$  คือ อัตราการกัดในแนวตั้งของซิลิกอน

$t$  คือ เวลา

### 2.4.3 ปฏิริยาการกัดอะลูมิเนียม

การกัดซิลิกอนแบบแอนไอโซทรอปิกมีความสำคัญมีความต้องการเลือกใช้อะลูมิเนียมเป็นชั้น metallization ฟิล์มอะลูมิเนียมจะถูกควบคุมด้วยสารละลายที่เป็นกรดและด่างที่มีค่าความเป็นกรด-ด่างที่สูงอะลูมิเนียมไม่สามารถรักษาได้เพราะชั้นออกไซด์มี  $Al(OH)_3$  ซึ่งทำปฏิริยาในสารละลายต่าง อะลูมิเนียมดังสมการที่ (2.14)

เอกสารนี้เป็นเอกสารที่สงวนไว้สำหรับการใช้งานเพื่อการศึกษาเท่านั้น ไม่อนุญาตให้นำไปใช้ประโยชน์ด้านการค้า ไม่ว่าจะกรณีใดๆ ทั้งสิ้น อีกทั้งห้ามมิให้ดัดแปลงเนื้อหา และต้องอ้างอิงถึงเจ้าของเอกสารทุกครั้งที่มีการนำไปใช้



การลดลงของค่าความกรด-ด่าง โดยซิลิโคนการเปลี่ยนแปลงสมดุลเคมีไปทางด้านซ้ายของสมการเกิดปฏิกิริยาการเลือกของอะลูมิเนียมออกไซด์ในการกัดด้วยสารละลาย TMAH เพิ่มขึ้นด้วยซิลิโคนเราได้พิจารณาแล้วว่าในช่วงการตรวจสอบความเข้มข้นของสารละลาย TMAH เป็นซิลิโคนเสมอจำเป็นสำหรับฟิล์มอะลูมิเนียมออกไซด์ซิลิเกตในสารละลายที่ทำปฏิกิริยากับอะลูมิเนียมไฮดรอกไซด์ (Aluminium hydroxide :  $\text{Al(OH)}_3$ ) ในรูปแบบซิลิเกต (pyrophyllite-type) ที่ละลายได้น้อยซึ่งพื้นผิวอะลูมิเนียมออกไซด์ [21]



เอกสารนี้เป็นเอกสารที่สงวนไว้สำหรับการใช้งานเพื่อการศึกษาเท่านั้น ไม่อนุญาตให้นำไปใช้ประโยชน์ด้านการค้าไม่ว่ากรณีใดๆ ทั้งสิ้น อีกทั้งห้ามมิให้ดัดแปลงเนื้อหา และต้องอ้างอิงถึงเจ้าของเอกสารทุกครั้งที่มีการนำไปใช้

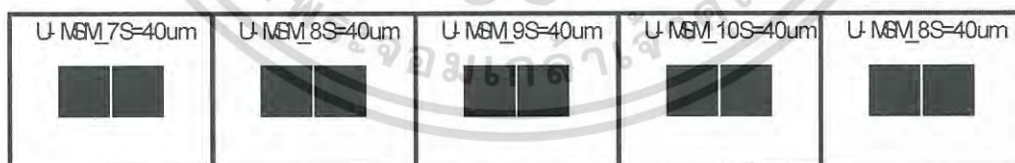
## บทที่ 3

### การออกแบบและกระบวนการสร้าง

ในบทนี้จะกล่าวถึงการออกแบบและกระบวนการสร้างตัวตรวจวัดแสงโครงสร้างโลหะ-สารกึ่งตัวนำ-โลหะ (MSM) แบบร่องรูปตัวยู (U-Shape) หรือ UMSM เป็นโครงสร้างที่สามารถสร้างได้ง่ายด้วยกระบวนการสร้างที่ใช้แผ่นกระจกต้นแบบเพียงแผ่นเดียว โดยมีการออกแบบให้มีระยะห่างระหว่างขั้วไฟฟ้า 40-100 ไมโครเมตร และมีความลึกที่แตกต่างกัน

#### 3.1 การออกแบบ

ตัวตรวจวัดแสงโครงสร้าง AL/n-Si/Al แบบ U-Shape หรือ UMSM ประกอบด้วยรอยสัมผัสระหว่างอะลูมิเนียม-อินซิลิคอน-อะลูมิเนียม ซึ่งวัสดุที่ใช้สามารถทำได้ง่ายและยังเป็นวัสดุที่สำคัญในการสร้างวงจรรวม เริ่มการออกแบบลวดลายของกระจกต้นแบบเพื่อทำการสร้างตัวตรวจวัดแสงโครงสร้าง UMSM ซึ่งเป็นขั้นตอนแรกก่อนกระบวนการสร้างทั้งหมด การออกแบบนั้นจะใช้เงื่อนไขคือมีลักษณะของขั้วไฟฟ้าขนาด  $1 \times 1$  ตารางมิลลิเมตร ระยะห่างระหว่างขั้วไฟฟ้า (electrode spacing : S) มีขนาด 40-100 ไมโครเมตร ในงานวิจัยนี้ได้ทำการออกแบบลวดลายของกระจกต้นแบบเป็นชนิดที่ใช้กับน้ำยาไวแสงชนิดบวก (positive) โดยใช้โปรแกรม Corel DRAW X5 Graphic จากนั้นนำไฟล์ข้อมูลที่ได้ทำการออกแบบพิมพ์ลงบนแผ่นฟิล์มด้วยเครื่องพิมพ์เลเซอร์ด้วยความละเอียดสูง แล้วนำแผ่นฟิล์มที่ได้ไปติดบนกระจกใส เพื่อสร้างเป็นกระจกต้นแบบสำหรับใช้ในกระบวนการสร้างต่อไป โดยลวดลายที่ได้ทำการออกแบบแสดงดังรูปที่ 3.1



รูปที่ 3.1 ลวดลายกระจกต้นแบบของตัวตรวจวัดแสงโครงสร้าง UMSM

#### 3.2 เจือไนที่ใช้ในกระบวนการกัดแผ่นผลึกซิลิคอน

เนื่องจากในวิทยานิพนธ์นี้มีการกัดแผ่นผลึกซิลิคอนเข้ามาเกี่ยวข้อง จึงมีการเลือกใช้เจือไนที่มีความเหมาะสมสำหรับการสร้างตัวตรวจวัดแสงโครงสร้าง AL/n-Si/Al แบบร่องรูปตัวยู โดยการกัดซิลิคอนเป็นร่องลึกนี้ โดยใช้กระบวนการกัดแบบเปียกในสารละลายเตตระเมทิลอามโมเนียมไฮดรอกไซด์ (TMAH) ซึ่งสารละลายเตตระเมทิลอามโมเนียมไฮดรอกไซด์นี้มีคุณสมบัติในการกัดแบบแอนไอโซทรอปิก คือเป็นการกัดระนาบใดระนาบหนึ่งมากกว่าอีกระนาบหนึ่ง ซึ่งจะใช้สารละลาย TMAH ที่ความเข้มข้นใดๆ ทั้งสิ้น อีกทั้งห้ามมิให้ตัดแปลงเนื้อหา และต้องอ้างอิงถึงเจ้าของเอกสารทุกครั้งที่มีการนำไปใช้

ความเข้มข้น 8.3 wt% และใช้ซิลิคอนผงผสมลงไปในการละลายเป็นจำนวน 37.5 กรัมต่อลิตร ใช้อุณหภูมิในการกัด 80 องศาเซลเซียส [20] จะได้อัตราส่วนที่สามารถสร้างตัวตรวจวัดแสงแบบรอรูปลูกด้วยในงานวิจัยนี้ได้

### 3.3 กระบวนการสร้าง

กระบวนการสร้างเริ่มจากใช้แผ่นผลึกซิลิคอนชนิดเอ็น ที่มีระนาบ (100) และมีสภาพต้านทานไฟฟ้า 75-95 โอห์ม-เซนติเมตร เพื่อใช้ในการสร้างชั้นโลหะอะลูมิเนียมโดยใช้กระบวนการสปัตเตอร์

#### 3.3.1 ขั้นตอนการเตรียมแผ่นผลึกซิลิคอน

ก่อนนำแผ่นผลึกซิลิคอนเข้าสู่กระบวนการสร้างชั้นโลหะอะลูมิเนียมจำเป็นต้องทำการเตรียมแผ่นผลึกซิลิคอนด้วยการทำความสะอาด เพื่อป้องกันสิ่งสกปรกจากภายนอกเข้ามาปนเปื้อนซึ่งในการทำความสะอาดแผ่นผลึกซิลิคอนเริ่มต้นนั้น มีขั้นตอนดังนี้

- อัลตราโซนิก (ultrasonic) ในน้ำบริสุทธิ์ (de-ionization:DI) เป็นเวลา 5 นาที เพื่อกำจัดฝุ่นละออง

- จุ่มใน DI แก้ว 1

- เป่าแห้งด้วยก๊าซเป่าแห้งด้วยก๊าซไนโตรเจน ( $N_2$ )

- ต้มในกรดไนตริก (nitric acid: $HNO_3$ ) จำนวน 2 แก้ว แก้วละ 5 นาที เพื่อกำจัดสิ่งสกปรก

จำพวกโลหะ

- จุ่มในน้ำ DI 1 แก้ว

- จุ่มในน้ำ DI 2 แก้ว แก้วละ 5 นาที (กรด Nitric ละลายในน้ำร้อนได้ดี)

- จุ่มในน้ำ DI 2 แก้ว

- เป่าแห้งด้วยก๊าซไนโตรเจน

- ต้มในไตรโคโลเอทิลีน (Trichloroethylene) 5 นาที เพื่อกำจัดสิ่งสกปรกจำพวกคราบ

ไขมัน

- Ultrasonic ในอะซิโตน (Acetone) 3 นาที

- จุ่มในน้ำ DI 2 แก้ว

- เป่าแห้งด้วยก๊าซไนโตรเจน

#### 3.3.2 กระบวนการสร้างชั้นโลหะอะลูมิเนียม

ในกระบวนการสร้างชั้นโลหะอะลูมิเนียมจะสร้างด้วยวิธีอีซีแมกนีตรอนสปัตเตอร์ริง เป็นกระบวนการสร้างชั้นโลหะอะลูมิเนียมให้มีความหนา 2 ไมโครเมตร โดยอาศัยหลักการที่อะตอมของผิวหน้าสารเคลือบซึ่งใช้อะลูมิเนียมเป็นเป้าถูกทำให้หลุดออกมาด้วยการชนของอนุภาคพลังงานสูง เช่น อนุภาคของก๊าซอาร์กอน ( $Ar^+$ ) จากนั้นอะตอมที่หลุดออกจากเป้าสารเคลือบจะวิ่งมาเคลือบบน

แผ่นผลึกซิลิคอน

### 3.3.3 กระบวนการโฟโตลิโธกราฟี

ขั้นตอนนี้เป็นกระบวนการสร้างลวดลายของชิ้นงานเพื่อสร้างลวดลายขั้วโลหะโครเมียมด้วยกระจกต้นแบบ ที่เรียกว่า โฟโตมาสก์ (photomask) ซึ่งมีลักษณะเป็นลวดลายบนฟิล์มกระจก ที่ได้มาจากการออกแบบ แสงที่ฉายผ่านกระจกโฟโตมาสก์จะสามารถทะลุผ่านไปได้เฉพาะบริเวณที่ไม่มีลวดลาย ส่วนบริเวณที่มีลวดลาย (สีดำทึบ) แสงจะผ่านไม่ได้ ดังนั้นชั้นของน้ำยาไวแสงจึงมีบางบริเวณที่ถูกแสง และบางบริเวณที่ไม่ถูกแสง ปฏิกิริยาเคมี-แสงที่เกิดขึ้น จะทำให้คุณสมบัติของน้ำยาไวแสงเปลี่ยนแปลงไป และแตกต่างกันตามชนิดของน้ำยาไวแสง เมื่อนำแผ่นผลึกนี้ไปล้างน้ำยาล้างฟิล์ม (Developer) บางส่วนของชั้นน้ำยาไวแสงจะถูกละลายออกไป ส่วนชั้นของน้ำยาไวแสงที่เหลืออยู่บนผิวอะลูมิเนียม จะทำหน้าที่ป้องกันไม่ให้ชั้นอะลูมิเนียมบริเวณนี้ถูกกัดออกไป เมื่อลอกชั้นของน้ำยาไวแสงออกก็จะปรากฏลวดลายของชั้นโลหะอะลูมิเนียมขึ้นตามลวดลายที่เราออกแบบไว้ โดยกระบวนการทั้งหมดมีขั้นตอนดังนี้

- อบแผ่นไล่ความชื้น ที่อุณหภูมิ 90 °C เป็นเวลา 30 นาที
- เคลือบน้ำยาไวแสงชนิดบวก AZ P1350 ด้วยเครื่องสปินเนอร์ด้วยความเร็ว 500 รอบต่อวินาที เป็นเวลา 10 วินาที และ 2000 รอบต่อวินาที เป็นเวลา 30 วินาที
- อบแผ่นครั้งแรก (Pre bake) ที่อุณหภูมิ 90 °C เป็นเวลา 30 นาที เพื่อให้น้ำยาไวแสงแห้ง
- ฉายแสงผ่านกระจกต้นแบบด้วยเครื่องปรับซ็อนมาร์ก (Mask aligner) ใช้เวลาในการฉายแสง 25 วินาที
- ชั้นลวดลายน้ำยาไวแสงโดยจุ่มลงในน้ำยาขี้ลวดลาย (AZ developer) 2 แก้ว แก้วละ 15 วินาที
- จุ่มใน DI 2 แก้ว
- เป่าให้แห้งด้วยก๊าซไนโตรเจน
- อบครั้งที่สอง (Post bake) ที่อุณหภูมิ 90 °C เป็นเวลา 30 นาที เพื่อให้น้ำยาไวแสงที่เหลืออยู่แห้ง
- กัดชั้นฟิล์มโลหะอะลูมิเนียมในส่วนที่ไม่ต้องการออก เพื่อสร้างเป็นขั้วไฟฟ้า โดยใช้สารละลายสกัดชั้นอะลูมิเนียม (Al etching) ซึ่งมีส่วนผสมของ  $H_3PO_4$  :  $HNO_3$  :  $CH_3COOH$  : DI ในอัตราส่วน 80 : 5 : 5 : 10 โดยจุ่มลงในสารละลายสกัดชั้นอะลูมิเนียมที่อุณหภูมิ 40 °C เป็นเวลา 10-20 วินาที
- จุ่มใน DI 2 แก้ว
- เป่าให้แห้งด้วยก๊าซไนโตรเจน
- จุ่มในอะซิโตน 2 แก้ว แก้วละ 1 นาที เพื่อลอกน้ำยาไวแสงที่เหลือออก
- จุ่มใน DI 2 แก้ว
- เป่าให้แห้งด้วยก๊าซไนโตรเจน

เอกสารนี้เป็นเอกสารที่สงวนไว้สำหรับการใช้งานเพื่อการศึกษาเท่านั้น ไม่อนุญาตให้นำไปใช้ประโยชน์ด้านการค้า ไม่ว่ากรณีใดๆ ทั้งสิ้น อีกทั้งห้ามมิให้ดัดแปลงเนื้อหา และต้องอ้างอิงถึงเจ้าของเอกสารทุกครั้งที่มีการนำไปใช้

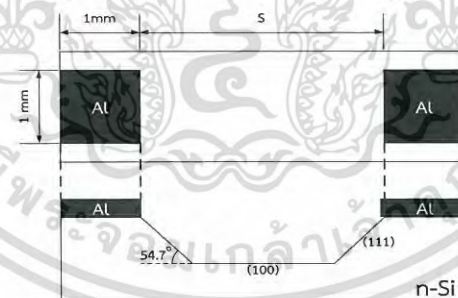
### 3.3.4 กระบวนการกัด

ในกระบวนการกัด (etching) จะใช้สารละลายเตตระเมทิลแอมโมเนียมไฮดรอกไซด์ (Tetramethylammonium Hydroxide : TMAH) ผสมกับผงซิลิคอนปริมาณ 37.5 กรัมต่อลิตร เพื่อใช้ในการลดอัตราการกัดอลูมิเนียม เพื่อที่จะใช้ในการสร้างตัวตรวจวัดแสงโครงสร้างโลหะ-สารกึ่งตัวนำ-โลหะ หรือ UMSM โดยใช้อลูมิเนียมเป็นชั้นโลหะ

- ผสมผงซิลิคอนลงใน TMAH
- ต้มสารละลาย TMAH ที่ผสมผงซิลิคอนเรียบร้อยแล้ว ที่อุณหภูมิ 80 °C
- นำแผ่น n-Si/Al ที่ได้หลังจากกระบวนการโฟโตลิโธกราฟีมาทำการกัดด้วย HF 5 %
- จุ่มใน DI 2 แก้ว
- นำแผ่น n-Si/Al มาทำการกัดด้วยสารละลาย TMAH
- จุ่มใน DI 2 แก้ว
- เป่าให้แห้งด้วยก๊าซไนโตรเจน

### 3.2.5 กระบวนการขึ้นเตอริง

กระบวนการขึ้นเตอริงเป็นกระบวนการทางความร้อนที่ทำให้รอยสัมผัสของอะลูมิเนียมและซิลิคอนสมบูรณ์ขึ้น ด้วยการนำชิ้นงานไปไว้ในบรรยากาศของก๊าซไนโตรเจนที่อุณหภูมิ 500 °C โดยมีอัตราการไหลของก๊าซไนโตรเจน 1 ลิตร/นาที่ เป็นเวลา 15 นาที ซึ่งเป็นเงื่อนไขของเวลาที่ทำให้ได้รอยสัมผัสที่ดีและมีกระแสไหลต่ำ [22]



รูปที่ 3.2 ลักษณะโครงสร้างของตัวตรวจวัดแสงแบบ U-shaped



รูปที่ 3.3 ลักษณะชิ้นงานที่ผ่านการตัดแยกชิ้นและเชื่อมต่อขา

เอกสารนี้เป็นเอกสารที่สงวนไว้สำหรับการใช้งานเพื่อการศึกษาเท่านั้น ไม่อนุญาตให้นำไปใช้ประโยชน์ด้านการค้า ไม่ว่าจะกรณีใดๆ ทั้งสิ้น อีกทั้งห้ามมิให้ดัดแปลงเนื้อหา และต้องอ้างอิงถึงเจ้าของเอกสารทุกครั้งที่มีการนำไปใช้



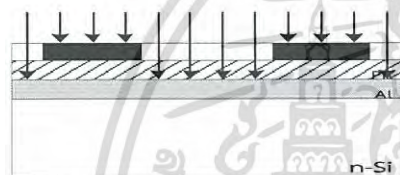
แผ่นซิลิคอนชนิดเอ็น



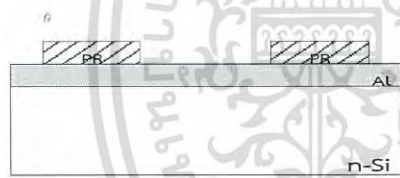
สร้างชั้นอะลูมิเนียม



เคลือบน้ำยาไวแสง



ฉายแสงผ่านกระจกต้นแบบ



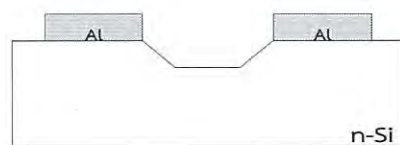
ชั้นลวดลายโดยจุ่มลงใน Developer



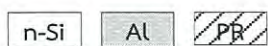
กัดชั้นอะลูมิเนียมที่ไม่ต้องการออก



ลอกน้ำยาไวแสงออก



กัดซิลิคอนโดยสารละลาย TMAH



เอกสารนี้เป็นเอกสารที่สงวน **รูปที่ 3.4** กระบวนการสร้างตัวตรวจวัดแสงแบบร่องรูปด้วยไปใช้ประโยชน์ด้านการค้า  
ไม่ว่ากรณีใดๆ ทั้งสิ้น อีกทั้งห้ามมิให้ตัดแปลงเนื้อหา และต้องอ้างอิงถึงเจ้าของเอกสารทุกครั้งที่มีการนำไปใช้

## บทที่ 4

### ผลการทดลองและวิเคราะห์ผลการทดลอง

หลังจากที่ได้ทำการสร้างตัวตรวจวัดแสงโครงสร้าง AL/n-Si/Al แบบร่องรูปตัวยูแล้ว ในบทนี้จะกล่าวถึงผลการทดลองและวิเคราะห์ผลการทดลอง โดยศึกษาลักษณะทางกายภาพของตัวตรวจวัดแสงแบบร่องรูปตัวยู ศึกษาลักษณะสมบัติทางไฟฟ้าของตัวอุปกรณ์ที่สร้างขึ้นซึ่งขณะไม่ได้รับการฉายแสง และเมื่อมีการฉายแสงด้วยความเข้มแสงค่าต่างๆ โดยใช้หลอดฮาโลเจนเป็นแหล่งกำเนิดแสง การทดลองจะแบ่งเป็น 3 ส่วนด้วยกัน ส่วนแรกเป็นการสร้างตัวตรวจวัดแสงโครงสร้าง AL/n-Si/Al แบบพลาสมาเพื่อนำไปใช้เปรียบเทียบกับตัวตรวจวัดแสงโครงสร้าง AL/n-Si/Al แบบร่องรูปตัวยู (UMSM) ในส่วนที่สอง ว่ามีการเปลี่ยนแปลงคุณสมบัติทางไฟฟ้าอย่างไร ซึ่งพบว่าตัวตรวจวัดแสงแบบร่องรูปตัวยูที่สร้างขึ้นมีค่ากระแสรั่วที่สูง อีกทั้งลักษณะพื้นผิวมีความขรุขระ จึงมีแนวความคิดในการลดปัจจัยที่เกิดขึ้น โดยในส่วนที่สามนี้เป็นการสร้างตัวตรวจวัดแสงโครงสร้าง AL/n-Si/Al แบบร่องรูปตัวยู โดยมีการเติมไอโซโพรพิล แอลกอฮอล์ลงไปในการละลายที่ใช้ในการกัดร่องรูปตัวยู

#### 4.1 การสร้างตัวตรวจวัดแสงโครงสร้าง AL/n-Si/Al แบบพลาสมา

ในหัวข้อนี้ได้ทำการสร้างตัวตรวจวัดแสงโครงสร้าง AL/n-Si/Al แบบพลาสมา เพื่อที่จะนำข้อมูลลักษณะสมบัติทางไฟฟ้าเช่น ค่ากระแสรั่ว และค่ากระแสแสงเบื้องต้นไปใช้ในการเปรียบเทียบกับลักษณะสมบัติทางไฟฟ้ากับตัวตรวจวัดแสงโครงสร้าง AL/n-Si/Al แบบร่องรูปตัวยู ซึ่งเป็นส่วนสำคัญในการพัฒนากระบวนการสร้างตัวตรวจวัดแสงให้มีประสิทธิภาพเพิ่มมากขึ้นจากแบบพลาสมา โดยในวิทยานิพนธ์เล่มนี้ได้ทำการปรับเปลี่ยนโครงสร้างจากแบบพลาสมา เป็นการกัดร่องรูปตัวยูบริเวณระยะห่างระหว่างขั้วไฟฟ้าทั้งสอง หรือบริเวณพื้นที่รับแสงนั่นเอง

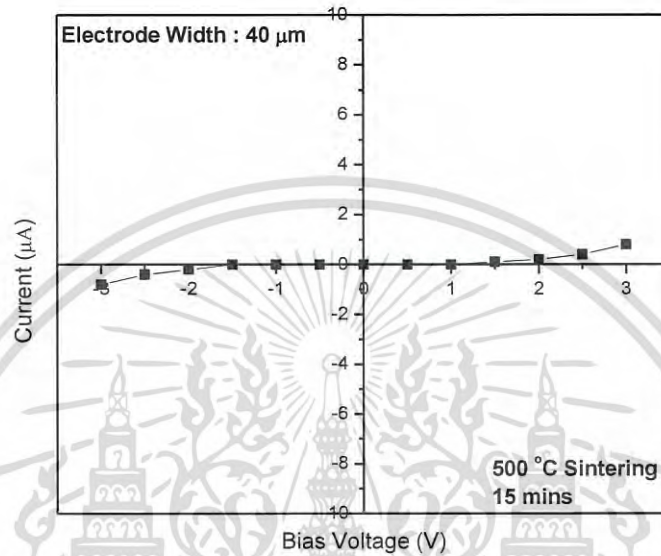
##### 4.1.1 ลักษณะสมบัติทางไฟฟ้าของตัวตรวจวัดแสงโครงสร้าง AL/n-Si/Al แบบพลาสมา

ในรูปที่ 4.1 เป็นความสัมพันธ์ของลักษณะกระแส-แรงดันของตัวตรวจวัดแสงโครงสร้างสองรอยสัมผัสชนิดออตต์กีแบบพลาสมาขณะไม่ได้รับแสงตกกระทบ ซึ่งมีระยะห่างระหว่างขั้วไฟฟ้าเท่ากับ  $40\ \mu\text{m}$  ใช้อุณหภูมิซินเตอร์ริง 500 องศาเซลเซียส เป็นเวลา 15 นาที พบว่ามีค่ากระแสรั่วของอุปกรณ์ AL/n-Si/Al ที่แรงดันไบอัสเท่ากับ 3 V มีค่าเท่ากับ  $0.8\ \mu\text{A}$

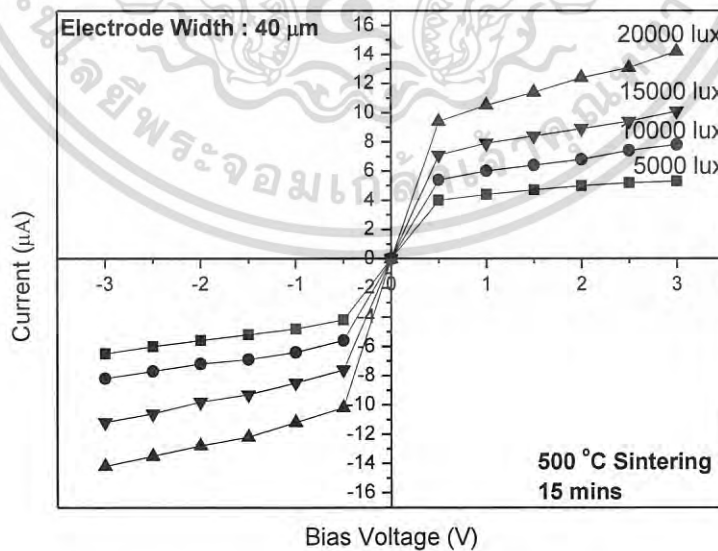
จากการทดลองในรูปที่ 4.1 จากนั้นนำตัวตรวจวัดแสงโครงสร้าง AL/n-Si/Al แบบพลาสมาที่สร้างขึ้นมาทำการวัดความสัมพันธ์ระหว่างกระแส-แรงดันภายใต้เงื่อนไขได้รับแสงตกกระทบจากหลอดฮาโลเจนที่มีความเข้มแสงค่าต่างๆ ที่ความเข้มแสง 5,000 ถึง 20,000 lux ผลการทดลองดังแสดงในรูปที่ 4.2 พบว่าอุปกรณ์จะมีกระแสแสงเพิ่มขึ้นเมื่อความเข้มแสงเพิ่มขึ้น เนื่องจากการเกิดคู่

เอกสารนี้เป็นเอกสารที่สงวนไว้สำหรับการใช้งานเพื่อการศึกษาเท่านั้น ไม่อนุญาตให้นำไปใช้ประโยชน์ด้านการค้าไม่ว่ากรณีใดๆ ทั้งสิ้น อีกทั้งห้ามมิให้ตัดแปลงเนื้อหา และต้องอ้างอิงถึงเจ้าของเอกสารทุกครั้งที่มีการนำไปใช้

พาหะอิเล็กทรอนิกส์-โพลีที่มากขึ้นเมื่อได้รับความเข้มแสงเพิ่มขึ้น [23] โดยที่เมื่อให้แรงดันไบอัสเท่ากับ 3 V ที่ความเข้มแสง 5,000, 10,000, 15,000 และ 20,000 lux ตามลำดับ จะมีกระแสแสงเท่ากับ 5.3, 7.8, 10.1 และ 14.2  $\mu\text{A}$  ตามลำดับ



รูปที่ 4.1 ลักษณะกระแส-แรงดันของตัวตรวจวัดแสงโครงสร้างสองรอยสัมผัสชนิดตติยแบบพลา-  
นาร์ขณะไม่ได้รับแสงตกกระทบ



รูปที่ 4.2 ลักษณะกระแส-แรงดันของตัวตรวจวัดแสงโครงสร้างสองรอยสัมผัสชนิดตติยแบบพลา-  
นาร์ขณะได้รับแสงตกกระทบ

เอกสารนี้เป็นเอกสารที่สงวนไว้สำหรับการใช้งานเพื่อการศึกษาเท่านั้น ไม่อนุญาตให้นำไปใช้ประโยชน์ด้านการค้า  
ไม่ว่ากรณีใดๆ ทั้งสิ้น อีกทั้งห้ามมิให้ดัดแปลงเนื้อหา และต้องอ้างอิงถึงเจ้าของเอกสารทุกครั้งที่มีการนำไปใช้

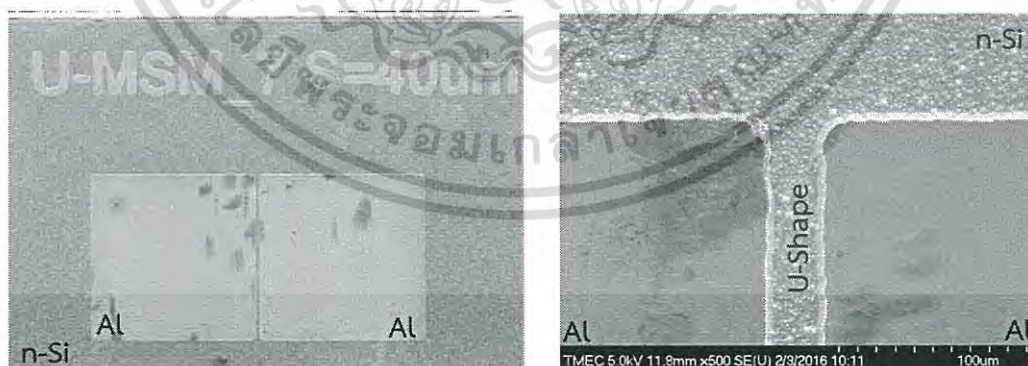
## 4.2 การสร้างตัวตรวจวัดแสงโครงสร้าง Al/n-Si/Al แบบร่องรูปด้วย

ในงานวิจัยนี้ได้ทำการเปลี่ยนแปลงโครงสร้างของตัวตรวจวัดแสงจากแบบเชิงราบหรือพลา-นาร์ โดยที่ตัวตรวจวัดแสงมีลักษณะโครงสร้างโลหะ-สารกึ่งตัวนำ-โลหะ ชนิด Al/n-Si/Al เนื่องจากโครงสร้างแบบพลาแนร์นั้นมีบริเวณพื้นที่รับแสงจำกัดอยู่ที่บริเวณพื้นที่รับแสงหรือระยะห่างระหว่างขั้วไฟฟ้าทั้งสองเท่านั้น ในการศึกษาหัวข้อนี้จึงมีแนวความคิดในการเพิ่มพื้นที่รับแสงให้กับตัวอุปกรณ์ตัวตรวจวัดแสงขึ้น โดยการกัดร่องรูปด้วยบริเวณพื้นที่รับแสงนั้น

ในหัวข้อนี้ได้ทำการสร้างตัวตรวจวัดแสงโครงสร้าง Al/n-Si/Al แบบร่องรูปด้วยหรือ UMSM ขึ้นโดยใช้กระบวนการกัดแบบเปียกในสารละลายเตตระเมทิลอะมิโนเนียมไฮดรอกไซด์ [TMAH] ซึ่งสารละลาย TMAH นี้มีคุณสมบัติในการกัดแบบแอนไอโซทรอปิก คือเป็นการกัดแบบกัดระนาบใดระนาบหนึ่งได้เร็วกว่าระนาบหนึ่ง โดยจะกัดระนาบ (100)>(111) แล้วทำการศึกษาลักษณะทางกายภาพและลักษณะสมบัติทางไฟฟ้าของตัวตรวจวัดแสงโครงสร้าง Al/n-Si/Al แบบร่องรูปด้วย

### 4.2.1 การศึกษาลักษณะทางกายภาพของตัวตรวจวัดแสงโครงสร้าง Al/n-Si/Al แบบร่องรูปด้วย

ตัวตรวจวัดแสงที่สร้างขึ้นจากการทดลองในหัวข้อที่ 4.1 จะเป็นแบบพลาแนร์ จากนั้นจะนำตัวตรวจวัดแสงแบบพลาแนร์ที่สร้างขึ้นไปกัดร่องลึกด้วยกระบวนการกัดเปียก โดยใช้สารละลาย TMAH ซึ่งสารละลายนี้จะทำปฏิกิริยากัดกับแผ่นผลึกซิลิคอนทำให้ตัวตรวจวัดแสงที่สร้างขึ้นมีลักษณะเป็นร่องรูปด้วยตรงบริเวณพื้นที่รับแสงหรือบริเวณระยะห่างระหว่างขั้วไฟฟ้าทั้งสองนั่นเอง ตัวตรวจวัดแสงโครงสร้าง Al/n-Si/Al แบบร่องรูปด้วยแสดงดังรูปที่ 4.3



(ก)

(ข)

### รูปที่ 4.3 ภาพถ่ายของตัวตรวจวัดแสงโครงสร้าง Al/n-Si/Al แบบร่องรูปด้วย

(ก) ภาพถ่ายด้วยกล้องไมโครสโคปกำลังขยาย 40 เท่า

(ข) ภาพถ่ายด้วยกล้องจุลทรรศน์อิเล็กตรอนแบบส่องกราด (SEM) กำลังขยาย

เอกสารนี้เป็นเอกสารที่สงวนไว้สำหรับการใช้งานเพื่อการศึกษาเท่านั้น ไม่อนุญาตให้นำไปใช้ประโยชน์ด้านการค้าไม่ว่ากรณีใดๆ ทั้งสิ้น อีกทั้งห้ามมิให้ตัดแปลงเนื้อหา และต้องอ้างอิงถึงเจ้าของเอกสารทุกครั้งที่มีการนำไปใช้

จากรูปที่ 4.3 (ก) แสดงถึงภาพถ่ายจากกล้องไมโครสโคปที่กำลังขยาย 40 เท่า แสดงให้เห็นลักษณะของตัวตรวจวัดแสงแบบร่องรูปตัวยูที่ได้สร้างขึ้นโดยใช้มาสก์ที่มีขนาดของระยะห่างระหว่างซี่ไฟฟ้าเท่ากับ  $40\ \mu\text{m}$  กัดร่องรูปตัวยูโดยใช้สารละลาย TMAH ความเข้มข้น 8.3 wt% ใช้ส่วนผสมของซิลิคอนผงจำนวน  $37.5\ \text{g/l}$  ผสมลงไปนสารละลาย โดยใช้อุณหภูมิ 80 องศาเซลเซียส และใช้เวลาการกัด 15 นาที ในรูปที่ 4.3 (ข) แสดงถึงภาพถ่ายด้วยกล้องจุลทรรศน์อิเล็กตรอนแบบส่องกราดที่กำลังขยาย 500 เท่า พบว่าบริเวณผิวของซิลิคอนมีลักษณะขรุขระ ไม่ราบเรียบ ซึ่งภาพแสดงลักษณะร่องรูปตัวยูจะแสดงในรูปที่ 4.4

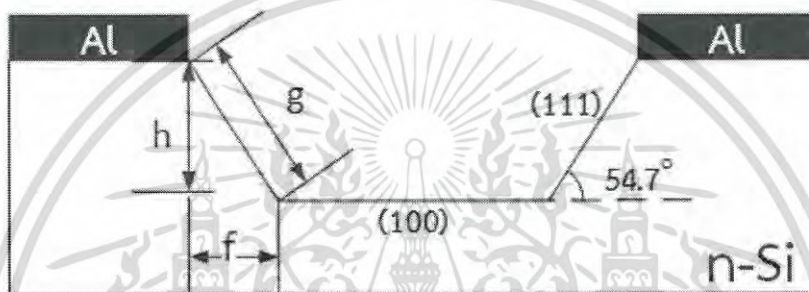


รูปที่ 4.4 ภาพตัดขวางจาก SEM ของตัวตรวจวัดแสงโครงสร้าง Al/n-Si/Al แบบร่องรูปตัวยูที่กำลังขยาย 3,000 เท่า

จากรูปที่ 4.4 เป็นภาพตัดขวางที่ถ่ายจาก SEM ของตัวตรวจวัดแสงโครงสร้าง Al/n-Si/Al แบบร่องรูปตัวยูที่กำลังขยาย 3,000 เท่า พบว่าลักษณะการกัดแผ่นผลึกซิลิคอนมีลักษณะเป็นการกัดแบบแอนไอโซทรอปิก ซึ่งมีลักษณะกัดทิศทางใดทิศทางหนึ่งมากกว่าทิศทางหนึ่ง จากรูปที่ 4.4 จะเห็นว่าผลึกซิลิคอนระนาบ (111) และ (100) ถูกกัดออกไป โดยที่ระนาบ (100) จะถูกกัดออกไปมากที่สุด เนื่องจากอะตอมของซิลิคอนที่ถูกกัดจะมีอยู่สองอะตอมที่อยู่ใต้ผิวหน้าของระนาบและมีสองอะตอมที่ถูกกัดออกไปก่อนหน้า ดังนั้นการที่อะตอมที่ผิวหน้าถูกดึงออกไปจะต้องมีการทำลายพันธะถึงสองพันธะด้วยกัน ส่วนผลึกซิลิคอนระนาบ (111) จะถูกกัดน้อยกว่า เนื่องจากในระนาบ (111) นี้จะมีอะตอมสามอะตอมที่อยู่ใต้ผิวหน้าของระนาบและมีหนึ่งอะตอมที่ถูกกัดออกไปก่อนหน้า จึงทำให้

เอกสารนี้เป็นเอกสารที่สงวนไว้สำหรับการใช้งานเพื่อการศึกษาเท่านั้น ไม่อนุญาตให้นำไปใช้ประโยชน์ด้านการค้า ไม่ว่าจะกรณีใดๆ ทั้งสิ้น อีกทั้งห้ามมิให้ดัดแปลงเนื้อหา และต้องอ้างอิงถึงเจ้าของเอกสารทุกครั้งที่มีการนำไปใช้

เป็นระนาบที่แข็งแรงที่สุดที่ทำให้เกิดร่องลึกขึ้น จากปฏิกิริยาดังกล่าวไว้ข้างต้นทำให้ได้เป็นตัวตรวจวัดแสงโครงสร้าง Al/n-Si/Al แบบกัตร่องลึก หรือลักษณะแบบ UMSM ตามวัตถุประสงค์ของงานวิจัยที่ได้กำหนดไว้ข้างต้น จากรูปที่ 4.4 พบว่าตัวตรวจวัดแสงที่สร้างขึ้นมีความลึก 2.7  $\mu\text{m}$  จากการคำนวณพื้นที่ส่วนที่ราบเอียง (g) จาก  $g=h/\sin\theta$  จะได้พื้นที่ราบเอียงเท่ากับ 3.3  $\mu\text{m}$  ที่วัดได้จาก SEM ได้ 3.4  $\mu\text{m}$  ในส่วนพื้นที่ด้าน f จาก  $f=h/\tan\theta$  มีขนาด 1.9  $\mu\text{m}$  ซึ่งที่วัดได้จาก SEM มีขนาด 2.0  $\mu\text{m}$  ซึ่งค่า f และ g ที่คำนวณได้ถือว่ามีค่าใกล้เคียงกันมากกับค่าที่วัดได้จาก SEM แสดงให้เห็นว่าพื้นที่ส่วนที่ราบเอียง (g) มีค่าเพิ่มขึ้นเป็นจำนวน 1.7 เท่าของด้าน f แสดงดังรูปที่ 4.5



รูปที่ 4.5 ลักษณะของตัวตรวจวัดแสงโครงสร้าง Al/n-Si/Al แบบร่องรูปตัวยู

จากตัวตรวจวัดแสงโครงสร้าง Al/n-Si/Al แบบร่องรูปตัวยูที่สร้างขึ้นนี้ยังพบว่าบริเวณพื้นผิวของผลึกซิลิคอนมีความขรุขระ ไม่สม่ำเสมอ ซึ่งมีลักษณะเป็นพีระมิดแบบสุ่ม ดังแสดงในรูปที่ 4.6 แสดงภาพถ่ายพื้นผิวบริเวณพื้นที่รับแสงของตัวตรวจวัดแสงโครงสร้าง Al/n-Si/Al แบบร่องรูปตัวยูซึ่งมีลักษณะขรุขระ สาเหตุการเกิดพีระมิดนี้อาจเกิดได้จากข้อบกพร่องผลึกในแผ่นผลึกซิลิคอน (Defect) [25] ซึ่งบริเวณที่มีข้อบกพร่องผลึกนี้เกิดขึ้นอยู่จะโดนกัดด้วยอัตราส่วนที่น้อย ทำให้กลายเป็นยอดพีระมิดขึ้นแบบสุ่มตามตำแหน่งที่มีจุดบกพร่องผลึกอยู่ หรือเป็นไปได้ว่าอาจเกิดจากในระหว่างปฏิกิริยาการกัดมีฟองของก๊าซไฮโดรเจนเกิดขึ้นทำให้บริเวณที่เกิดฟองก๊าซไฮโดรเจนไม่โดนกัดเกิดเป็นยอดของพีระมิดขึ้น [26] เป็นผลจากแรงตึงผิว [27] อาจเป็นผลจากค่า PH [28] เนื่องจากการทดลองเราสารละลายความเข้มข้นต่ำ PH ประมาณ 12-13 ซึ่งในงานวิจัยนี้ได้นำเสนอเทคนิคในการลดแรงตึงผิวบริเวณที่เกิดฟองก๊าซไฮโดรเจน ซึ่งคาดว่าจะทำให้ฟองก๊าซไฮโดรเจนหลุดออกจากผิวของซิลิคอนเพิ่มขึ้น ถือเป็นการลดปัจจัยที่ทำให้เกิดพีระมิดขึ้นได้นั่นเอง ซึ่งเราสามารถกำจัดปริมาณของฟองก๊าซไฮโดรเจนได้จากการเติมสารละลายประเภทสารลดแรงตึงผิว (surfactant) เช่น ไอโซโพรพิล แอลกอฮอล์ ดังจะแสดงในการทดลองหัวข้อที่ 4.3 ซึ่งเป็นการสร้างตัวตรวจวัดแสงโครงสร้าง Al/n-Si/Al แบบร่องรูปตัวยู โดยมีการเติมไอโซโพรพิล แอลกอฮอล์ลงในสารละลายเพื่อลดปริมาณของพีระมิดที่เกิดขึ้น ซึ่งถือเป็นวิธีการที่ง่ายที่สุดในการวิจัยในเบื้องต้นเพื่อสังเกตการเปลี่ยนแปลงระหว่างการเติมไอโซโพรพิล แอลกอฮอล์ลงในสารละลาย

เอกสารนี้เป็นเอกสารสงวนลิขสิทธิ์ภายใต้การสงวนลิขสิทธิ์ของมหาวิทยาลัยเทคโนโลยีพระจอมเกล้าธนบุรี ไม่อนุญาตให้นำไปใช้ประโยชน์ด้านการค้า

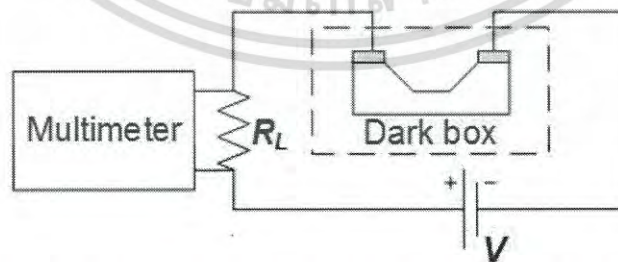
ไม่ว่ากรณีใดๆ ทั้งสิ้น อีกทั้งห้ามมิให้ดัดแปลงเนื้อหา และต้องอ้างอิงถึงเจ้าของเอกสารทุกครั้งที่มีการนำไปใช้



รูปที่ 4.6 ภาพถ่ายพื้นผิวบริเวณพื้นที่รับแสงของตัวตรวจวัดแสงโครงสร้าง AL/n-Si/Al แบบร่องรูปตัวยู

#### 4.2.2 ลักษณะสมบัติทางไฟฟ้าของตัวตรวจวัดแสงโครงสร้าง AL/n-Si/Al แบบร่องรูปตัวยู เมื่อไม่ได้รับแสงตกกระทบ

เมื่อได้อุปกรณ์ตัวตรวจวัดแสงโครงสร้าง AL/n-Si/Al แบบร่องรูปตัวยูแล้วทำการหาความสัมพันธ์ของกระแสเมื่อได้รับแรงดันไบอัสเพื่อทดสอบลักษณะสมบัติของตัวอุปกรณ์ที่สร้างขึ้นในขณะที่ไม่ได้รับแสงตกกระทบโดยต่อชุดการทดลองดังรูปที่ 4.7 โดยป้อนแรงดันไบอัสตั้งแต่ -3 ถึง 3 V

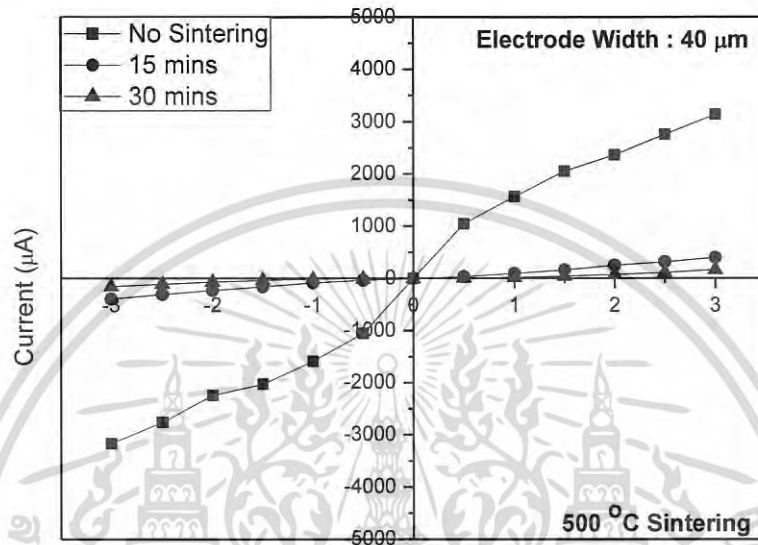


รูปที่ 4.7 แผนภาพที่ใช้ในการทดลองลักษณะสมบัติกระแส-แรงดัน เมื่อไม่ได้รับแสงตกกระทบ

ตัวตรวจวัดแสงที่ใช้ในงานวิจัยนี้ มีขั้วโลหะที่สร้างจากโลหะชนิดเดียวกัน คือ อลูมิเนียม (Al) ดังนั้นตัวตรวจวัดแสงในขณะสมดุล ตัวตรวจวัดแสงนี้จึงมีความสูงกำแพงศักย์ขั้วต่อที่ขั้วแคโทด

( $\phi_{bn1}$ ) และขั้วแอโนด ( $\phi_{bn2}$ ) มีขนาดเท่ากันหรือ  $\phi_{bn1} = \phi_{bn2} = \phi_{bn}$  แรงดันภายในของขั้วแคโทดไม่ว่ากรณีใดๆ ทั้งสิ้น อีกทั้งห้ามมิให้ตัดแปลงเนื้อหา และต้องอ้างอิงถึงเจ้าของเอกสารทุกครั้งที่มีการนำไปใช้

( $V_{bi1}$ ) และขั้วแอโนด ( $V_{bi2}$ ) มีขนาดเท่ากัน หรือ  $V_{bi1} = V_{bi2} = V_{bi}$  และความกว้างของบริเวณปลอดพาหะด้านแคโทด ( $W_{d1}$ ) และด้านแอโนด ( $W_{d2}$ ) มีขนาดเท่ากัน หรือ  $W_{d1} = W_{d2} = W_d$  ทำให้โครงสร้างนี้มีลักษณะสมมาตร ดังแสดงในรูปที่ 4.8



รูปที่ 4.8 ลักษณะสมบัติกระแสแรงดันของตัวตรวจวัดแสงโครงสร้าง AL/n-Si/Al แบบร่องรูปด้วยที่เวลาซินเตอร์ต่างกัน

ในขณะที่ตัวตรวจวัดแสงไม่ได้รับแสงตกกระทบแต่มีการจ่ายแรงดันไบอัสให้แก่ตัวตรวจวัดแสง โดยให้ขั้วโลหะด้านหนึ่งได้รับไบอัสตรง และขั้วโลหะอีกด้านหนึ่งได้รับแรงดันไบอัสย้อนกลับ โดยขั้วโลหะที่ได้รับแรงดันไบอัสย้อนกลับนี้ จะส่งผลให้เกิดการขยายตัวของบริเวณปลอดพาหะ และมีการเคลื่อนที่ของอิเล็กตรอนจากทางด้านโลหะ ข้ามกำแพงศักย์ช็อคตักก็ไปยังด้านสารกึ่งตัวนำ ผลจากการเคลื่อนที่ของอิเล็กตรอนดังกล่าวทำให้เกิดกระแสรั่ว หรือเรียกว่ากระแสมืดของตัวตรวจวัดแสง มีทิศทางจากด้านสารกึ่งตัวนำไปยังด้านโลหะ ( $I_{sm}$ ) ซึ่งปัจจัยหนึ่งที่สามารถลดการเกิดกระแสมืดในตัวตรวจวัดแสงได้ คือกำแพงศักย์ช็อคตักก็ ซึ่งทำหน้าที่ป้องกันไม่ให้อิเล็กตรอนจากด้านโลหะไหลข้ามไปยังสารกึ่งตัวนำได้โดยง่าย

ค่าความสูงของกำแพงศักย์นี้มีผลในการลดกระแสรั่วไหลในตัวอุปกรณ์ที่สร้างขึ้นได้ โดยจะทำหน้าที่ต้านทานการไหลของอิเล็กตรอนจากด้านโลหะไปยังด้านสารกึ่งตัวนำ ถือเป็นพารามิเตอร์ที่สำคัญในการบอกระดับกระแสรั่วไหลที่เกิดขึ้นในช็อคตักก็ไดโอดได้ ตัวตรวจวัดแสงที่สร้างขึ้นนี้มีกระแสรั่วไหลที่ค่อนข้างสูงมากอาจเป็นไปได้จากหลายปัจจัยเนื่องจากมีกระบวนการกัดแบบเปียกเข้ามาเกี่ยวข้อง ซึ่งอาจจะมีสิ่งปนเปื้อนตามมาจากกระบวนการกัดเปียกจึงส่งผลให้กระแสรั่วไหลมีค่าเอกสารนี้เป็นเอกสารที่สงวนไว้สำหรับการใช้งานเพื่อการศึกษาเท่านั้น ไม่นิยมนำไปใช้ประโยชน์ด้านการค้า ไม่ว่าจะกรณีใดๆ ทั้งสิ้น อีกทั้งห้ามมิให้ดัดแปลงเนื้อหา และต้องอ้างอิงถึงเจ้าของเอกสารทุกครั้งที่มีการนำไปใช้

ค่อนข้างสูง จึงมีแนวความคิดในการลดกระแสรั่วไหลขึ้นโดยใช้วิธีการเพิ่มค่าความสูงของกำแพงศักย์ขึ้น จากสมการที่ (4.2) เมื่ออุณหภูมิสูงขึ้นจะส่งผลต่อขนาดของกำแพงศักย์กระแสที่เกิดขึ้นในข้อต่อกึ่งไดโอดเท่ากับ

$$I = I_0 \left\{ \exp\left(\frac{qV_A}{kT}\right) - 1 \right\} \quad (4.2)$$

เมื่อให้แรงดัน  $V_A = 0$  V ทำให้กระแส  $I$  มีค่าเท่ากับ  $I_0$

โดย  $I_0$  คือ กระแสอิ่มตัว มีค่าเท่ากับ

$$I_0 = ART^2 \exp\left(\frac{-q\phi_{bn}}{kT}\right) \quad (4.3)$$

ดังนั้นความสูงกำแพงศักย์ข้อต่อกึ่งไดโอดจึงสามารถหาได้จาก

$$\phi_{bn} = \frac{kT}{q} \ln\left(\frac{ART^2}{I_0}\right) \quad (4.4)$$

โดยที่

$k$  คือ ค่าคงที่ของโบสตันน์ มีค่าประมาณ  $8.617 \times 10^{-5}$  eV / K

$T$  คือ อุณหภูมิสัมบูรณ์ (K)

$R$  คือ ค่าคงตัวริชาร์ดสัน มีค่าประมาณ  $110$  A.cm<sup>-2</sup>.K<sup>-2</sup> (n-Si)

$q$  คือ ประจุไฟฟ้าของอิเล็กตรอน มีค่าประมาณ  $1.609 \times 10^{-19}$  C

$A$  คือ พื้นที่รอยสัมผัสระหว่างโลหะ-สารกึ่งตัวนำ (cm<sup>2</sup>)

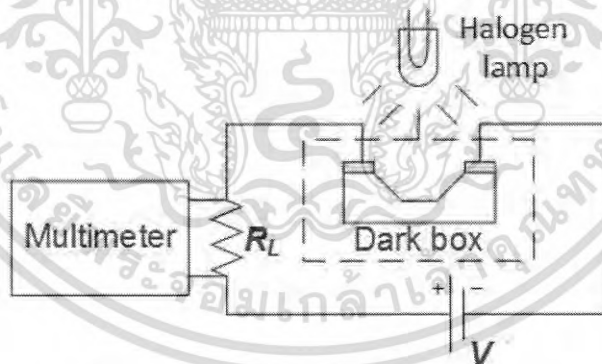
เนื่องจากการทดลองที่ผ่านมาพบว่าเมื่อทำการซินเตอร์ริงที่อุณหภูมิ 500 องศาเซลเซียส เป็นเวลา 15 นาที จะทำให้มีค่ากำแพงศักย์ข้อต่อกึ่งไดโอดของรอยสัมผัส Al/n-Si มีค่าประมาณ 0.72 eV [23] และเมื่อทำการซินเตอร์ริงเป็นเวลา 30 นาที ค่ากำแพงศักย์มีค่าเพิ่มขึ้นเป็น 0.86 eV [29] จะเห็นได้จากรูปที่ 4.8 ซึ่งพบว่ามีการลดลงเนื่องจากมีค่าความสูงของกำแพงศักย์เพิ่มขึ้นจากการซินเตอร์ริงเพิ่มขึ้น

จากรูปที่ 4.8 เป็นความสัมพันธ์ระหว่างกระแส-แรงดันของอุปกรณ์ตัวตรวจวัดแสงโครงสร้าง Al/n-Si/Al แบบกัทร่องลักษณะที่ไม่มีแสงตกกระทบ พบว่ามีการลดลงของอุปกรณ์ U-MSM โดยอุปกรณ์ที่ไม่ผ่านการซินเตอร์ริงจะมีการกระแสรั่วไหลประมาณ 3,138  $\mu$ A และจะมีการกระแสรั่วไหล

ลดลงเมื่อทำการซินเตอร์เป็นเวลานานขึ้น อุปกรณ์ที่ผ่านการซินเตอร์ที่อุณหภูมิ 500 องศาเซลเซียส เป็นเวลา 15 และ 30 นาที จะมีค่ากระแสรั่วไหลประมาณ 398 และ 164  $\mu\text{A}$  ตามลำดับ เนื่องจากในช่วงอุณหภูมิ 500 องศาเซลเซียส เป็นช่วงที่ค่าความสูงของกำแพงศักย์มีค่าสูงขึ้น การเปลี่ยนแปลงของค่าความสูงกำแพงศักย์ที่เกิดขึ้นนี้ มาจากอลูมิเนียมเป็นโลหะที่มีจุดหลอมเหลวต่ำ โดยมีจุดหลอมเหลวอยู่ที่ประมาณ 660 องศาเซลเซียส ดังนั้นในช่วงที่อุณหภูมิอยู่ใกล้กับจุดหลอมเหลว จะทำให้อลูมิเนียมแพร่ลงไปในซิลิคอนชนิดเอ็น [30] แสดงให้เห็นว่าคุณสมบัติทางไฟฟ้าของรอยสัมผัสเปลี่ยนแปลงไปเมื่อทำการซินเตอร์เป็นเวลานานขึ้น ทำให้เป็นอัลลอย ซึ่งจะทำให้เป็นรอยสัมผัสที่ดียิ่งขึ้น

#### 4.2.3 ลักษณะสมบัติทางไฟฟ้าของตัวตรวจวัดแสงโครงสร้าง $\text{Al/n-Si/Al}$ แบบร่องรูปตัวยู เมื่อได้รับแสงตกกระทบ

จากการทดลองที่ผ่านมาพบว่า เมื่อใช้อุณหภูมิซินเตอร์ 500 องศาเซลเซียส เป็นเวลา 15 และ 30 นาที จะทำให้ได้กระแสรั่วไหลที่มีค่าต่ำลงเมื่อเวลาในการซินเตอร์เพิ่มขึ้น ดังนั้นจึงเลือกอุปกรณ์นี้เพื่อทำการศึกษสมบัติทางไฟฟ้าของตัวตรวจวัดแสงโครงสร้าง  $\text{Al/n-Si/Al}$  แบบร่องรูปตัวยู ภายใต้เงื่อนไขได้รับแสงตกกระทบจากแหล่งกำเนิดแสงจากหลอดฮาโลเจน ซึ่งให้ความเข้มแสงค่าต่างๆ ที่ 5,000, 10,000, 15,000 และ 20,000 lux โดยต้องวงจรการทดลองดังแสดงในรูปที่ 4.9

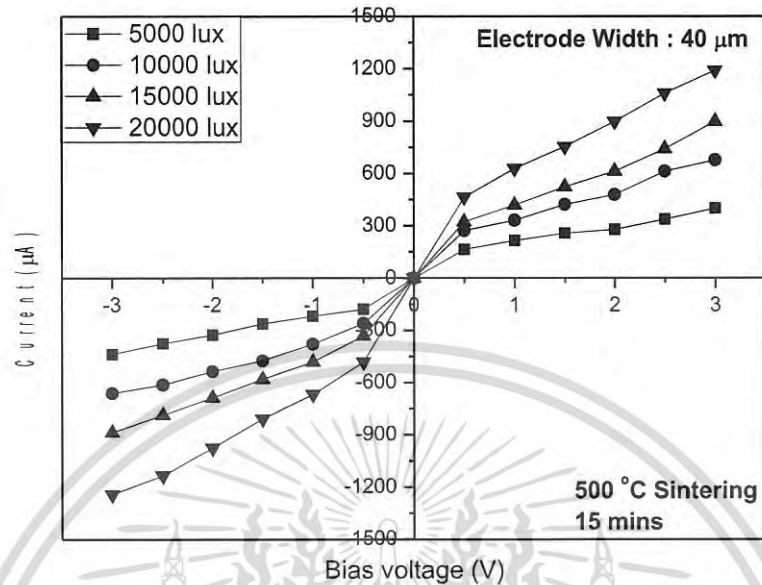


รูปที่ 4.9 แผนภาพที่ใช้ในการทดลองลักษณะสมบัติกระแส-แรงดัน เมื่อได้รับแสงตกกระทบ

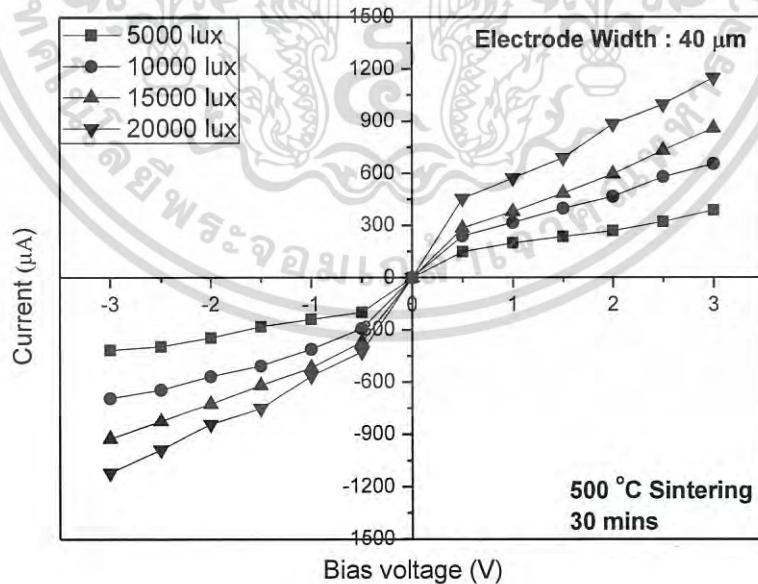
ความสัมพันธ์ของกระแส-แรงดันของตัวตรวจวัดแสงโครงสร้าง  $\text{Al/n-Si/Al}$  แบบกัทร่องลึกขณะที่มีแสงตกกระทบจากแหล่งกำเนิดแสงจากหลอดฮาโลเจนที่มีความเข้มค่าต่างๆ โดยต่อชุดการทดลองดังรูปที่ 4.9 โดยป้อนแรงดันไบอัสตั้งแต่ -3 ถึง 3 V กระแสแสงหาได้จากสมการ (4.5)

$$I_P = I_{\text{Mea}} - I_{\text{Dark}} \quad (4.5)$$

เอกสารนี้เป็นเอกสารที่สงวนไว้สำหรับการใช้งานเพื่อการศึกษาเท่านั้น ไม่อนุญาตให้นำไปใช้ประโยชน์ด้านการค้าไม่ว่ากรณีใดๆ ทั้งสิ้น อีกทั้งห้ามมิให้ดัดแปลงเนื้อหา และต้องอ้างอิงถึงเจ้าของเอกสารทุกครั้งที่มีการนำไปใช้



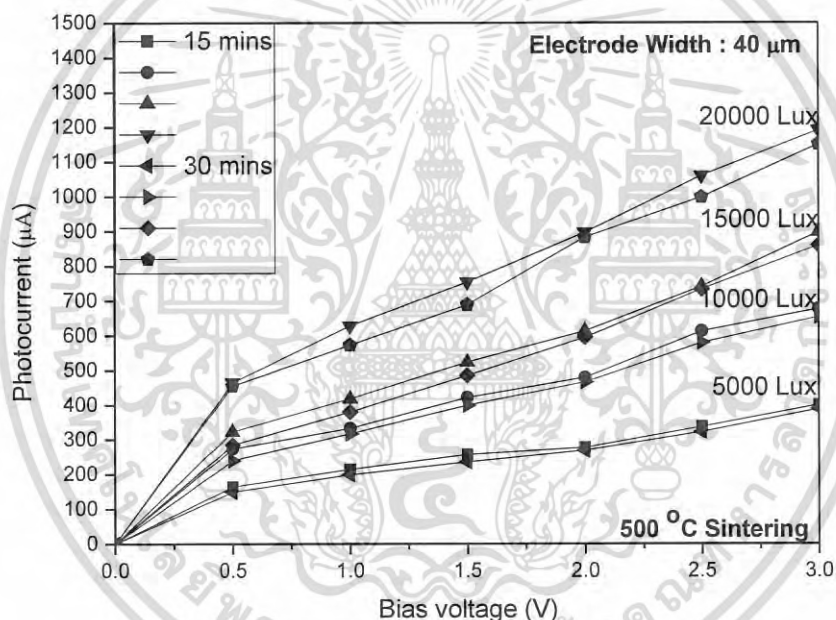
รูปที่ 4.10 ลักษณะสมบัติกระแส-แรงดันเมื่อผ่านการซินเตอร์ริงที่อุณหภูมิ 500 °C เป็นเวลา 15 นาที ขณะได้รับแสงตกกระทบบ



รูปที่ 4.11 ลักษณะสมบัติกระแส-แรงดันเมื่อผ่านการซินเตอร์ริงที่อุณหภูมิ 500 °C เป็นเวลา 30 นาที ขณะได้รับแสงตกกระทบบ

เอกสารนี้เป็นเอกสารที่สงวนไว้สำหรับการใช้งานเพื่อการศึกษาเท่านั้น ไม่อนุญาตให้นำไปใช้ประโยชน์ด้านการค้า ไม่ว่ากรณีใดๆ ทั้งสิ้น อีกทั้งห้ามมิให้ดัดแปลงเนื้อหา และต้องอ้างอิงถึงเจ้าของเอกสารทุกครั้งที่มีการนำไปใช้

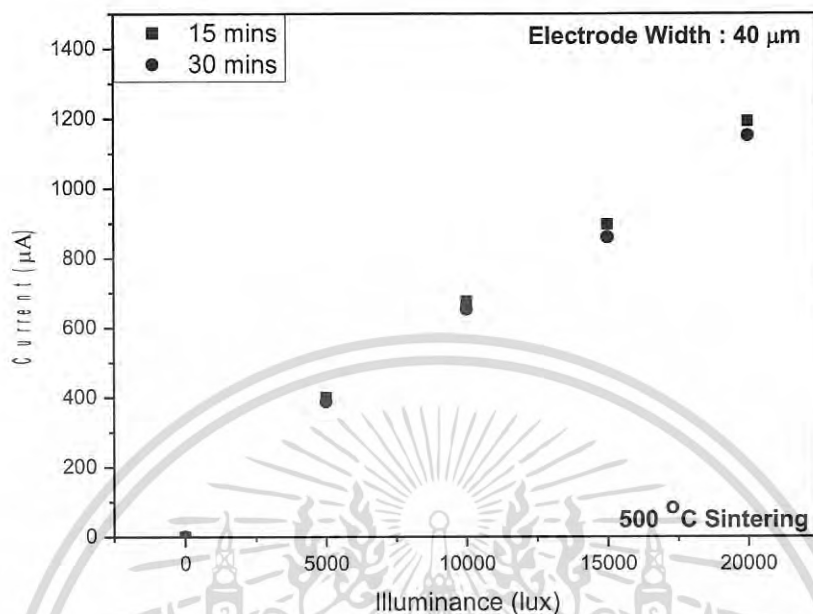
สำหรับกระแสแสง ( $I_p$ ) หาได้จากกระแสที่ได้จากการวัด ( $I_{Mea}$ ) ลบด้วยกระแสมืด ( $I_{Dark}$ ) หรือกระแสรั่วไหล ตามสมการที่ (4.5) จะได้กราฟแสดงลักษณะกระแส-แรงดันเมื่อผ่านการซินเตอร์เป็นเวลา 15 และ 30 นาที ดังแสดงในรูปที่ 4.10 และรูปที่ 4.11 จากนั้นทำการเปรียบเทียบกระแสของตัวอุปกรณ์เมื่อผ่านการซินเตอร์ที่เวลาต่างกัน ดังแสดงในรูปที่ 4.12 ซึ่งพบว่ากระแสที่ความเข้มค่าเดียวกัน เมื่อเพิ่มเวลาในการซินเตอร์จะมีค่าเกือบเท่ากัน และกระแสแสงจะมีค่าเพิ่มขึ้นเมื่อความเข้มแสงมีค่าเพิ่มขึ้น ดังนั้นอาจพิจารณาได้ว่าเวลาในการซินเตอร์มีผลต่อกระแสแสงที่เกิดขึ้นน้อย แต่จะมีผลในการลดกระแสรั่วไหลของตัวอุปกรณ์มากกว่า อย่างไรก็ตามถึงแม้การเพิ่มเวลาในการซินเตอร์จะมีผลต่อการลดกระแสรั่วไหลในตัวอุปกรณ์ที่สร้างขึ้นได้ แต่ก็ยังมีค่ากระแสรั่วไหลที่สูงอยู่



รูปที่ 4.12 ลักษณะสมบัติกระแส-แรงดันเมื่อผ่านการซินเตอร์ที่อุณหภูมิ 500 °C เป็นเวลา 15 และ 30 นาที ขณะได้รับแสงตกกระทบ

เนื่องจากเวลาที่เพิ่มขึ้นในการซินเตอร์ส่งผลต่อการลดกระแสรั่วไหลของตัวอุปกรณ์ได้ จึงได้ศึกษาผลของเวลาที่เพิ่มขึ้นในการซินเตอร์กับกระแสแสงที่เกิดขึ้น ผลการทดลองที่แสดงในรูปที่ 4.13 แสดงลักษณะสมบัติกระแส-ความเข้มแสงเมื่อผ่านการซินเตอร์ที่อุณหภูมิ 500 °C ที่เงื่อนไขเวลาในการซินเตอร์แตกต่างกันเป็นเวลา 15 และ 30 นาที ขณะได้รับแสงตกกระทบ ที่แรงดันไบอัส 3 V จะเห็นว่าตัวตรวจวัดแสงนั้นสามารถตอบสนองต่อแสงที่ความเข้มค่าต่างๆ ได้เป็นอย่างดี โดยที่เวลาในการซินเตอร์ที่เพิ่มขึ้นนั้นไม่ได้ส่งผลต่อกระแสแสงที่เกิดขึ้น แต่ส่งผลในการลดค่ากระแสรั่วไหลของตัวอุปกรณ์ที่สร้างขึ้นเท่านั้น

เอกสารนี้เป็นเอกสารที่สงวนไว้สำหรับการใช้งานเพื่อการศึกษาเท่านั้น ไม่อนุญาตให้นำไปใช้ประโยชน์ด้านการค้า ไม่ว่ากรณีใดๆ ทั้งสิ้น อีกทั้งห้ามมิให้ดัดแปลงเนื้อหา และต้องอ้างอิงถึงเจ้าของเอกสารทุกครั้งที่มีการนำไปใช้

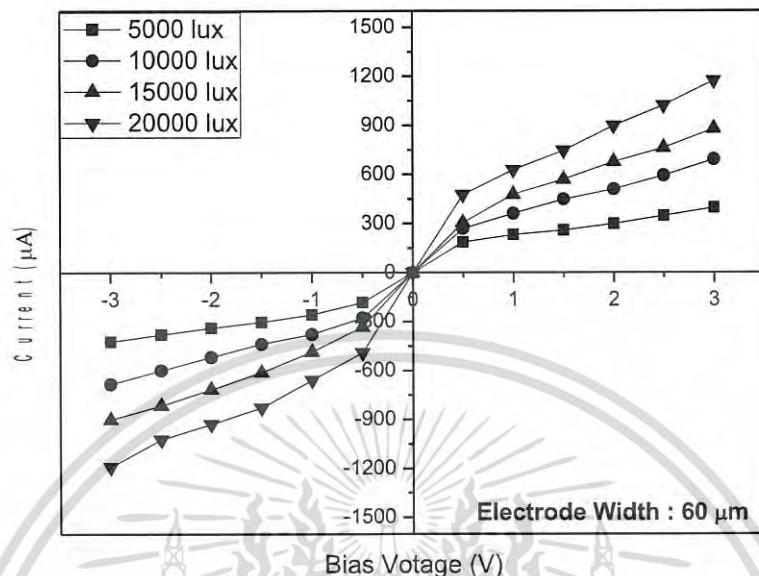


รูปที่ 4.13 ลักษณะสมบัติกระแส-ความเข้มแสงเมื่อผ่านการซินเตอร์ที่อุณหภูมิ 500 °C เป็นเวลา 15 และ 30 นาที ขณะได้รับแสงตกกระทบ

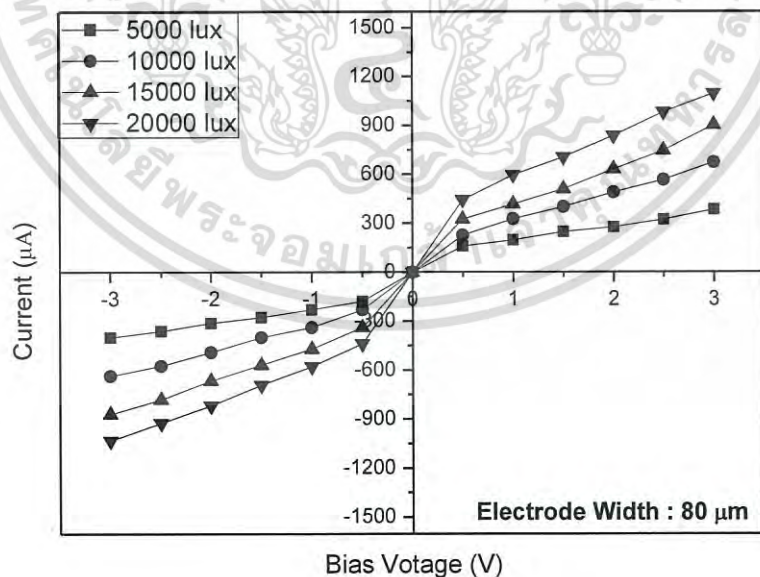
การทดลองในหัวข้อที่ 4.2 นี้ได้ทำการศึกษาผลกระทบของเวลาในการซินเตอร์เพื่อเพิ่มขนาดความสูงของกำแพงคัลด์ซีออตต์กี ซึ่งความสูงของกำแพงคัลด์ซีออตต์กีนี้มีผลต่อกระแสรั่วไหลของตัวอุปกรณ์ที่สร้างขึ้น เนื่องจากอุปกรณ์ตัวตรวจวัดแสงโครงสร้าง Al/n-Si/Al แบบร่องรูปด้วยที่สร้างขึ้นมีกระแสรั่วไหลที่ค่อนข้างสูง จึงใช้เทคนิคในการซินเตอร์เพื่อเพิ่มความสูงกำแพงคัลด์ซีออตต์กีขึ้น ซึ่งพบว่าสามารถลดระดับของกระแสรั่วไหลได้ถึง 2 เท่า แต่ก็ยังมีค่ากระแสรั่วไหลในระดับที่ยังสูงอยู่ ซึ่งทางผู้วิจัยจะทำการศึกษาหาวิธีการในการลดกระแสรั่วไหลต่อไป จากการทดลองลักษณะสมบัติกระแส-แรงดันขณะได้รับแสงตกกระทบ พบว่าตัวตรวจวัดแสงที่สร้างขึ้นสามารถตอบสนองทางแสงได้ดี และเวลาที่ใช้ในการซินเตอร์ไม่มีผลต่อกระแสแสงที่เกิดขึ้นมากนัก แต่มีผลในการลดกระแสรั่วไหลในตัวอุปกรณ์มากกว่า ในการศึกษาต่อไปจึงใช้เงื่อนไขการซินเตอร์ที่อุณหภูมิ 500 องศาเซลเซียส เป็นเวลา 30 นาที ในการศึกษาการทดลอง

#### 4.2.4 ลักษณะสมบัติทางไฟฟ้าของตัวตรวจวัดแสงโครงสร้าง Al/n-Si/Al แบบร่องรูปด้วย เมื่อได้รับแสงตกกระทบที่ระยะห่างระหว่างขั้วไฟฟ้าต่างกัน

จากลักษณะสมบัติกระแส-แรงดันที่วัดได้จากรูปที่ 4.11 นำมาทำการหาค่ากระแสแสงของอุปกรณ์ตัวตรวจวัดแสงโครงสร้าง Al/n-Si/Al แบบร่องรูปด้วยเมื่อได้รับแสงตกกระทบที่ระยะห่างระหว่างขั้วไฟฟ้า 40, 60, 80 และ 100 µm ผลการทดลองแสดงดังรูปที่ 4.11, 4.14-4.16 ตามลำดับ เอกสารนี้เป็นเอกสารที่สงวนไว้สำหรับการใช้งานเพื่อการศึกษาเท่านั้น ไม่อนุญาตให้นำไปใช้ประโยชน์ด้านการค้า ไม่ว่าจะกรณีใดๆ ทั้งสิ้น อีกทั้งห้ามมิให้ดัดแปลงเนื้อหา และต้องอ้างอิงถึงเจ้าของเอกสารทุกครั้งที่มีการนำไปใช้

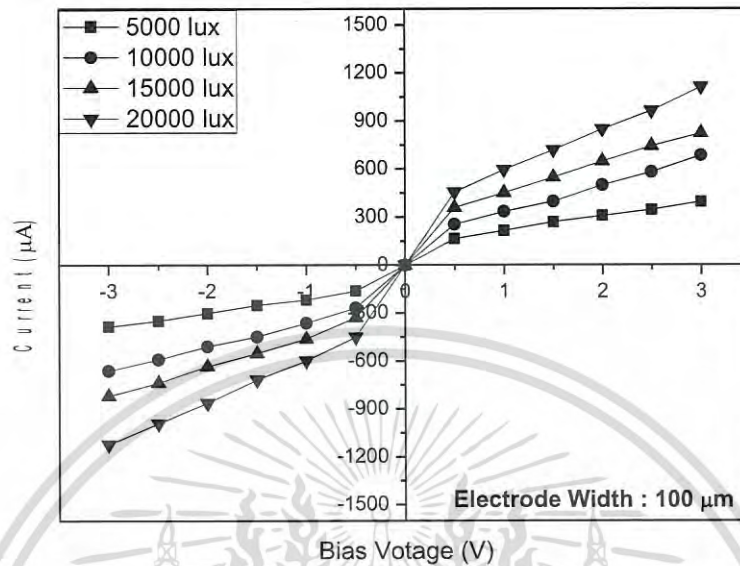


รูปที่ 4.14 ลักษณะสมบัติกระแส-แรงดัน ขณะได้รับแสงตกกระทบของตัวตรวจวัดแสงโครงสร้าง Al/n-Si/Al แบบร่องรูปตัวยู ที่ระยะห่างระหว่างขั้วไฟฟ้า 60 µm

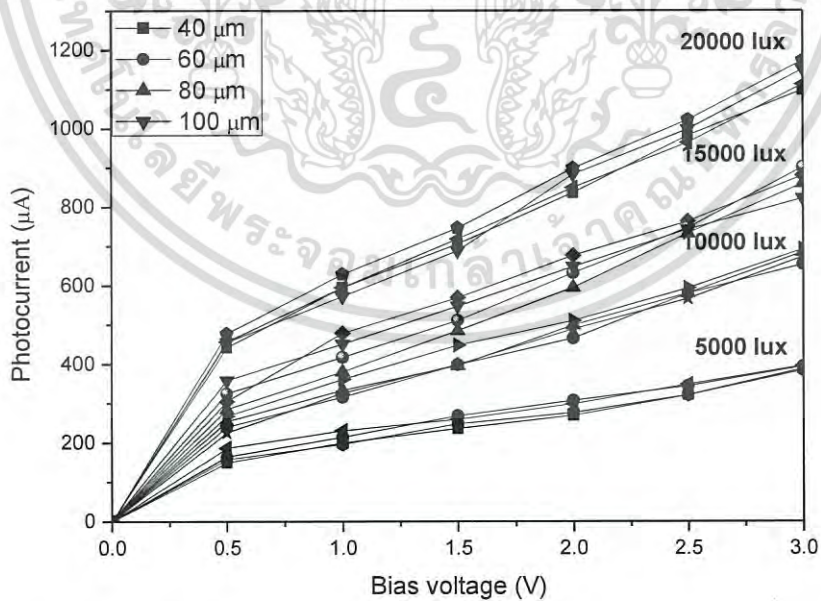


รูปที่ 4.15 ลักษณะสมบัติกระแส-แรงดัน ขณะได้รับแสงตกกระทบของตัวตรวจวัดแสงโครงสร้าง Al/n-Si/Al แบบร่องรูปตัวยู ที่ระยะห่างระหว่างขั้วไฟฟ้า 80 µm

เอกสารนี้เป็นเอกสารที่สงวนไว้สำหรับการใช้งานเพื่อการศึกษาเท่านั้น ไม่อนุญาตให้นำไปใช้ประโยชน์ด้านการค้า ไม่ว่ากรณีใดๆ ทั้งสิ้น อีกทั้งห้ามมิให้ดัดแปลงเนื้อหา และต้องอ้างอิงถึงเจ้าของเอกสารทุกครั้งที่มีการนำไปใช้



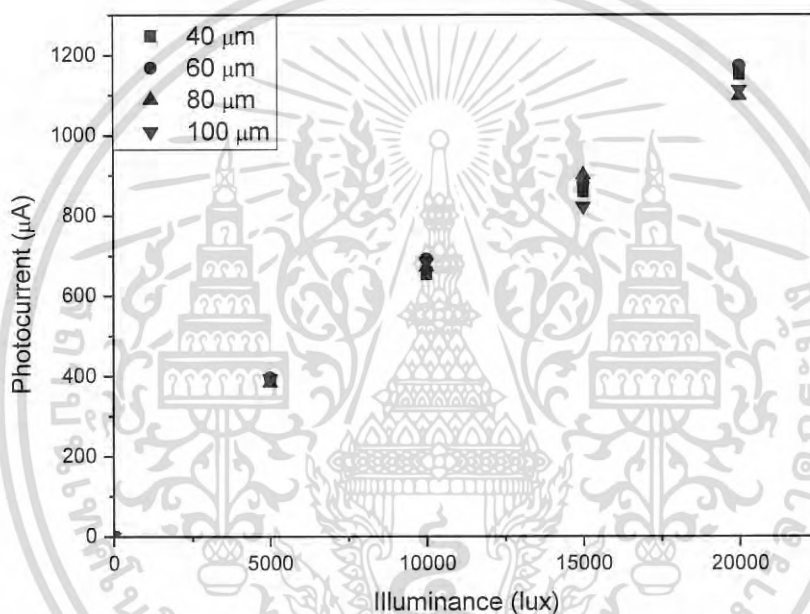
รูปที่ 4.16 ลักษณะสมบัติกระแส-แรงดัน ขณะได้รับแสงตกกระทบบนของตัวตรวจวัดแสงโครงสร้าง Al/n-Si/Al แบบร่องรูปตัวยู ที่ระยะห่างระหว่างขั้วไฟฟ้า 100 µm



รูปที่ 4.17 ลักษณะสมบัติกระแส-แรงดัน ขณะได้รับแสงตกกระทบบนของตัวตรวจวัดแสงโครงสร้าง Al/n-Si/Al แบบร่องรูปตัวยู ที่ระยะห่างระหว่างขั้วไฟฟ้า 40-100 µm

เอกสารนี้เป็นเอกสารที่สงวนไว้สำหรับการใช้งานเพื่อการศึกษาเท่านั้น ไม่อนุญาตให้นำไปใช้ประโยชน์ด้านการค้า ไม่ว่ากรณีใดๆ ทั้งสิ้น อีกทั้งห้ามมิให้ดัดแปลงเนื้อหา และต้องอ้างอิงถึงเจ้าของเอกสารทุกครั้งที่มีการนำไปใช้

ในส่วนของกระแสแสง ( $I_p$ ) หาได้จากกระแสที่ได้จากการวัด ( $I_{Mca}$ ) ลบด้วยกระแสมืด ( $I_{Dark}$ ) หรือกระแสรั่วไหล ตามสมการที่ (4.5) จะได้กราฟลักษณะสมบัติกระแส-แรงดัน ดังแสดงในรูปที่ 4.17 ซึ่งพบว่ากระแสแสงที่ความเข้มแสงค่าเดียวกัน จะมีค่ากระแสแสงเกือบเท่ากันถึงแม้จะทำการเปลี่ยนแปลงระยะห่างระหว่างขั้วไฟฟ้าของตัวตรวจวัดแสงโครงสร้าง Al/n-Si/Al แบบร่องรูปด้วยแล้ว ผลการทดลองในรูปที่ 4.18 แสดงความสัมพันธ์ระหว่างกระแสแสงต่อความเข้มแสงของตัวตรวจวัดแสงโครงสร้าง Al/n-Si/Al แบบร่องรูปด้วย โดยมีระยะห่างระหว่างขั้วไฟฟ้ามีค่า 40-100  $\mu\text{m}$  ที่แรงดันไบอัส 3 V มีลักษณะของความเป็นเชิงเส้นเป็นอย่างดี

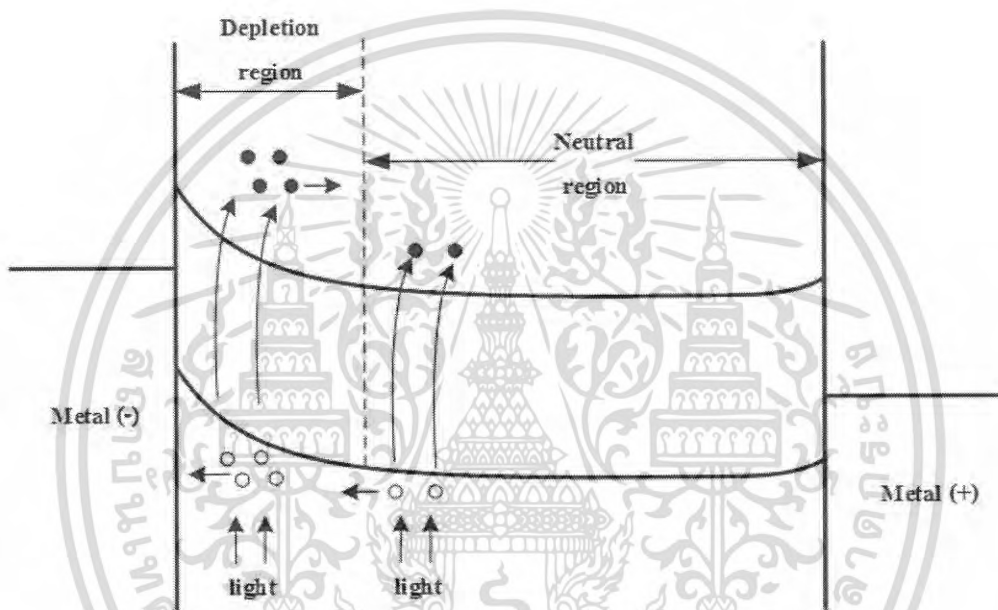


รูปที่ 4.18 ลักษณะสมบัติกระแส-ความเข้มแสง ขณะได้รับแสงตกกระทบบนของตัวตรวจวัดแสงโครงสร้าง Al/n-Si/Al แบบร่องรูปด้วย ที่ระยะห่างระหว่างขั้วไฟฟ้า 40-100  $\mu\text{m}$

ซึ่งโดยทั่วไปแล้วลักษณะโครงสร้างโลหะ-สารกึ่งตัวนำ-โลหะ ที่มีพื้นที่บริเวณหลอดพาหะครอบคลุมระยะห่างระหว่างขั้วไฟฟ้าทั้งหมด กระแสแสงที่ได้จะเป็นกระแสแสงไดโอดแต่เพียงอย่างเดียวโดยที่กระแสแสงจะมีค่าเพิ่มขึ้นเมื่อเพิ่มระยะห่างระหว่างขั้วไฟฟ้ามีขนาดมากขึ้น ซึ่งพบในโครงสร้างที่มีระยะห่างระหว่างขั้วไฟฟ้าแบบสั้น (Short Electrode Gap) ส่วนโครงสร้างที่มีระยะห่างระหว่างขั้วไฟฟ้าแบบกว้าง (Wide Electrode Gap) กระแสแสง ( $I_p$ ) ที่ได้จะเป็นผลรวมของกระแสแสงไดโอด ( $I_D$ ) และกระแสแสงคอนดักเตอร์ ( $I_C$ ) ดังสมการที่ 4.6 ซึ่งเมื่อทำการพิจารณาจากแถบพลังงานในบริเวณนิวทรัล ดังแสดงในรูปที่ 4.19 จะพบว่ามีลักษณะแบนราบ ดังนั้นส่วนประกอบกระแสแสงคอนดักเตอร์จะขึ้นอยู่กับการแพร่ของพาหะที่อยู่ใกล้ขอบของบริเวณหลอดพาหะ ซึ่งกลไกการแพร่ของโฮลที่เกิดขึ้นจากการกระตุ้นของแสงแล้วแพร่ไปที่ขอบบริเวณหลอดพาหะ โดยเอกสารนี้เป็นเอกสารที่สงวนไว้สำหรับการใช้งานเพื่อการศึกษาเท่านั้น ไม่อนุญาตให้นำไปใช้ประโยชน์ด้านการค้า ไม่ว่าจะกรณีใดๆ ทั้งสิ้น อีกทั้งห้ามมิให้ดัดแปลงเนื้อหา และต้องอ้างอิงถึงเจ้าของเอกสารทุกครั้งที่มีการนำไปใช้

พบว่าที่ระยะห่างระหว่างขั้วไฟฟ้าระหว่าง 40-100  $\mu\text{m}$  กระแสแสงที่เกิดจากการแพร่ของพาหะส่วนน้อยมีค่าใกล้เคียงกัน ส่วนกระแสแสงไดโอดที่ได้จากบริเวณปลอดพาหะจะมีค่าเท่ากัน เนื่องจากได้รับแรงดันไบอัสค่าเดียวกัน ทำให้บริเวณปลอดพาหะขยายเท่ากัน โดยที่ค่ากระแสแสงไม่ขึ้นกับระยะห่างระหว่างขั้วไฟฟ้าเป็นผลให้ค่ากระแสแสงรวมมีค่าใกล้เคียงกัน

$$I_P = I_C + I_D \quad (4.6)$$



รูปที่ 4.19 แผนภาพแถบพลังงานของตัวตรวจวัดแสงโครงสร้าง  $\text{Al/n-Si/Al}$  ที่มีระยะห่างระหว่างขั้วไฟฟ้าขนาดกว้างเมื่อได้รับแรงดันไบอัส

#### 4.3 การสร้างตัวตรวจวัดแสงโครงสร้าง $\text{Al/n-Si/Al}$ แบบร่องรูปตัวยูโดยมีการเติมไอโซโพรพิลแอลกอฮอล์ลงในสารละลาย

จากผลการทดลองในหัวข้อ 4.2 เป็นการสร้างตัวตรวจวัดแสงโครงสร้าง  $\text{Al/n-Si/Al}$  แบบกัดร่องรูปตัวยู โดยใช้สารละลายเตตระเมทิลอัมโมเนียมไฮดรอกไซด์ ในกระบวนการกัดเปียก ซึ่งสารละลายนี้มีคุณสมบัติในการกัดแบบแอนไอโซทรอปิก คือมีการกัดแบบเลือกทิศทางของระนาบในการกัด จากการทดลองในหัวข้อ 4.2.1 พบว่าภายหลังจากการกัดซิลิคอนแล้วพื้นผิวของซิลิคอนมีลักษณะขรุขระ ไม่สม่ำเสมอ มีลักษณะพื้นผิวเป็นพีระมิดแบบสุ่ม การทดลองในหัวข้อที่ 4.3 นี้จึงเป็นการศึกษาการสร้างตัวตรวจวัดแสงโครงสร้าง  $\text{Al/n-Si/Al}$  แบบร่องรูปตัวยูโดยทำการลดขนาดของพีระมิดลงเพื่อคุณลักษณะที่จะเกิดขึ้น โดยการเติมสารละลายไอโซโพรพิลแอลกอฮอล์ (Isopropyl alcohol) เป็นเอกสารที่สงวนไว้สำหรับการใช้งานเพื่อการศึกษาเท่านั้น ไม่อนุญาตให้นำไปใช้ประโยชน์ด้านการค้า ไม่ว่ากรณีใดๆ ทั้งสิ้น อีกทั้งห้ามมิให้ดัดแปลงเนื้อหา และต้องอ้างอิงถึงเจ้าของเอกสารทุกครั้งที่มีการนำไปใช้

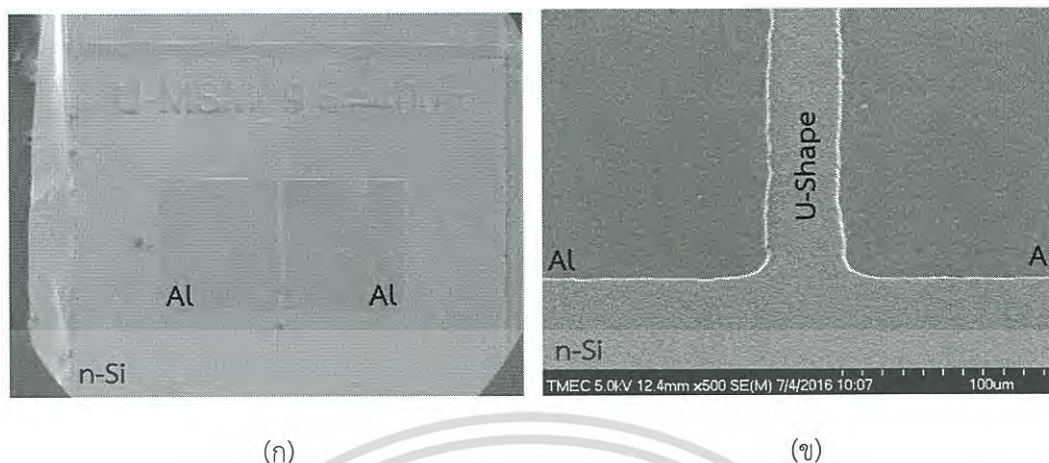
Alcohol : IPA) จำนวน 17 Vol% [IPA] ลงไปในสารละลายที่ใช้ในการกัดแผ่นผลึกซิลิคอน ซึ่งไอโซโพรพิลแอลกอฮอล์สามารถลดแรงตึงผิวให้กับบริเวณที่ถูกกัดได้ จึงทำให้พื้นผิวของซิลิคอนไม่ขรุขระมากนัก อีกทั้งตัวตรวจวัดแสงที่สร้างขึ้นมีกระแสรั่วไหลค่อนข้างสูง จึงศึกษาวิธีการลดกระแสรั่วไหลนี้ลง

ในหัวข้อนี้ได้ทำการสร้างตัวตรวจวัดแสงโครงสร้าง AL/n-Si/Al แบบร่องรูปด้วยขุ่น โดยมีความลึกแตกต่างกัน 3 ระดับ คือ 0.3, 2 และ 3.5  $\mu\text{m}$  แล้วทำการศึกษาลักษณะทางกายภาพและลักษณะสมบัติทางไฟฟ้าของตัวตรวจวัดแสงโครงสร้างสองรอยสัมผัสชนิดซีดกี๋โครงสร้าง AL/n-Si/Al แบบร่องรูปด้วยขุ่นที่สร้างขึ้นนี้

#### 4.3.1 การศึกษาลักษณะทางกายภาพของตัวตรวจวัดแสงโครงสร้าง AL/n-Si/Al แบบร่องรูปด้วยขุ่นโดยมีการเติมไอโซโพรพิลแอลกอฮอล์ลงในสารละลาย

ภาพถ่าย SEM ของตัวตรวจวัดแสงโครงสร้าง AL/n-Si/Al แบบกัดร่องลึกโดยมีการเติมไอโซโพรพิลแอลกอฮอล์ลงในสารละลายเตตระเมทิลอะมิโนเอทิลไฮดรอกไซด์ ดังแสดงในรูปที่ 4.20 พบว่าเมื่อเติมไอโซโพรพิลแอลกอฮอล์ จำนวน 17 Vol% ภาพถ่าย SEM ที่กำลังขยาย 500 เท่า เมื่อเทียบกับรูปที่ 4.3 (ข) จะเห็นว่าเมื่อเติมไอโซโพรพิลแอลกอฮอล์ลงในสารละลายจะมีลักษณะสม่ำเสมอกว่าตอนที่ไม่มีเติมไอโซโพรพิลแอลกอฮอล์ แสดงให้เห็นว่าการเติมไอโซโพรพิลแอลกอฮอล์ลงในสารละลายสามารถที่จะช่วยกำจัดฟองของก๊าซไฮโดรเจนบนผิวหน้าของซิลิคอนที่เกิดขึ้นระหว่างการทำปฏิกิริยาในการกัดได้ในระดับหนึ่ง จึงส่งผลให้สามารถช่วยลดความขรุขระของพื้นผิวซิลิคอนได้ และอย่างไรก็ตาม การเติมไอโซโพรพิลแอลกอฮอล์ถึงแม้จะทำให้ความขรุขระลดน้อยลง แต่ก็ทำให้อัตราการกัดแผ่นผลึกซิลิคอนลดลงด้วย โดยที่การเติมไอโซโพรพิลแอลกอฮอล์ลงในสารละลายนี้ไม่ส่งผลต่อคุณสมบัติแอนไอโซทรอปิกของสารละลาย จึงทำให้มีการกัดที่ยังคงเลือกทิศทางการกัดเหมือนเดิม

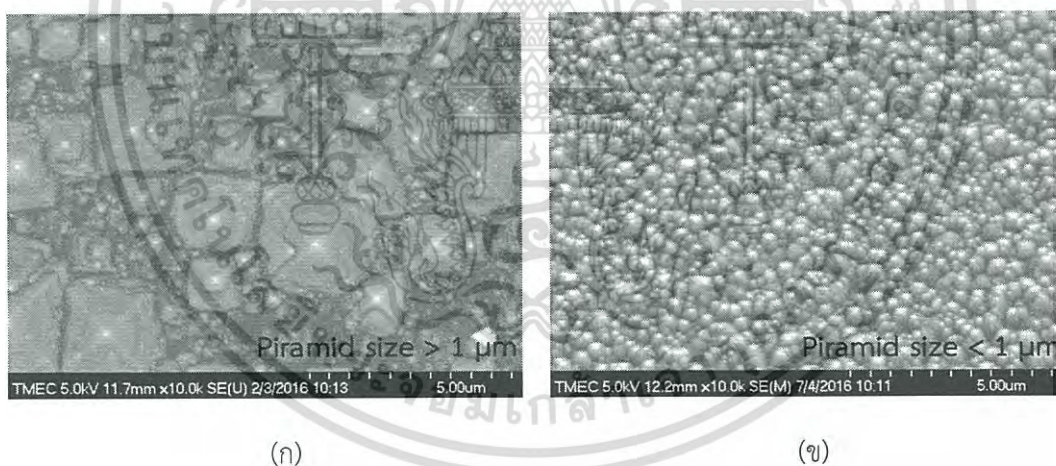
ลักษณะพื้นผิวของผลึกซิลิคอนเมื่อทำการเปรียบเทียบกับตัวตรวจวัดแสงโครงสร้าง AL/n-Si/Al แบบกัดร่องลึกโดยมีการเติมไอโซโพรพิลแอลกอฮอล์ลงในสารละลายเตตระเมทิลอะมิโนเอทิลไฮดรอกไซด์แสดงดังรูปที่ 4.21 พบว่าที่กำลังขยาย 10,000 เท่า ในภาพ 4.21 (ก) จะเป็นภาพพื้นผิวของผลึกซิลิคอนเมื่อไม่มีการเติมไอโซโพรพิลแอลกอฮอล์ จะสังเกตว่ามีลักษณะเป็นพีระมิดแบบสุ่มเกิดเป็นจุดๆ กระจุกกระจายอยู่ทั่วพื้นผิวของซิลิคอนที่ถูกกัด ในส่วนของรูปที่ 4.21 (ข) เป็นภาพถ่าย SEM ของผิวซิลิคอนที่มีความลึก 2  $\mu\text{m}$  จะเห็นว่ามีความสม่ำเสมอมากกว่าแบบที่ไม่มีการเติมไอโซโพรพิลแอลกอฮอล์และขนาดของพีระมิดจะมีขนาดเล็กกว่า โดยที่ขนาดของพีระมิดมีขนาดน้อยกว่า 1  $\mu\text{m}$  ซึ่งขนาดเล็กกว่าแบบที่ไม่เติมไอโซโพรพิลแอลกอฮอล์ ที่มีขนาดฐานของพีระมิดประมาณ 1-3  $\mu\text{m}$  ถือว่ามีขนาดลดลงถึง 3 เท่าด้วยกัน



รูปที่ 4.20 ภาพถ่ายของตัวตรวจวัดแสงโครงสร้าง Al/n-Si/Al แบบร่องรูปด้วยไอโซโพรพิลแอลกอฮอล์ลงในสารละลาย

(ก) ภาพถ่ายด้วยกล้องไมโครสโคปกำลังขยาย 30 เท่า

(ข) ภาพถ่ายด้วยกล้องจุลทรรศน์อิเล็กตรอนแบบส่องกราด (SEM) กำลังขยาย 500 เท่า



รูปที่ 4.21 ภาพถ่าย SEM ของตัวตรวจวัดแสงโครงสร้าง Al/n-Si/Al แบบร่องรูปด้วยไอโซโพรพิลแอลกอฮอล์ลงในสารละลาย

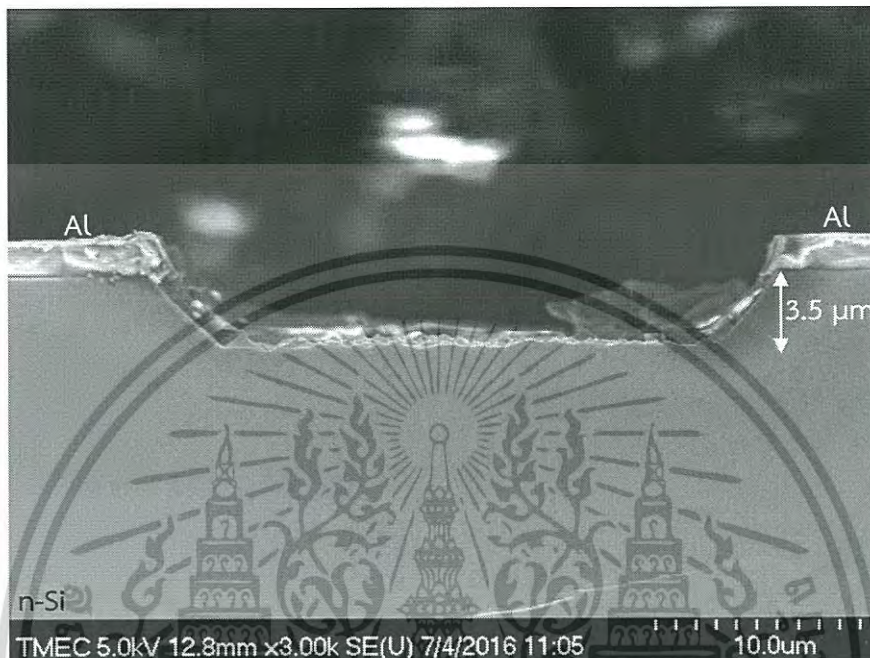
(ก) เมื่อไม่มีการเติม IPA ลงในสารละลาย

(ข) เมื่อมีการเติม IPA 17 Vol% ลงในสารละลาย

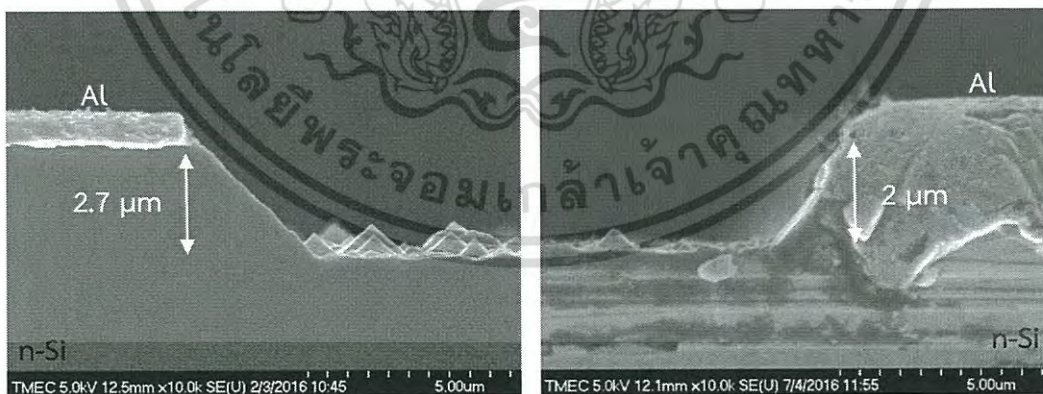
เนื่องจากการทดลองนี้ทำการเปลี่ยนแปลงความลึกของการกัดผลึกซิลิคอน ตัวอย่างภาพถ่ายผลการทดลองการเปลี่ยนแปลงความลึก แสดงดังรูปที่ 4.22 พบว่ามีความลึก 3.5  $\mu\text{m}$  ซึ่งเป็นความลึกมากสุดในงานวิจัยนี้ ตัวตรวจวัดแสงโครงสร้าง Al/n-Si/Al แบบร่องรูปด้วยไอโซโพรพิลแอลกอฮอล์ลงในสารละลาย

เอกสารนี้เป็นเอกสารที่สงวนไว้สำหรับการใช้งานเพื่อการศึกษาเท่านั้น ไม่นิยมนำไปใช้ประโยชน์อื่นใด การนำเอกสารนี้ไปใช้โดยไม่ได้รับอนุญาตถือว่าผิดกฎหมาย

โพรไฟล์แอลกอฮอล์ลงไปในการละลายมีลักษณะเป็นร่องลึกตามที่ต้องการ ซึ่งถูกอธิบายไว้แล้วในหัวข้อที่ 4.2.1



รูปที่ 4.22 ภาพถ่าย SEM ของตัวตรวจวัดแสงโครงสร้าง Al/n-Si/Al แบบกัตร่องลึกโดยมีการเติมไอโซโพรพิลแอลกอฮอล์ลงไปในการละลายที่กำลังขยาย 3000 เท่า



(ก)

(ข)

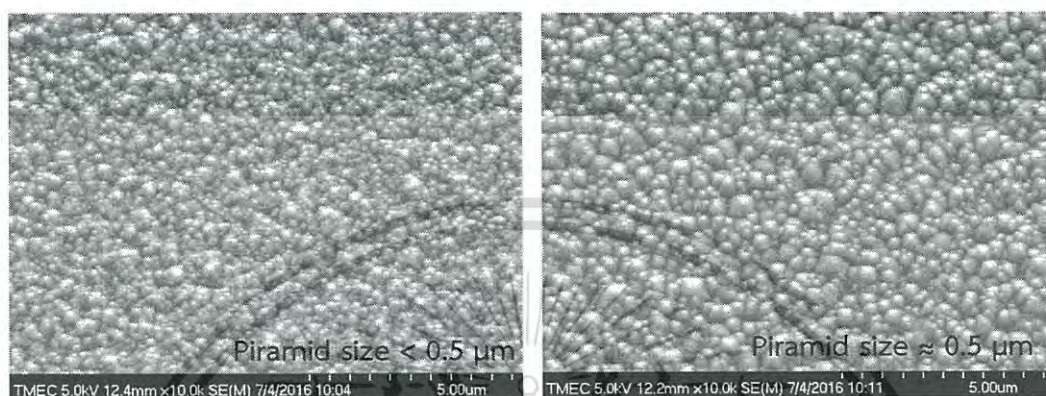
รูปที่ 4.23 ภาคตัดขวางของตัวตรวจวัดแสงโครงสร้าง Al/n-Si/Al แบบร่องรูปตัวยูที่กำลังขยาย 10,000 เท่า

(ก) เมื่อไม่มีการเติม IPA ลงไปในการละลาย

(ข) เมื่อมีการเติม IPA 17 Vol% ลงไปในการละลาย

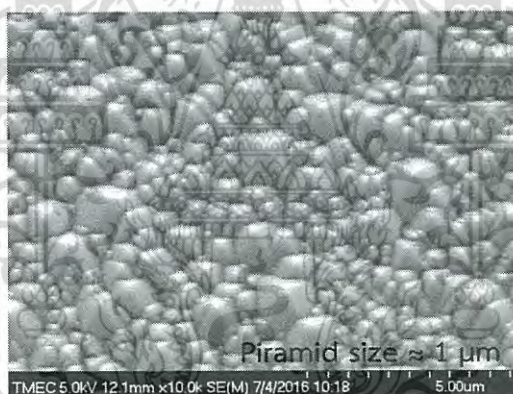
เอกสารนี้เป็นเอกสารที่สงวนไว้สำหรับการใช้งานเพื่อการศึกษาเท่านั้น ไมออนุญาตให้นำไปใช้ประโยชน์ด้านการค้าไม่ว่ากรณีใดๆ ทั้งสิ้น อีกทั้งห้ามมิให้ตัดแปลงเนื้อหา และต้องอ้างอิงถึงเจ้าของเอกสารทุกครั้งที่มีการนำไปใช้

รูปที่ 4.23 เป็นภาพตัดขวางของตัวตรวจวัดแสงโครงสร้าง Al/n-Si/Al แบบร่องรูปตัวยูที่ กำลังขยาย 10,000 เท่าจะเห็นว่าเมื่อเติมไอโซโทปฟิลแอลกอฮอล์ลงในสารละลาย ขนาดความสูงของพีระมิดจะมีขนาดเล็กลง



(ก) ใช้เวลาในการกัด 15 นาที

(ข) ใช้เวลาในการกัด 30 นาที



(ค) ใช้เวลาในการกัด 60 นาที

รูปที่ 4.24 ภาพถ่ายพื้นผิวบริเวณพื้นที่รับแสงของตัวตรวจวัดแสงโครงสร้าง Al/n-Si/Al แบบร่องรูปตัวยูที่ใช้เวลาในการกัดต่างกัน

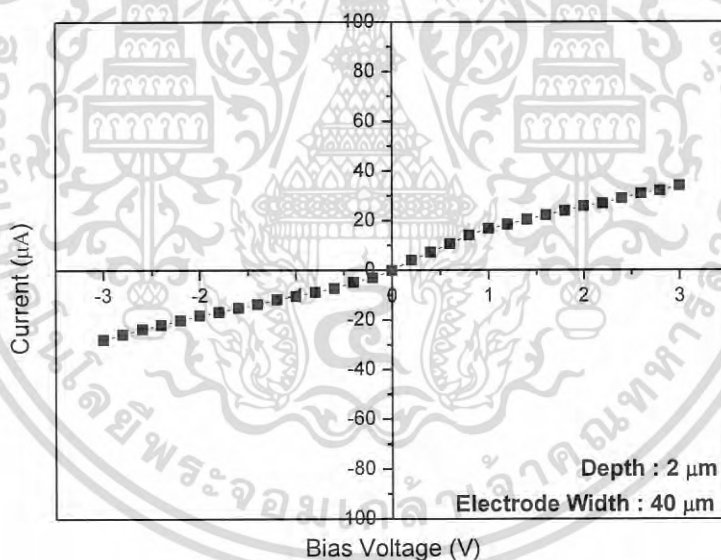
ภาพถ่ายพื้นผิวของบริเวณพื้นที่รับแสงของตัวตรวจวัดแสงโครงสร้าง Al/n-Si/Al แบบร่องรูปตัวยูที่ใช้เวลาในการกัดแผ่นซิลิคอนต่างกัน ที่กำลังขยาย 10,000 เท่า ใช้เวลาในการกัด 15, 30 และ 60 นาที แสดงดังรูปที่ 4.24 พบว่าเมื่อใช้เวลาในการกัดแผ่นซิลิคอนนานขึ้นขนาดของพีระมิดจะมีขนาดใหญ่ขึ้น เนื่องจากมีเวลาในการกัดหรือเวลาในการทำปฏิกิริยามากขึ้น โดยที่เมื่อใช้เวลาในการกัด 15 นาที จะมีลักษณะขรุขระกระจายทั่วพื้นผิว มีขนาดน้อยกว่า  $0.5 \mu\text{m}$  ที่เวลา 30 นาที ยังไม่มีความแตกต่างจากเมื่อใช้เวลาในการกัดที่ 15 นาทีมากนัก แต่มีขนาดที่ใหญ่กว่าเล็กน้อย ประมาณ

$0.5 \mu\text{m}$  เมื่อทำการกัดเป็นเวลา 60 นาที พบว่ามีลักษณะเป็นพีระมิด ขนาดประมาณ  $1 \mu\text{m}$

เอกสารนี้เป็นเอกสารที่สงวนไว้สำหรับการใช้งานเพื่อการศึกษาเท่านั้น ไม่นิยมนำไปใช้ประโยชน์ด้านการค้า ไม่ว่าจะกรณีใดๆ ทั้งสิ้น อีกทั้งห้ามมิให้ดัดแปลงเนื้อหา และต้องอ้างอิงถึงเจ้าของเอกสารทุกครั้งที่มีการนำไปใช้

#### 4.3.2 ลักษณะสมบัติทางไฟฟ้าของตัวตรวจวัดแสงโครงสร้าง Al/n-Si/Al แบบร่องรูปด้วย โดยมีการเติมไอโซโทปฟิลแอลกอฮอล์ลงไปในสารละลาย เมื่อไม่ได้รับแสงตกกระทบ

เมื่อได้อุปกรณ์ตัวตรวจวัดแสงโครงสร้าง Al/n-Si/Al แบบร่องรูปด้วยโดยมีการเติมไอโซโทปฟิลแอลกอฮอล์ลงไปในสารละลาย แล้วทำการซินเตอร์ที่อุณหภูมิ 500 องศาเซลเซียส เป็นเวลา 30 นาที ซึ่งการทดลองที่ 4.2.2 กล่าวไว้ว่าเป็นอุณหภูมิซินเตอร์ และเวลาที่เหมาะสมซึ่งได้กระแสรั่วไหลน้อยที่สุด แล้วทำการหาความสัมพันธ์ของกระแสเมื่อได้รับแรงดันไบอัสเพื่อทดสอบลักษณะสมบัติของตัวอุปกรณ์ที่สร้างขึ้นในขณะที่ไม่ได้รับแสงตกกระทบโดยต่อชุดการทดลองดังรูปที่ 4.7 โดยป้อนแรงดันไบอัสตั้งแต่ -3 ถึง 3 ผลการทดลองแสดงดังรูปที่ 4.25 พบว่าตัวตรวจวัดแสงโครงสร้าง Al/n-Si/Al แบบร่องรูปด้วยที่มีความลึกของระยะห่างระหว่างขั้วไฟฟ้าเท่ากับ  $2\ \mu\text{m}$  มีค่ากระแสรั่วไหล  $34\ \mu\text{A}$  เมื่อให้แรงดันไบอัสเท่ากับ 3 V ซึ่งพบว่ากระแสรั่วไหลมีค่าลดลงจากการทดลองในหัวข้อที่ 4.2 ที่ไม่มีการเติมไอโซโทปฟิลแอลกอฮอล์ลงไปในสารละลาย ประมาณ 5 เท่า



รูปที่ 4.25 ลักษณะสมบัติกระแส-แรงดันของตัวตรวจวัดแสงโครงสร้าง Al/n-Si/Al แบบร่องรูปด้วย โดยมีการเติมไอโซโทปฟิลแอลกอฮอล์ลงไปในสารละลายขณะไม่ได้รับแสงตกกระทบ

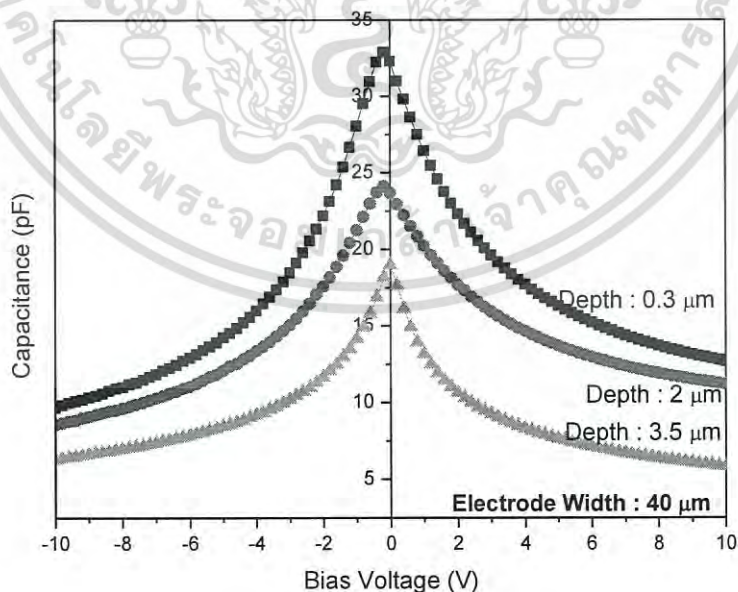
#### 4.3.3 ลักษณะสมบัติความจุไฟฟ้า-แรงดันของตัวตรวจวัดแสงโครงสร้าง Al/n-Si/Al แบบร่องรูปด้วย โดยมีการเติมไอโซโทปฟิลแอลกอฮอล์ลงไปในสารละลาย

เมื่อทำการสร้างตัวตรวจวัดแสงโครงสร้าง Al/n-Si/Al แบบร่องรูปด้วย โดยมีการเติมไอโซโทปฟิลแอลกอฮอล์ลงไปในสารละลายแล้วทำการซินเตอร์ที่อุณหภูมิ 500 องศาเซลเซียส เป็นเวลา 30 นาที ซึ่งการทดลองที่ 4.2.2 ได้กล่าวไว้ว่าเป็นอุณหภูมิซินเตอร์ และเป็นเวลาที่ที่เหมาะสมซึ่งจะ

ได้กระแสรั่วไหลน้อยที่สุด แล้วทำการหาความสัมพันธ์ของความจุไฟฟ้าที่เปลี่ยนแปลงไปเมื่อได้รับแรงดันไบอัส ขณะที่ไม่มีแสงตกกระทบกับตัวอุปกรณ์ ลักษณะสมบัติความจุไฟฟ้า-แรงดันของตัวตรวจวัดแสงโครงสร้าง Al/n-Si/Al แบบร่องรูปตัวยู โดยมีการเติมไอโซโทปฟอสฟอรัสลงไปในสารละลาย เมื่อได้รับแรงดันไบอัส -10 ถึง 10 V แสดงดังรูปที่ 4.26 พบว่าโครงสร้างโลหะ-สารกึ่งตัวนำ-โลหะ ที่ใช้ในงานวิจัยนี้ประกอบด้วยตัวเก็บประจุที่บริเวณรอยสัมผัสทั้งสองต่อกันแบบอนุกรม ดังนั้นค่าความจุไฟฟ้าของโครงสร้างโลหะ-สารกึ่งตัวนำ-โลหะ จะมีค่าใกล้เคียงกับความจุไฟฟ้าด้านที่ได้รับแรงดันไบอัสย้อนกลับ

ซึ่งจากรูปที่ 4.26 พบว่าลักษณะสมบัติความจุไฟฟ้า-แรงดันของรอยสัมผัสระหว่างโลหะ-สารกึ่งตัวนำ-โลหะ มีความสมมาตรกันซึ่งจะมีค่าแปรผกผันกับแรงดันไบอัสดังความสัมพันธ์ของสมการที่ (4.7) คือเมื่อแรงดันไบอัสมีค่าเพิ่มมากขึ้นจะทำให้มีค่าความจุไฟฟ้ามีค่าลดลง โดยที่แรงดันไบอัส 10 V ค่าความจุไฟฟ้าของอุปกรณ์มีค่าประมาณ 12, 11 และ 5 pF ที่ความลึกของระยะห่างระหว่างขั้วไฟฟ้าเท่ากับ 0.3, 2 และ 3.5  $\mu\text{m}$  ตามลำดับ สาเหตุที่ความจุไฟฟ้ามีค่าลดลงเนื่องจากที่บริเวณรอยสัมผัสรอบข้างของขั้วไฟฟ้าถูกกัดออกไป จึงส่งผลให้มีความจุไฟฟ้าลดต่ำลงตามความลึกของระยะห่างระหว่างขั้วไฟฟ้า

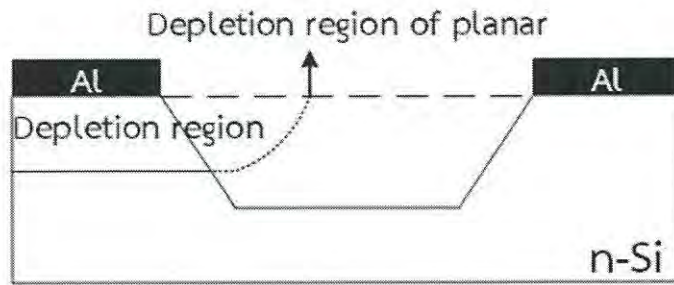
$$C = \frac{q\epsilon_S N_D}{\sqrt{2(V_{bi} - V_A)}} \quad (4.7)$$



รูปที่ 4.26 ลักษณะสมบัติความจุไฟฟ้า-แรงดันของตัวตรวจวัดแสงโครงสร้าง Al/n-Si/Al แบบร่อง

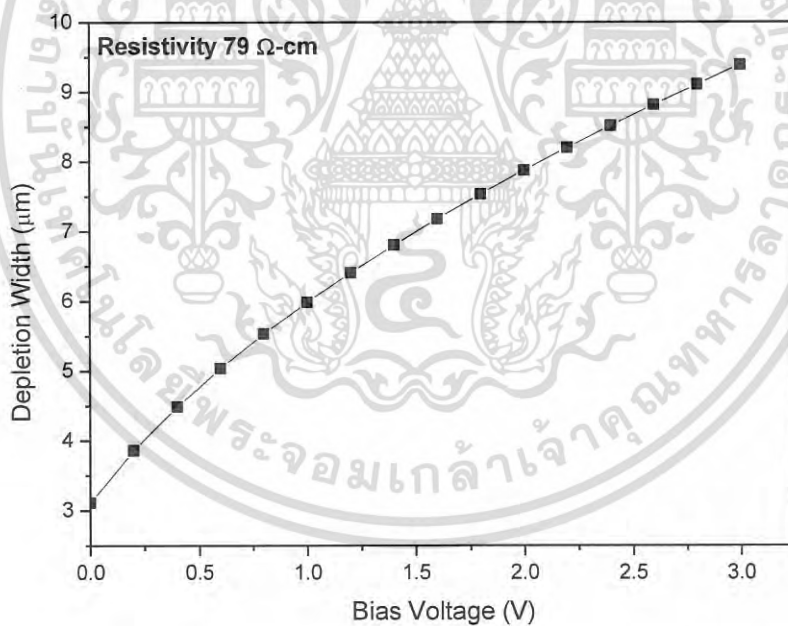
รูปตัวยู โดยมีการเติมไอโซโทปฟอสฟอรัสลงไปในสารละลาย

เอกสารนี้เป็นเอกสารสงวนลิขสิทธิ์ของงานเพื่อการศึกษาเท่านั้น เมื่อผู้ใช้เห็นนำไปใช้ประโยชน์ด้านการค้าไม่ว่ากรณีใดๆ ทั้งสิ้น อีกทั้งห้ามมิให้ดัดแปลงเนื้อหา และต้องอ้างอิงถึงเจ้าของเอกสารทุกครั้งที่มีการนำไปใช้



รูปที่ 4.27 ภาพแสดงบริเวณปลอดพาหะ

ค่าความจุไฟฟ้าที่ลดลงนี้จากรูปที่ 4.27 จะเห็นว่าบริเวณปลอดพาหะหายไปบางส่วน จากลักษณะของโครงสร้างที่เราได้เปลี่ยนเป็นร่องรูปตัวยู ซึ่งการที่มีค่าความจุไฟฟ้าที่ต่ำลงนี้จะทำให้จะทำให้เกิดการตอบสนองที่รวดเร็ว (สวิตซ์สูง) ถือเป็นแนวทางในการพัฒนาตัวตรวจวัดแสงโครงสร้างร่องรูปตัวยูต่อไปในอนาคต

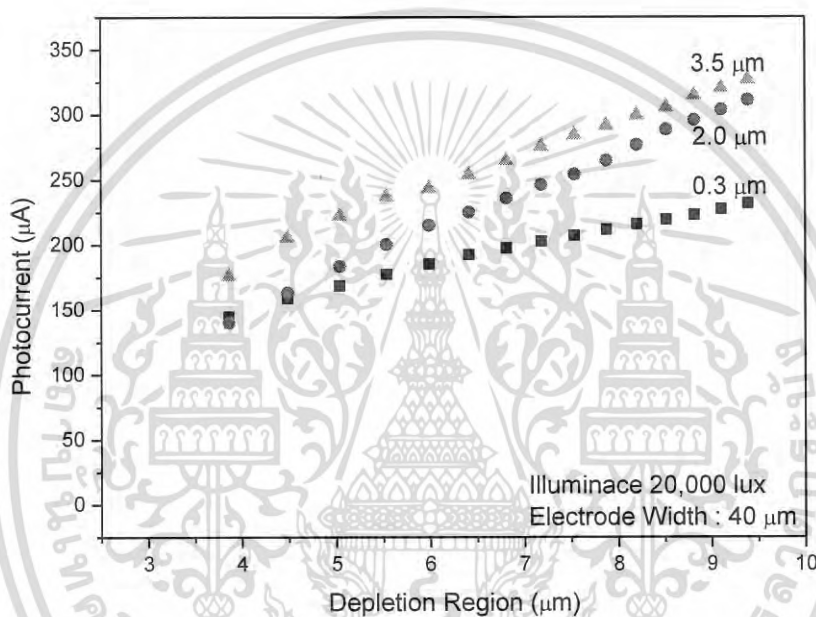


รูปที่ 4.28 ลักษณะความกว้างบริเวณปลอดพาหะ-แรงดันของตัวตรวจวัดแสงโครงสร้าง Al/n-Si/Al แบบร่องรูปตัวยู โดยมีการเติมไอโซโทปฟอสฟอรัสลงไปในสารละลาย

จากการทดลองในหัวข้อที่ 4.2.4 ที่ผ่านมามีพบว่ากระแสแสงที่ได้มีค่าไม่ขึ้นกับระยะห่างระหว่างขั้วไฟฟ้า แต่กระแสแสงมีค่าเปลี่ยนแปลงตามแรงดันไบอัสที่ให้กับตัวอุปกรณ์ ซึ่งแรงดันไบอัสมีผลต่อความกว้างบริเวณปลอดพาหะ โดยสามารถคำนวณได้จากสมการที่ (4.8) ซึ่งพบว่าค่าความเอกสารนี้เป็นเอกสารที่สงวนไว้สำหรับการใช้งานเพื่อการศึกษาเท่านั้น ไม่อนุญาตให้นำไปใช้ประโยชน์ด้านการค้า ไม่ว่าจะกรณีใดๆ ทั้งสิ้น อีกทั้งห้ามมิให้ดัดแปลงเนื้อหา และต้องอ้างอิงถึงเจ้าของเอกสารทุกครั้งที่มีการนำไปใช้

กว้างบริเวณปลอดพาหะมีค่ามากขึ้นเมื่อให้แรงดันไบอัสเพิ่มขึ้น ดังแสดงในรูปที่ 4.28 ซึ่งเป็นบริเวณปลอดพาหะของแผ่นซิลิคอนที่มีสภาพต้านทานแผ่นประมาณ 79 โอห์ม-เซนติเมตร

$$W = \sqrt{\frac{2\varepsilon_S(V_{bi} - V_A)}{qN_D}} \quad (4.8)$$



รูปที่ 4.29 ลักษณะกระแสแสง-ความกว้างบริเวณปลอดพาหะของตัวตรวจวัดแสงโครงสร้าง AU/n-Si/Al แบบร่องรูปตัวยู โดยมีการเติมไอโซโทปฟิลแอลกอฮอล์ลงไปในสารละลาย

เมื่อนำผลการทดลองที่ได้ในรูปที่ 4.28 แล้วมาทำการหาความสัมพันธ์ระหว่างกระแสแสงกับความกว้างบริเวณปลอดพาหะ ดังแสดงในรูปที่ 4.29 เมื่อให้แรงดันไบอัสเท่ากับ 3 V และให้แสงที่มีความเข้มแสง 20,000 lux พบว่า กระแสแสงมีค่ามากขึ้นเมื่อแรงดันไบอัสเพิ่มขึ้น โดยที่เป็นผลมาจากความกว้างบริเวณปลอดพาหะมีค่าเพิ่มขึ้นตามการเปลี่ยนแปลงของแรงดันไบอัส จึงกล่าวได้ว่า กระแสแสงมีค่ามากขึ้นเมื่อให้แรงดันไบอัสมีค่าเพิ่มขึ้น ส่งผลให้สามารถควบคุมกระแสแสงได้จากการเปลี่ยนแปลงแรงดันไบอัสกับตัวอุปกรณ์

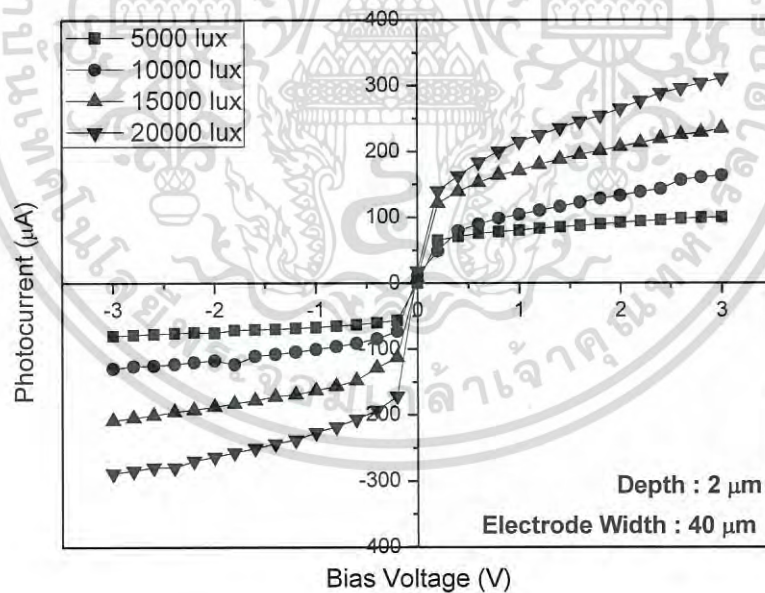
#### 4.3.4 ลักษณะสมบัติทางไฟฟ้าของตัวตรวจวัดแสงโครงสร้าง AU/n-Si/Al แบบร่องรูปตัวยู โดยมีการเติมไอโซโทปฟิลแอลกอฮอล์ลงไปในสารละลาย เมื่อได้รับแสงตก

##### กระทบ

เอกสารนี้เป็นเอกสารที่สงวนไว้สำหรับการใช้งานเพื่อการศึกษาเท่านั้น ไม่อนุญาตให้นำไปใช้ประโยชน์ด้านการค้า ไม่ว่ากรณีใดๆ ทั้งสิ้น อีกทั้งห้ามมิให้ดัดแปลงเนื้อหา และต้องอ้างอิงถึงเจ้าของเอกสารทุกครั้งที่มีการนำไปใช้

จากลักษณะสมบัติกระแส-แรงดันของตัวตรวจวัดแสงโครงสร้าง AL/n-Si/Al แบบร่องรูปตัวยู โดยมีการเติมไอโซโทปฟอสฟอรัสลงไปในการละลายขณะได้รับแสงตกกระทบ จากแหล่งกำเนิดแสงจากหลอดฮาโลเจนที่ความเข้มแสงค่าต่างๆ โดยอุปกรณ์ที่ทำการวัดมีความลึกของระยะห่างระหว่างขั้วไฟฟ้า  $2 \mu\text{m}$  ผลการทดลองแสดงในรูปที่ 4.30 พบว่าอุปกรณ์จะมีกระแสเพิ่มขึ้นเมื่อแรงดันไบอัสเพิ่มขึ้น เป็นผลอันเนื่องมาจากการเกิดคู่อิเล็กตรอน-โฮลเพิ่มมากขึ้นเมื่อได้รับความเข้มแสงเพิ่มขึ้นดังแสดงไว้ในหัวข้อที่ 4.2.3 โดยที่ความเข้มแสง 5,000, 10,000, 15,000 และ 20,000 lux ที่แรงดันไบอัส 3 V จะมีค่ากระแสแสง 113, 194, 267 และ 352  $\mu\text{A}$  ตามลำดับ ซึ่งพบว่ามีกระแสแสงเพิ่มขึ้นเป็น 25 เท่า เมื่อเทียบกับแบบพลาแนร์จากการทดลองในหัวข้อที่ 4.1

สาเหตุที่ตัวตรวจวัดแสงโครงสร้าง AL/n-Si/Al แบบร่องรูปตัวยูมีค่าเพิ่มขึ้นอาจเป็นไปได้จากการที่มีพื้นที่รับแสงเพิ่มขึ้นจากโครงสร้างที่เปลี่ยนแปลงไปจากแบบพลาแนร์ที่ได้กล่าวไว้ในหัวข้อที่ 4.1 ด้วยการกัดร่องรูปตัวยูบริเวณพื้นที่รับแสงหรือบริเวณระยะห่างระหว่างขั้วไฟฟ้า รวมทั้งมีลักษณะพื้นผิวที่ไม่เรียบหรือขรุขระ เพื่อช่วยตกแสงโดยการเพิ่มโอกาสให้แสงถูกสะท้อนกลับลงบนผิวหน้าบริเวณพื้นที่รับแสงมากขึ้น ทำให้บริเวณพื้นที่รับแสงสามารถดูดกลืนแสงได้มากขึ้นจากการเปลี่ยนแปลงโครงสร้างในวิทยานิพนธ์นี้ด้วยนั่นเอง

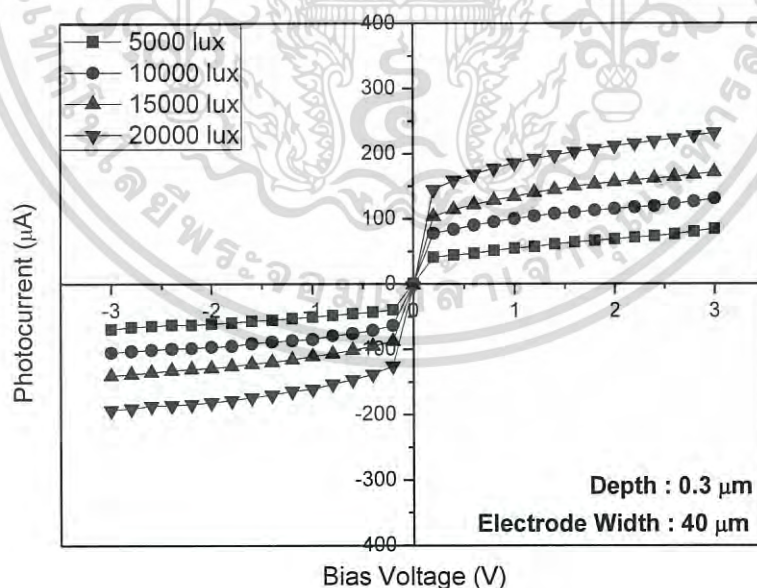


รูปที่ 4.30 ลักษณะสมบัติกระแส-แรงดันของตัวตรวจวัดแสงโครงสร้าง AL/n-Si/Al แบบร่องรูปตัวยู ที่มีความลึกของระยะห่างขั้วไฟฟ้า  $2 \mu\text{m}$  ขณะได้รับแสงตกกระทบ

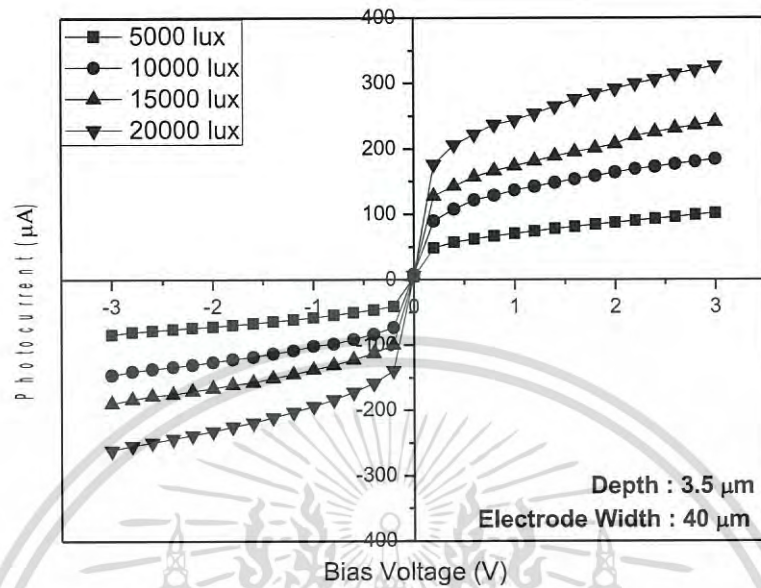
#### 4.3.5 ลักษณะสมบัติทางไฟฟ้าของตัวตรวจวัดแสงโครงสร้าง AL/n-Si/Al แบบร่องรูปตัวยู โดยมีการเติมไอโซโทปฟอสฟอรัสลงไปในการละลาย เมื่อได้รับแสงตกกระทบ ที่ความลึกของระยะห่างระหว่างขั้วไฟฟ้าต่างกัน

จากการทดลองที่ผ่านมาในหัวข้อที่ 4.3.4 จากนั้นทำการหาค่ากระแสแสงของอุปกรณ์ตัวตรวจวัดแสงโครงสร้าง AL/n-Si/Al แบบร่องรูปตัวยูโดยมีการเติมไอโซโทปฟอสฟอรัสลงไปในการละลาย เมื่อได้รับแสงตกกระทบ ที่ความลึกของระยะห่างระหว่างขั้วไฟฟ้าต่างกัน โดยที่ความลึกของระยะห่างระหว่างขั้วไฟฟ้า 0.3, 2 และ 3.5  $\mu\text{m}$  ผลการทดลองแสดงดังรูปที่ 4.24, 4.31 และ 4.32 ตามลำดับ โดยที่ความเข้มแสง 5,000, 10,000, 15,000 และ 20,000 lux ตัวตรวจวัดแสงที่มีความลึกร่องรูปตัวยู 0.3  $\mu\text{m}$  จะมีค่ากระแสแสง 84.62, 131.13, 171.36 และ 231.99  $\mu\text{A}$  ตามลำดับ และตัวตรวจวัดแสงที่มีความลึกร่องรูปตัวยู 3.5  $\mu\text{m}$  จะมีค่ากระแสแสง 90.11, 169.27, 220.08 และ 299.62  $\mu\text{A}$  ตามลำดับ เมื่อให้แรงดันไบอัส 3 V ซึ่งค่ากระแสแสงที่ได้มีค่ามากขึ้นเมื่อให้แรงดันไบอัสเพิ่มขึ้น เกิดเนื่องจากการเกิดคู่อิเล็กตรอน-โฮลเพิ่มขึ้นเมื่อความเข้มแสงเพิ่มมากขึ้น

วิทยานิพนธ์นี้ได้ทำการปรับเปลี่ยนโครงสร้างตัวตรวจวัดแสงจากแบบพลาแนร์ เป็นโครงสร้างร่องรูปตัวยู เพื่อเพิ่มพื้นที่รับแสงซึ่งคาดว่าจะมีกระแสแสงเพิ่มมากขึ้น อีกทั้งทำให้ค่าความจุไฟฟ้าของตัวอุปกรณ์ลดลงจากโครงสร้างที่ได้เปลี่ยนแปลงไป ดังแสดงในผลการทดลองข้างต้น ซึ่งเป็นแนวในการพัฒนาตัวตรวจวัดแสงโครงสร้างร่องรูปตัวยูต่อไปในอนาคต



รูปที่ 4.31 ลักษณะสมบัติกระแส-แรงดันของตัวตรวจวัดแสงโครงสร้าง AL/n-Si/Al แบบร่องรูปตัวยู ที่มีความลึกของระยะห่างขั้วไฟฟ้า 0.3  $\mu\text{m}$  ขณะได้รับแสงตกกระทบ



รูปที่ 4.32 ลักษณะสมบัติกระแส-แรงดันของตัวตรวจวัดแสงโครงสร้าง Al/n-Si/Al แบบร่องรูปตัวยู ที่มีความลึกของระยะห่างขั้วไฟฟ้า 3.5  $\mu\text{m}$  ขณะได้รับแสงตกกระทบ

เอกสารนี้เป็นเอกสารที่สงวนไว้สำหรับการใช้งานเพื่อการศึกษาเท่านั้น ไม่อนุญาตให้นำไปใช้ประโยชน์ด้านการค้า ไม่ว่ากรณีใดๆ ทั้งสิ้น อีกทั้งห้ามมิให้ดัดแปลงเนื้อหา และต้องอ้างอิงถึงเจ้าของเอกสารทุกครั้งที่มีการนำไปใช้

## บทที่ 5

### สรุปผลการวิจัยและข้อเสนอแนะ

ในวิทยานิพนธ์เล่มนี้เป็นการศึกษากระบวนการสร้างตัวตรวจวัดแสงโครงสร้าง AL/n-Si/Al แบบร่องรูปด้วย โดยใช้สารละลาย TMAH ในการกัดซิลิคอนบริเวณระยะห่างระหว่างขั้วไฟฟ้าทั้งสองของตัวตรวจวัดแสงที่สร้างขึ้น เป็นการเปลี่ยนแปลงโครงสร้างของตัวตรวจวัดแสงจากแบบพลาแนร์ เป็นแบบร่องรูปด้วย ซึ่งเป็นการเพิ่มพื้นที่รับแสงให้กับตัวตรวจวัดแสงโดยที่ไม่จำเป็นต้องเพิ่มระยะห่างระหว่างขั้วไฟฟ้า โดยคุณสมบัติของสารละลายที่ใช้ในการกัดร่องรูปตัวอยู่นี้จะทำให้เกิดการกัดแบบแอนไอโซทรอปิก จากนั้นจะทำการศึกษาลักษณะสมบัติทางกายภาพ และลักษณะสมบัติทางไฟฟ้าของตัวตรวจวัดแสงโครงสร้างร่องรูปด้วย

กระบวนการสร้างเริ่มจากใช้แผ่นผลึกซิลิคอนชนิดเอ็น ที่มีระนาบ (100) และมีสภาพต้านทานไฟฟ้า 75-95 โอห์ม-เซนติเมตร เพื่อใช้ในการสร้างชั้นโลหะอลูมิเนียมโดยใช้กระบวนการสปัตเตอร์ จากนั้นทำการสร้างตัวตรวจวัดแสงโครงสร้าง AL/n-Si/Al แบบพลาแนร์ ทำการศึกษาคุณสมบัติทางไฟฟ้าไว้ใช้ในการเปรียบเทียบกับตัวตรวจวัดแสงแบบร่องรูปด้วย หลังจากที่ได้ตัวตรวจวัดแสงแบบพลาแนร์แล้ว จึงทำการกัดบริเวณพื้นที่รับแสงของตัวตรวจวัดแสงแบบพลาแนร์ด้วยสารละลาย TMAH ความเข้มข้น 8.3 wt% อุณหภูมิที่ใช้ในการกัดซิลิคอน 80 องศาเซลเซียส

ในส่วนแรกเป็นการศึกษาคุณสมบัติทางไฟฟ้าของตัวตรวจวัดแสงแบบพลาแนร์เพื่อใช้ในการเปรียบเทียบกับตัวตรวจวัดแสงแบบร่องรูปด้วย พบว่าตัวตรวจวัดแสงแบบพลาแนร์ที่สร้างขึ้นมีกระแสรั่วไหล ที่แรงดันไบอัสเท่ากับ 3 V มีค่าเท่ากับ 0.8  $\mu\text{A}$  มีกระแสแสงเมื่อให้แรงดันไบอัส เท่ากับ 3 V ที่ความเข้มแสง 5,000, 10,000, 15,000 และ 20,000 lux จะมีกระแสแสง 5.3, 7.8, 10.1 และ 14.2  $\mu\text{A}$  ตามลำดับ จากนั้นนำผลการทดลองที่ได้ไปเปรียบเทียบกับตัวตรวจวัดแสงแบบร่องรูปด้วย

ส่วนที่สองเป็นการสร้างตัวตรวจวัดแสงแบบร่องรูปด้วย แล้วทำการศึกษาลักษณะสมบัติทางกายภาพ และลักษณะสมบัติทางไฟฟ้า พบว่าลักษณะทางกายภาพของตัวตรวจวัดแสงจากโครงสร้างร่องรูปด้วยมีพื้นที่ในการรับแสงเพิ่มขึ้น โดยบริเวณพื้นที่รับแสงด้านพื้นที่ราบเอียง (f/g) จะมีค่าเพิ่มขึ้น 1.7 เท่า จากแบบพลาแนร์ แต่พบว่าพื้นผิวมีลักษณะขรุขระ ไม่ราบเรียบ จึงมีการศึกษาวิธีในการเพิ่มความเรียบให้กับพื้นผิวด้วยการเติม IPA ลงไปในสารละลายที่ใช้ในการกัด ซึ่งจะอธิบายในส่วนถัดไป จากศึกษาลักษณะสมบัติกระแส-แรงดัน ในกรณีที่ไม่มีแสงตกกระทบและมีแสงตกกระทบ โดยใช้แหล่งกำเนิดแสงจากหลอดฮาโลเจน พบว่ากระแสมืดของตัวอุปกรณ์ของตัวอุปกรณ์มีค่าค่อนข้างสูง จึงมีการศึกษาการลดกระแสมืดหรือกระแสรั่วไหลขึ้น โดยทำการศึกษามลกระทบของเวลาในการซินเตอร์ริงเพื่อเพิ่มขนาดความสูงของกำแพงศักย์ขั้วต่อที่ดี ซึ่งความสูงของกำแพงศักย์ขั้วต่อที่ดีนี้มีผลต่อกระแสรั่วไหลของตัวอุปกรณ์ที่สร้างขึ้น เนื่องจากอุปกรณ์ UMSM โครงสร้าง AL/n-Si/Al ที่สร้างขึ้นมีกระแสรั่วไหลที่ค่อนข้างสูง จึงใช้เทคนิคในการซินเตอร์ริงเพื่อเพิ่มความสูงกำแพงศักย์ของรอยสัมผัสขั้วต่อที่ดีขึ้น ซึ่งพบว่าสามารถลดระดับของ

เอกสารนี้เป็นเอกสารที่สงวนลิขสิทธิ์ไว้สำหรับการใช้งานเพื่อการศึกษาเท่านั้น เมื่อผู้ใช้เห็นหน้าใบเขียวบริเวณขึ้นต้นการคำ

ไม่ว่ากรณีใดๆ ทั้งสิ้น อีกทั้งห้ามมิให้ตัดแปลงเนื้อหา และต้องอ้างอิงถึงเจ้าของเอกสารทุกครั้งที่มีการนำไปใช้

กระแสรั่วไหลได้ถึง 2 เท่า แต่ก็ยังมีค่ากระแสรั่วไหลในระดับที่ยังสูงอยู่ ซึ่งทางผู้วิจัยจะทำการศึกษาหาวิธีการในการลดกระแสรั่วไหลต่อไป จากการทดลองลักษณะสมบัติกระแส-แรงดัน ขณะได้รับแสงตกกระทบ พบว่าตัวตรวจวัดแสงที่สร้างขึ้นสามารถตอบสนองทางแสงได้ และเวลาที่ใช้ในการคืนเตอริงไม่มีผลต่อกระแสแสงที่เกิดขึ้นมากนัก แต่มีผลในการลดกระแสรั่วไหลในตัวอุปกรณ์มากกว่า

ส่วนสุดท้าย จากการสร้างตัวตรวจวัดแสงแบบร่องรูปด้วยพบว่า พื้นที่รับแสงที่กักร่องรูปด้วยนั้นมีความขรุขระ ไม่ราบเรียบ พื้นที่ผิวมีลักษณะเป็นพีระมิดแบบสุ่ม จึงได้ศึกษาเพิ่มเติมถึงวิธีการลดขนาดพีระมิด เพื่อให้มีความราบเรียบขึ้น โดยการเติม IPA ลงไปในสารละลาย TMAH ซึ่งจากลักษณะทางกายภาพของพื้นผิวบริเวณพื้นที่รับแสง พบว่าการเติม IPA ลงไปในสารละลายสามารถช่วยลดความขรุขระของพื้นผิวได้ แต่ก็ทำให้อัตราการกัดแผ่นซิลิคอนลดลงด้วย ซึ่งการเติม IPA ลงไปในสารละลาย ช่วยลดแรงตึงผิวในระหว่างขณะทำการกัดแผ่นซิลิคอน โดยช่วยให้ฟองของไฮโดรเจนหลุดจากผิวหน้าของซิลิคอนที่โดนกัดได้ดีขึ้น พื้นผิวจึงมีความราบเรียบขึ้น ในส่วนของลักษณะสมบัติทางไฟฟ้า มีค่ากระแสรั่วไหล 34  $\mu\text{A}$  เมื่อให้แรงดันไบอัสเท่ากับ 3 V ซึ่งพบว่ากระแสรั่วไหลมีค่าลดลงจากที่ไม่มีการเติม IPA ลงไปในสารละลายประมาณ 5 เท่า ส่วนกระแสแสง โดยที่ความเข้มแสง 5,000, 10,000, 15,000 และ 20,000 lux ที่แรงดันไบอัส 3 V จะมีค่ากระแสแสง 113, 194, 267 และ 352  $\mu\text{A}$  ตามลำดับ ซึ่งพบว่ามีการเพิ่มแสงเพิ่มขึ้นเป็น 25 เท่า เมื่อเทียบกับแบบพลาสมาที่สร้างขึ้น

ลักษณะสมบัติความจุไฟฟ้า-แรงดันของตัวตรวจวัดแสงแบบกักร่องรูปด้วย มีความสมมาตรกันดี ซึ่งจะมีค่าแปรผกผันกับแรงดันไบอัส คือเมื่อแรงดันไบอัสมีค่าเพิ่มมากขึ้นจะทำให้มีค่าความจุไฟฟ้ามีค่าลดลง โดยที่แรงดันไบอัส 10 V ค่าความจุไฟฟ้าของอุปกรณ์มีค่าประมาณ 12, 11 และ 5 pF ที่ความลึกของระยะห่างระหว่างขั้วไฟฟ้าเท่ากับ 0.3, 2 และ 3.5  $\mu\text{m}$  ตามลำดับ สาเหตุที่ความจุไฟฟ้ามีค่าลดลงเนื่องจากพื้นที่บริเวณรอยสัมผัสรอบข้างของขั้วไฟฟ้าถูกกัดออกไป จึงส่งผลให้มีความจุไฟฟ้าลดต่ำลงตามความลึกของระยะห่างระหว่างขั้วไฟฟ้า

จากการสร้างตัวตรวจวัดแสงโครงสร้าง Al/n-Si/Al แบบกักร่องรูปด้วย หรือ UMSM โดยใช้เทคนิคการกัดซิลิคอนแบบแอนไอโซทรอปิก สามารถสร้างตัวตรวจวัดแสงให้มีพื้นที่รับแสงเพิ่มมากขึ้นและมีการตอบสนองทางแสงได้ คาดว่าจะเป็นตัวตรวจวัดแสงที่มีประสิทธิภาพเพิ่มขึ้นได้ในอนาคต

## เอกสารอ้างอิง

- [1] Apple Support. 2015. "Change the brightness setting in iOS". [Online]. Available : <https://support.apple.com/en-us/HT202613>
- [2] Cristian Raiber. 2012. "The principles of operation of a bar code barcode scanner". [Online]. Available : <http://ezinearticles.com/?The-Working-Principles-Behind-a-Barcode-Scanner&id=3637376>
- [3] Eric J. Lerner, 2000. "Introduction to photodetectors and applications" [Online]. Available : <http://www.laserfocusworld.com/articles/print/volume-36/issue-12/buyers-guide-2001/photodetectors/introduction-to-photodetectors-and-applications.html>
- [4] Nikon Corporation. 2008. "Predictive Focus Tracking System". [Online]. Available : <http://www.nikon.com/about/technology/rd/core/software/caf/index.htm>
- [5] บุศรา นรารักษ์, "การศึกษากระบวนการสร้างและลักษณะสมบัติของซิลิคอนโฟโตไดโอด โครงสร้างโลหะ-สารกึ่งตัวนำ-โลหะที่ถูกแพร่ด้วยอะตอมแพลตทินัม", วิทยานิพนธ์วิศวกรรมศาสตรมหาบัณฑิต สาขาวิชาไมโครอิเล็กทรอนิกส์, สถาบันเทคโนโลยีพระจอมเกล้าเจ้าคุณทหารลาดกระบัง. 2556
- [6] Bo Cui. 2007. "Microfabrication and thin film technology" [Online]. Available : [https://ece.uwaterloo.ca/~bcui/?page\\_id=20](https://ece.uwaterloo.ca/~bcui/?page_id=20)
- [7] Apple Support. 2015. "Change the brightness setting in iOS". [Online]. Available : <https://support.apple.com/en-us/HT202613>
- [8] สมเกียรติ ศุภเดช., "เซมิคอนดักเตอร์ฟิล์ม", พิมพ์ครั้งที่ 4 แผนกตำรา คณะวิศวกรรมศาสตร์ สถาบันเทคโนโลยีพระจอมเกล้าเจ้าคุณทหารลาดกระบัง, กรุงเทพฯ, พ.ศ. 2549.
- [9] สมเกียรติ ศุภเดช., "เซมิคอนดักเตอร์ดีไวซ์", พิมพ์ครั้งที่ 3 แผนกตำรา คณะวิศวกรรมศาสตร์ สถาบันเทคโนโลยีพระจอมเกล้าเจ้าคุณทหารลาดกระบัง, กรุงเทพฯ, พ.ศ. 2549.
- [10] สุรศักดิ์ เนียมเจริญ, "รอยสัมผัสโลหะและสารกึ่งตัวนำ", พิมพ์ครั้งที่ 1, กรุงเทพฯ : มีนเซอร์วิสเซ็พพลาย, พ.ศ. 2558.
- [11] Werasak Sonphao, "Silicon Anisotropic Etching of TMAH Solution", ISIE 2001, Pusan, KOREA

เอกสารนี้เป็นเอกสารที่สงวนไว้สำหรับการใช้งานเพื่อการศึกษาเท่านั้น ไม่อนุญาตให้นำไปใช้ประโยชน์ด้านการค้า ไม่ว่ากรณีใดๆ ทั้งสิ้น อีกทั้งห้ามมิให้ดัดแปลงเนื้อหา และต้องอ้างอิงถึงเจ้าของเอกสารทุกครั้งที่มีการนำไปใช้

- [12] Kejia (Albert) Wang., “Wire textured, multi-crystalline Si solar cells created using self-assembled masks”, OPTICS EXPRESS A568. Vol. 18, No. 54
- [13] ธีัญญะ ศักดิ์โสภิชญ์, “ทรานซิลเวอร์ความดันชนิดซิลิกอนแบบเปียโซรีซิสทีปบนไดอะแฟรมบาง”, วิทยานิพนธ์วิศวกรรมศาสตรมหาบัณฑิต สาขาวิชาวิศวกรรมไฟฟ้า, สถาบันเทคโนโลยีพระจอมเกล้าเจ้าคุณทหารลาดกระบัง. 2534
- [14] D. Xuefeng, “Microfabrication Using Bulk Wet Etching with TMAH”. Master Degree Thesis of McGill University. 2005
- [15] Xiaoge Gregory Zhang “Electrochemistry of Silicon and Its Oxide”. Cominco Ltd. Mississauga, Ontario, Canada and McMaster University Hamilton, Ontario, Canada. 2001
- [16] Avinash P. Nayak, Logeeswaran VJ and M. Saif Islam “Wet and Dry Etching”. University of California, Davis. California. 2011
- [17] ศรีเมษ รัตนชัย, “เทคนิคการกัดคานเดี่ยวซิลิกอนเพื่อเป็นตัวตรวจจับอัตราเร่ง”, วิทยานิพนธ์ วิศวกรรมศาสตรมหาบัณฑิต สาขาวิชาวิศวกรรมไฟฟ้า, สถาบันเทคโนโลยีพระจอมเกล้าเจ้าคุณทหารลาดกระบัง. 2542
- [18] K. Biswas, S. Das, “Bulk micromachining of silicon in TMAH-based etchants for aluminum passivation and smooth surface”. Microelectronics Journal 37 (2006) 321–327
- [19] J.LACONTE, “Micromachined Thin-Film Sensors for SOI-CMOS Co-Integration”. Intersema Sensoric SA, Bevaix, Switzerland . 2006
- [20] งามจิต มงคลธนานนท์, “การศึกษาการกัดแผ่นผลึกซิลิกอนแบบร่องรูปตัวยูโดยสารละลาย TMAH สำหรับสร้างตัวตรวจวัดแสงแบบ UMMSM”, วิทยานิพนธ์ วิศวกรรมศาสตรมหาบัณฑิต สาขาวิชาวิศวกรรมไมโครอิเล็กทรอนิกส์, สถาบันเทคโนโลยีพระจอมเกล้าเจ้าคุณทหารลาดกระบัง. 2559
- [21] U.Schnakenberg, W.Benecke, P.Lange., “TMAH ETCHANTS FOR SILICON MICROMACHINING”, Fraunhofer-Institut für Mikrostrukturtechnik Dillenburger Str. 53,D-100 Berlin 33, FRG. 1991
- [22] มานิตา ด้วงแสง, “การศึกษาและการออกแบบ การสร้าง และลักษณะสมบัติของโฟโตไดโอดโครงสร้าง  $AVn-Si/Al$  แบบอินเตอร์ดิเจิต”, วิทยานิพนธ์วิศวกรรมศาสตรมหาบัณฑิต สาขาวิชาไมโครอิเล็กทรอนิกส์, สถาบันเทคโนโลยีพระจอมเกล้าเจ้าคุณทหารลาดกระบัง, 2549

เอกสารนี้เป็นเอกสารที่สงวนไว้สำหรับการใช้งานเพื่อการศึกษาเท่านั้น ไม่อนุญาตให้นำไปใช้ประโยชน์ด้านการค้า  
ไม่ว่ากรณีใดๆ ทั้งสิ้น อีกทั้งห้ามมิให้ดัดแปลงเนื้อหา และต้องอ้างอิงถึงเจ้าของเอกสารทุกครั้งที่มีการนำไปใช้

- [23] ธเนศ โษะเหม, “การออกแบบและการสร้างตัวตรวจวัดแสงชนิด Al/n-Si/Al แบบพลาสมา”, วิทยานิพนธ์วิศวกรรมศาสตรมหาบัณฑิต สาขาวิชาไมโครอิเล็กทรอนิกส์, สถาบันเทคโนโลยีพระจอมเกล้าเจ้าคุณทหารลาดกระบัง, 2548
- [24] Darling R.B., 2015. “Wet Etching” [Online]. Available:[http://www.virlab.virginia.edu/nanoscience\\_class/lecture\\_notes/Microfabrication\\_Supporting\\_materials\\_files/R\\_B\\_Darling%20%20Washington%20U%20-%20WetEtching.pdf](http://www.virlab.virginia.edu/nanoscience_class/lecture_notes/Microfabrication_Supporting_materials_files/R_B_Darling%20%20Washington%20U%20-%20WetEtching.pdf)
- [25] W.K. Choi, J.T.L. Thong, P. Luo, C.M. Tan and T.H. Chua, Y. Bai., “Characterisation of pyramid formation arising from the TMAH etching of silicon”. Sensors and Actuator, Vol. A71, pp. 238-243, 1998
- [26] กิตติศักดิ์ อมรสุรินทวงศ์ และทิพย์วรรณ พิงสุวรรณรักษ์, “ผลของการสะท้อนแสงของผิวเซลล์แสงอาทิตย์ชนิดซิลิคอนที่มีสลาดลายพีระมิด”, การประชุมเชิงวิชาการเครือข่ายพลังงานแห่งประเทศไทย ครั้งที่ 6, หน้า 1-5, 5-7 พฤษภาคม 2553
- [27] Gwiy-Sang Chung, “Anisotropic etching characteristics of Si in tetramethylammonium hydroxide: Isopropyl alcohol: Pyrazine solutions”, Korean Physical Society, Vol. 46, pp. 1152-1156, 2005
- [28] Osamu Tabata, “pH-controlled TMAH etchants for silicon micromachining”, Sensors and Actuators A: Physical, Vol. 53, pp. 335-339, 1996
- [29] ศนิ กลิ่นสนิท, “การศึกษากระบวนการสร้างและลักษณะสมบัติของซิลิคอนซ็อดก๊ายไดโอดที่ถูกแพร่ด้วยอะตอมสารเจือแพลตทินัม”, วิทยานิพนธ์วิศวกรรมศาสตรมหาบัณฑิต สาขาวิชาไมโครอิเล็กทรอนิกส์, สถาบันเทคโนโลยีพระจอมเกล้าเจ้าคุณทหารลาดกระบัง, 2556
- [30] สรายุทธ์ วิศวะแสงสุข, “การศึกษาคุณสมบัติทางแสงของโฟโตไดโอด โครงสร้าง Al/Si/Al”, วิทยานิพนธ์วิศวกรรมศาสตรมหาบัณฑิต สาขาวิชา ไมโครอิเล็กทรอนิกส์, สถาบันเทคโนโลยีพระจอมเกล้าเจ้าคุณทหารลาดกระบัง, 2545



เอกสารนี้เป็นเอกสารที่สงวนไว้สำหรับการใช้งานเพื่อการศึกษาเท่านั้น ไม่อนุญาตให้นำไปใช้ประโยชน์ด้านการค้า  
ไม่ว่ากรณีใดๆ ทั้งสิ้น อีกทั้งห้ามมิให้ดัดแปลงเนื้อหา และต้องอ้างอิงถึงเจ้าของเอกสารทุกครั้งที่มีการนำไปใช้

## ผลงานทางวิชาการของงานวิจัยที่ได้รับการตีพิมพ์เผยแพร่

- [1] ธนกฤต แสงโฮง, ยุทธนา แจ้งอรุณ, วุฒิไกร คำอ่อน, งามจิต มงคลธนานนท์, วรเทพ น้อยปรีชา และสุรศักดิ์ เนียมเจริญ, “การศึกษาสภาพการตอบทางแสงและประสิทธิภาพควอนตัม ของตัวตรวจวัดแสงโครงสร้าง  $Al/n-Si/Al$ ”, การประชุมวิชาการทางวิศวกรรมไฟฟ้า ครั้งที่ 38, Volume II หน้า 769-772, 18-20 พ.ย. 2558
- [2] ธนกฤต แสงโฮง, จิรวัดน์ ปราบเขต และสุรศักดิ์ เนียมเจริญ, “การลดกระแสรั่วไหลของตัวตรวจวัดแสงโครงสร้าง  $Al/n-Si/Al$  แบบ U-Shape”, การประชุมวิชาการเครือข่ายวิศวกรรมไฟฟ้ามหาวิทยาลัยเทคโนโลยีราชมงคล ครั้งที่ 8, หน้า 169-172, 25-27 พ.ค. 2559



เอกสารนี้เป็นเอกสารที่สงวนไว้สำหรับการใช้งานเพื่อการศึกษาเท่านั้น ไม่อนุญาตให้นำไปใช้ประโยชน์ด้านการค้า ไม่ว่ากรณีใดๆ ทั้งสิ้น อีกทั้งห้ามมิให้ดัดแปลงเนื้อหา และต้องอ้างอิงถึงเจ้าของเอกสารทุกครั้งที่มีการนำไปใช้

การประชุมวิชาการทางวิศวกรรมไฟฟ้า ครั้งที่ ๓๘  
The 38<sup>th</sup> Electrical Engineering Conference (EECON-38)

EECON XXXVIII

UTCC University of the Thai Chamber of Commerce  
มหาวิทยาลัยหอการค้าไทย

อิเล็กทรอนิกส์กำลัง (PE)  
ไฟฟ้าสื่อสาร (CM)  
ระบบควบคุมและการวัดคุม (CT)  
อิเล็กทรอนิกส์ (EL)  
การประมวลผลสัญญาณดิจิทัล (DS)  
ไฟโตนิกส์ (PH)  
วิศวกรรมชีวการแพทย์ (BE)  
คอมพิวเตอร์และเทคโนโลยีสารสนเทศ (CP)

Volume II  
AEC Synergy

วันที่ ๑๘ - ๒๐ พฤศจิกายน พ.ศ. ๒๕๕๘  
โรงแรมวารบุรี อโยธยา คอนเวนชั่น รีสอร์ท จังหวัดพระนครศรีอยุธยา

UTCC School of Engineering คณะวิศวกรรมศาสตร์ มหาวิทยาลัยหอการค้าไทย

MAN MANAGEABLE INSULATOR

QTC QTC ENERGY PCL.

CROWN CERAMICS

Trinity

RITTA

EEAAT Electrical Engineering Academic Association (Thailand)

เอกสารนี้เป็นเอกสารที่สงวนไว้สำหรับการใช้งานเพื่อการศึกษาเท่านั้น ไม่อนุญาตให้นำไปใช้ประโยชน์ด้านการค้า  
ไม่ว่ากรณีใดๆ ทั้งสิ้น อีกทั้งห้ามมิให้ดัดแปลงเนื้อหา และต้องอ้างอิงถึงเจ้าของเอกสารทุกครั้งที่มีการนำไปใช้

## การศึกษาลักษณะการตอบสนองและประสิทธิภาพควอนตัม ของตัวตรวจวัดแสงโครงสร้าง Al/n-Si/Al Study on Responsivity and Quantum Efficiency of Al/n-Si/Al Photodetector

ธนภฤต แสงเรือง, อุกฤษษา แจ่มอรุณ, วุฒิไกร คำอ่อน, งามจิต มงคลธนพนธ์, วรเทพ น้อยปรีชา และ อรุณศักดิ์ นิยมเจริญ

ภาควิชาวิศวกรรมอิเล็กทรอนิกส์ คณะวิศวกรรมศาสตร์ สถาบันเทคโนโลยีพระจอมเกล้าเจ้าคุณทหารลาดกระบัง  
เขตที่ 1 ซอยฉลองกรุง 1 แขวงลาดกระบัง เขตลาดกระบัง กรุงเทพมหานคร 10520 E-mail: Sanghong.T@gmail.com

### บทคัดย่อ

บทความนี้เป็นการศึกษาสภาพการตอบสนองทางแสง และ ประสิทธิภาพควอนตัมของตัวตรวจวัดแสง MSM โครงสร้าง Al/n-Si/Al ซึ่งสร้างโดยใช้ซิลิคอนเทคโนโลยี โดยออกแบบโครงสร้างของ MSM เป็นแบบอินเตอร์ดิจิทเทท กำหนดให้ระยะห่างขั้วไฟฟ้า (electrode spacing:S) ขนาดสั้น มีขนาด 2 และ 3  $\mu\text{m}$  ส่วนความกว้างฟิงเกอร์ (electrode width:W) มีขนาด 20  $\mu\text{m}$  ความยาวฟิงเกอร์ (electrode length:L) มีความยาว 1 mm และมีจำนวนฟิงเกอร์ electrode 4 ฟิงเกอร์ ทำการศึกษาสมบัติทางแสง พบว่าที่ระยะห่างขั้วไฟฟ้า 2  $\mu\text{m}$  มีสภาพการตอบสนองทางแสง (RI) และประสิทธิภาพควอนตัม (QE) ที่  $\lambda = 830$  nm ประสิทธิภาพควอนตัมมีค่าเป็น 23.27% สภาพการตอบสนองทางแสงเท่ากับ 0.155 A/W และที่ระยะห่างขั้วไฟฟ้า 3  $\mu\text{m}$  ประสิทธิภาพควอนตัมมีค่าเป็น 23.74% สภาพการตอบสนองทางแสงเท่ากับ 0.159 A/W ซึ่งในบทความนี้ได้ทำการเปรียบเทียบกับตัวตรวจวัดแสง MSM โครงสร้าง Al/n-Si/Al ที่มีระยะห่างขั้วไฟฟ้าขนาดกว้างอีกด้วย ซึ่งเป็นประโยชน์ในการพัฒนาตัวอุปกรณ์ต่อไปในอนาคต

**คำสำคัญ:** ตัวตรวจวัดแสง, ประสิทธิภาพควอนตัม, สภาพการตอบสนองทางแสง

### Abstract

This paper proposed the responsivity and the quantum efficiency of the MSM photodetector Al/n-Si/Al structure. The was fabricated by using silicon technology. The structural design of the MSM in type interdigitate a short electrode gap (S) size 2 and 3  $\mu\text{m}$ . Width of fingers (W) is 20  $\mu\text{m}$  length of electrode (L) is 1 mm and number finger electrode is 4. To study the optical properties, the electrode gap is 2  $\mu\text{m}$  the responsivity (RI) and quantum efficiency (QE) at  $\lambda = 830$  nm. The responsivity is 0.155 A/W, the quantum efficiency is 23.27% the electrode spacing is 3  $\mu\text{m}$ , the responsivity is 0.159 A/W and the quantum efficiency values 23.74%. Moreover, the Al/n-Si/Al short electrode gap MSM photodetector were compared with the Al/n-Si/Al wide electrode gap. This paper may useful for further study.

**Keywords:** Photodetector, Quantum Efficiency, Responsivity

### 1. บทนำ

เทคโนโลยีในปัจจุบันมีความก้าวหน้าเป็นอย่างมาก เทคโนโลยีอิเล็กทรอนิกส์สารกึ่งตัวนำถูกนำมาใช้ในอุปกรณ์ต่างๆ มากมาย เช่น ตัวตรวจวัดก๊าซ ตัวตรวจวัดแสง เป็นต้น โครงสร้างโลหะ-สารกึ่งตัวนำ-โลหะ หรือโครงสร้าง MSM เป็นสิ่งประดิษฐ์สารกึ่งตัวนำที่มีบทบาทใช้งานในตัวตรวจวัดแสง ซึ่งสามารถวัดสเปกตรัมได้ตั้งแต่ช่วงของรังสีอุลตราไวโอเล็ต (ultraviolet) [1], ช่วงสเปกตรัมที่ตามองเห็น (visible light) [2], ช่วงอินฟราเรดใกล้ (near infrared) [3] และช่วงอินฟราเรด (infrared) [4] ซึ่งสามารถแก้ปัญหาเรื่องขีดจำกัดการมองเห็นของดวงตามนุษย์ได้ ตัวตรวจวัดแสงโครงสร้าง MSM ที่จัดอยู่ในกลุ่มโฟโตไดโอดแบบซีดตีทซ์ (schottky photodiode) ที่มีสมบัติเด่นหลายประการ ดังเช่น มีกระแสมืดต่ำ [5], สภาพการตอบสนองที่ถี่ [6], การทำงานด้วยความเร็วสูง [7] สัญญาณรบกวนต่ำ, มีเสถียรภาพที่ดี [9] และที่สำคัญสามารถสร้างเป็นวงจรรวมได้ง่าย เป็นต้น

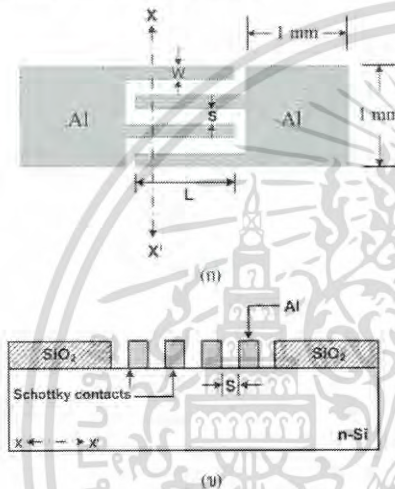
ตัวตรวจวัดแสง (photodetector) จะทำหน้าที่ตรวจจับแสงหรือพลังงาน โฟตอนของแสงที่ตกกระทบ เพื่อเปลี่ยนเป็นสัญญาณทางไฟฟ้า ตัวตรวจวัดแสงที่ใช้งานในปัจจุบันมีหลายชนิด เช่น โฟโตคอนดักเตอร์ (photoconductor) ที-อี-นโฟโตไดโอด (p-n photodiode) ทีนโฟโตไดโอด (p-i-n photodiode) โลหะ-สารกึ่งตัวนำโฟโตไดโอด (metal-semiconductor photodiode) [8 - 9] และอะวาแลนซ์โฟโตไดโอด (avalanche photodiode) เป็นต้น การเลือกใช้ตัวตรวจวัดแสงให้เหมาะสมกับกรประยุกต์ใช้งานเป็นสิ่งที่จะต้องพิจารณาเป็นลำดับต้นๆ

ในงานวิจัยนี้ทำการศึกษาเฉพาะตัวตรวจวัดแสงโครงสร้าง MSM ซึ่งเป็นโฟโตไดโอดที่จัดอยู่ในกลุ่มของโฟโตไดโอดแบบโลหะ-สารกึ่งตัวนำ หรือซีดตีทซ์โฟโตไดโอด เนื่องจากสร้างได้ง่าย เพราะว่ามีชั้นโลหะเพียงชั้นเดียวเท่านั้น แล้วทำการศึกษาสภาพการตอบสนองทางแสง (RI) ซึ่งตัวตรวจวัดแสงที่ดัดนั้นควรมีสภาพการตอบสนองทางแสงที่สูง เพื่อที่จะให้ตัวตรวจวัดแสงมีความสามารถในการเปลี่ยนพลังงานแสงให้เป็นพลังงานไฟฟ้าได้ดี่นั้นเอง

### 2. การทดลอง

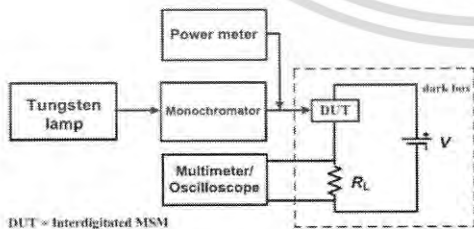
งานวิจัยนี้ได้ทำการสร้างตัวตรวจวัดแสงโครงสร้างโลหะ-สารกึ่งตัวนำ-โลหะ หรือ MSM ชนิด Al/n-Si/Al บนแผ่นซิลิคอนชนิด

เอ็น ระนาบ (100) ความหนาของแผ่นซิลิกอน 400  $\mu\text{m}$  และมีสภาพต้านทานไฟฟ้า 20  $\Omega\cdot\text{cm}$  ในกระบวนการสร้างตัวตรวจวัดแสงนี้จะสร้างลักษณะของขั้วไฟฟ้าขนาด  $1 \times 1 \text{ mm}^2$  มีความหนาของชั้นเอมูมิเนียม 1  $\mu\text{m}$  และกำหนดให้ระยะห่างขั้วไฟฟ้า (electrode spacing: S) มีขนาด 2, 3, 5, 10 และ 20  $\mu\text{m}$  ส่วนความกว้างฟิงเกอร์ (electrode width: W) มีขนาด 20  $\mu\text{m}$  ความยาวฟิงเกอร์ (electrode length: L) มีความยาว 1 mm และมีจำนวนฟิงเกอร์ electrode 4 ฟิงเกอร์



รูปที่ 1 ลักษณะของตัวตรวจวัดแสงโครงสร้าง MSM แบบอินเตอร์ดิจิท (ก) ภาพแสดงด้านบน และ (ข) ภาพแสดงตัดขวางตามแนวแกน X-X'

จากนั้นนำตัวตรวจวัดแสงมาขึงบนเครื่องวัดความถี่ที่เชื่อมต่อกับเครื่องเสริมแล้วทำการทดลอง เพื่อหาสภาพการตอบสนองทางแสง (R) และค่าประสิทธิภาพควอนตัม ( $\eta$ ) แบบสัญญาณกระแสตรง (dc optical signal) โดยต่อชุดทดลองดังรูปที่ 2 ซึ่งใช้แหล่งจ่ายแสงจากหลอดทังสเตน (tungsten lamp) แล้วส่งผ่านไปยังเครื่องโมโนโครมาเตอร์ (monochromator) ของบริษัท Nikon รุ่น G-250 เพื่อให้แสงผ่านไปได้เฉพาะความยาวคลื่นแสงที่กำหนด ( $\lambda = 650 - 950 \text{ nm}$ )



รูปที่ 2 แผนภาพการทดลอง เพื่อหาประสิทธิภาพควอนตัมทางแสง และสภาพการตอบสนองทางแสงของสัญญาณกระแสตรง

3. ผลการทดลอง

ในการวัดค่า R แบบสัญญาณกระแสตรง ได้ทำการทดลองเปรียบเทียบกับตัวตรวจวัดแสงในเชิงพาณิชย์ของบริษัท Hamamatsu เบอร์ S1226-8BQ ซึ่งตัวตรวจวัดแสงชนิดซิลิคอนโฟโตไดโอดที่มีพื้นที่ขนาดรับแสง 33  $\text{mm}^2$  ข้อมูลจากคู่มือแสดงค่า R = 0.34 A/W ที่ความยาวคลื่น 633 nm และ  $\eta = 75\%$  ที่ความยาวคลื่น 200 nm [10] จากการทดลองด้วยชุดทดลองที่แสดงในรูปที่ 2 ได้ R = 0.35 A/W และ  $\eta = 69\%$  ที่ความยาวคลื่น 633 nm ในขณะที่ความยาวคลื่นที่มีค่า R สูงสุด ( $\lambda_0$ ) = 770 nm แต่ในคู่มือแสดงค่า  $\lambda_0 = 720 \text{ nm}$  ซึ่งมีค่าแตกต่างกันอยู่บ้าง อย่างไรก็ตามในการทดลองเพื่อหาค่า R พบว่าค่า R ที่วัดได้ใกล้เคียงกับคู่มือ ซึ่งเป็นการยืนยันให้เห็นว่าชุดทดลอง ให้ผลการทดลองที่ยอมรับได้ในระดับที่ดี จากนั้นจึงนำตัวตรวจวัดแสงที่สร้างเสร็จแล้วมาทำการทดสอบต่อไป

3.1 สภาพการตอบสนองทางแสง และประสิทธิภาพควอนตัมที่ขึ้นกับความยาวคลื่นแสง

จากแผนภาพการทดลองในรูปที่ 2 ทดลองหาค่ากระแสแสงของตัวตรวจวัดแสงที่มีระยะ S ต่างๆ โดยกำหนดความยาวคลื่นแสงหลังจากตัวเครื่องโมโนโครมาเตอร์ให้อยู่ในช่วง 650 - 950 nm. ความต้านทานโหลด ( $R_L$ ) = 500  $\Omega$  และให้แรงดันไบอัสแก่ตัวตรวจวัดแสงคงที่ที่ 5 V แล้วนำค่ากระแสแสง จากนั้นนำไปส่วนวนหาสภาพการตอบสนองทางแสง และประสิทธิภาพควอนตัม ตามสมการที่ (1) และ (2) ผลการทดลองแสดงในรูปที่ 3

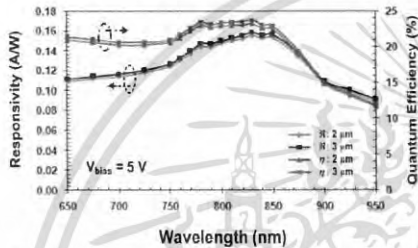
$$R = \frac{I_p}{P_{inc}} = \frac{\eta q}{h\nu} = \frac{\eta q \lambda}{hc} \quad (1)$$

$$\eta = \frac{I_p/q}{P_{inc}/h\nu} = \frac{I_p}{q} \cdot \frac{h\nu}{P_{inc}} \quad (2)$$

- และ
- โดยที่  $I_p$  คือ กระแสแสง (A)
  - $P_{inc}$  คือ กำลังงานของแสงที่ตกกระทบ (W)
  - $h$  คือ ค่าคงที่ของพลังค์ (J.s)
  - $c$  คือ ความเร็วคลื่นแสง (m)
  - $q$  คือ ประจุไฟฟ้าของอิเล็กตรอน (C)

ในรูปที่ 3 เป็นกราฟแบบสามแกน โดยแกนด้านซ้ายมือเป็นแกนสภาพการตอบสนองทางแสง ส่วนแกนด้านขวามือเป็นแกนประสิทธิภาพควอนตัมกับความยาวคลื่นที่เปลี่ยนแปลงไปในช่วง 650 - 950 nm ซึ่งแสดงให้เห็นว่าประสิทธิภาพควอนตัมและการตอบสนองทางแสงจะขึ้นกับความยาวคลื่นแสง และมีค่าสูงสุดเมื่อความยาวคลื่น ( $\lambda_0$ ) มีค่าเป็น 830 nm สำหรับรับแสงที่ R และ  $\eta$  ที่ความยาวคลื่น

แสงน้อยกว่า 830 nm มีค่าลดลง เนื่องจากสัมประสิทธิ์การดูดกลืนคลื่น มีค่าลดลง เมื่อความยาวคลื่นแสงมีค่าต่ำลง จึงทำให้ปริมาณกระแสแสง ที่ได้มีค่าลดลง และเมื่อความยาวคลื่นแสงมีความยาวคลื่นมากกว่า 830 nm พลังงานของแสงมีค่าลดลงตามความสัมพันธ์ของ  $E = h\nu$  ทำให้การดูดกลืนแสงมีค่าน้อยลง ซึ่งส่งผลให้จำนวนคู่อิเล็กตรอน-โฮลที่เกิดขึ้นมีจำนวนลดลง เป็นผลให้กระแสแสงที่ได้มีค่าลดลง จากสมเหตุสมผล ดังนั้นจึงผลกระทบทำให้  $R_f$  และ  $\eta$  มีค่าลดลงตามไปด้วย

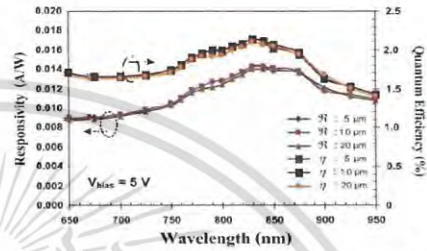


รูปที่ 3 ความสัมพันธ์ระหว่างสภาพการตอบสนองทางแสง และประสิทธิภาพควอนตัม แบบกระแสแสงกับความยาวคลื่นในช่วง 650 - 950 nm ของโครงสร้าง MSM ที่มีขนาด  $S = 2$  และ  $3 \mu\text{m}$

จากรูปที่ 3 พบว่า การตอบสนองทางแสงและประสิทธิภาพควอนตัม ที่  $\lambda = 830 \text{ nm}$  และให้แรงดันไบอัสแก่ตัวตรวจวัดแสง โครงสร้าง MSM เท่ากับ 5 V และมีระยะ  $S = 2$  และ  $3 \mu\text{m}$  จะมีค่า  $R_f$  เท่ากับ 0.155 และ 0.159 A/W ตามลำดับ ส่วน  $\eta$  จะมีค่าเป็น 23.27 และ 23.74 % ตามลำดับ ซึ่งมีค่าสูงสุด ที่ความยาวคลื่นนี้สัมพันธ์กับการดูดกลืนแสงจะมีค่าประมาณ  $12.7 \mu\text{m}$  [11] เมื่อสังเกตค่า  $R_f$  และ  $\eta$  ที่ได้ จะเห็นว่าค่าทั้งสองที่ได้มีค่าต่ำ เนื่องจากโครงสร้าง MSM ที่สร้างขึ้นนี้ไม่มีส่วนป้องกันกระแสที่ผิวซิลิคอน จึงทำให้แสงส่วนหนึ่งสะท้อนจากผิวซิลิคอนออกไป (30 - 40 %) นอกจากนี้ส่วนที่เรเตอร์ที่เป็นโลหะที่บดบังแสงซึ่งทำให้ตัวแปรทั้งสองมีค่าลดลงด้วย จากผลการทดลองของ H. C. Lee ได้  $R_f = 0.24 \text{ A/W}$  และ  $\eta = 35.9 \%$  ที่  $\lambda = 830 \text{ nm}$  (ระยะ  $S$  และ  $W = 2.5 \mu\text{m}$ ) [11] ในกรณีของเรามีค่าต่ำกว่า อาจเป็นไปได้จากตัว  $W$  ในโครงสร้างที่สร้างขึ้นมีขนาดใหญ่มากกว่า ( $W = 20 \mu\text{m}$ ) สำหรับค่า  $R_f$  และ  $\eta$  จากรูปที่ 3 ซึ่งพบอีกว่าที่ระยะ  $S = 3 \mu\text{m}$  จะได้ค่าประสิทธิภาพควอนตัมที่สูงกว่าที่ระยะ  $S = 2 \mu\text{m}$  เล็กน้อย นั่นหมายความว่าตัวตรวจวัดแสงที่ศึกษานี้ ระยะห่างขั้วไฟฟ้า  $S = 3 \mu\text{m}$  ควรจะเป็นระยะห่างที่ดีที่สุด ซึ่งจะได้รับการประสิทธิภาพในการเปลี่ยนแสงเป็นกระแสไฟฟ้าสูงสุด

ในขณะที่ผลการทดลองของตัวตรวจวัดแสงที่มีขนาด  $S = 5, 10$  และ  $20 \mu\text{m}$  พบว่า สภาพการตอบสนองทางแสง และประสิทธิภาพควอนตัม มีค่าสูงสุดที่ความยาวคลื่น ( $\lambda$ ) - 830 nm (เมื่อให้แรงดัน

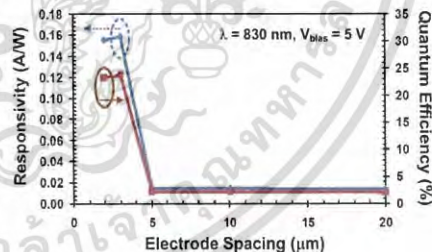
ไบอัสแก่ตัวตรวจวัดแสงโครงสร้าง MSM เท่ากับ 5 V) มีค่าต่ำมาก ดังแสดงในรูปที่ 4 โดยที่  $R_f = 0.014 \text{ A/W}$  และ  $\eta = 2.14 \%$



รูปที่ 4 ความสัมพันธ์ระหว่างสภาพการตอบสนองทางแสง และประสิทธิภาพควอนตัม แบบกระแสแสงกับความยาวคลื่นในช่วง 650 - 950 nm ของโครงสร้าง MSM ที่มีขนาด  $S = 5, 10$  และ  $20 \mu\text{m}$

### 3.2 สภาพการตอบสนองทางแสง และประสิทธิภาพควอนตัมที่ขึ้นอยู่กับระยะห่างขั้วไฟฟ้า

จากแผนภาพการทดลองในรูปที่ 1 มีการทดลองนำค่ากระแสแสงของตัวตรวจวัดแสงที่มีระยะ  $S$  ค่าต่างๆ โดยปรับค่าความยาวคลื่นแสงของเครื่องโมโรโครมเมตอร์เป็น 830 nm. ความต้านทานโหลด ( $R_L$ ) 500 โอห์ม และให้แรงดันไบอัส 5 V จากนั้นนำไปคำนวณหาสภาพการตอบสนองทางแสง และประสิทธิภาพควอนตัม ตามสมการที่ (1) และ (2) ผลการทดลองแสดงในรูปที่ 5



รูปที่ 5 ความสัมพันธ์ระหว่างประสิทธิภาพควอนตัม และสภาพการตอบสนองทางแสงกับระยะห่างขั้วไฟฟ้าที่มีความยาวคลื่น 830 nm และแรงดันไบอัส 5 V

ผลการทดลองแสดงในรูปที่ 5 เป็นกราฟความสัมพันธ์ระหว่างสภาพการตอบสนองทางแสงและประสิทธิภาพควอนตัม กับระยะ  $S$  พบว่า ระยะ  $S = 3 \mu\text{m}$  ค่า  $R_f = 0.159 \text{ A/W}$  และ  $\eta = 23.74 \%$  ซึ่งเป็นค่าสูงสุดที่ได้จากการทดลอง ในขณะที่  $S = 5, 10$  และ  $20$  มีค่าใกล้เคียงกัน และน้อยกว่าระยะ  $S = 3 \mu\text{m}$  มาก ดังนั้นการออกแบบให้ระยะ  $S$  ขนาดสั้นๆ และเลือกกระแสแสงที่เหมาะสมจะช่วยลดขนาด

ของตัวตรวจวัดแสงสูงได้อย่างมาก ซึ่งจะส่งผลให้ความรู้ไฟฟ้าของอุปกรณ์ลดลง

ตารางที่ 1 แสดงประสิทธิภาพควอนตัม และสภาพการตอบสนองทางแสงที่มีระยะห่างขั้วไฟฟ้าแตกต่างกัน

Type No.	Spectral $\lambda$ (nm)	Peak $\lambda_p$ (nm)	$\eta$ (A/W)	$\eta$ %
2 $\mu\text{m}$	650 to 950	830	0.155	23.27
3 $\mu\text{m}$			0.159	23.74
5 $\mu\text{m}$			0.014	2.14
10 $\mu\text{m}$			0.014	2.14
20 $\mu\text{m}$			0.014	2.14

จากข้อมูลสภาพการตอบสนองทางแสง และประสิทธิภาพควอนตัม ของตัวตรวจวัดแสงโครงสร้าง MSM สามารถสรุปได้ดังแสดงในตารางที่ 1

4. สรุปผลการทดลอง

จากผลการทดลองการหาสภาพการตอบสนองทางแสงและประสิทธิภาพควอนตัม ที่ขึ้นกับความยาวคลื่นแสงพบว่าในตัวตรวจวัดแสงโครงสร้างโลหะ-สารกึ่งตัวนำ-โลหะ หรือ MSM แบบสั้น สภาพการตอบสนองทางแสง ( $\eta$ ) และประสิทธิภาพควอนตัม ( $\eta$ ) ที่ความยาวคลื่น ( $\lambda$ ) เท่ากับ 830 nm ที่ให้แรงดันไบอัสแก่ตัวตรวจวัดแสงโครงสร้าง MSM เท่ากับ 5 V และมีระยะห่างระหว่างขั้วไฟฟ้า (S) เท่ากับ 2 และ 3  $\mu\text{m}$  จะมีสภาพการตอบสนองทางแสง ( $\eta$ ) มีค่าเป็น 0.155 และ 0.159 A/W ตามลำดับ ค่าประสิทธิภาพควอนตัม ( $\eta$ ) เป็น 23.27 และ 23.74 % ตามลำดับ ส่วนในตัวตรวจวัดแสงโครงสร้าง MSM ระยะห่างขั้วไฟฟ้าแบบกว้าง พบว่า สภาพการตอบสนองทางแสงและประสิทธิภาพควอนตัม ที่ให้แรงดันไบอัสแก่ตัวตรวจวัดแสงโครงสร้าง MSM เท่ากับ 5 V และมีระยะห่างระหว่างขั้วไฟฟ้า (S) เท่ากับ 10 และ 20  $\mu\text{m}$  มีค่าสัมประสิทธิ์ที่มีค่าการตอบสนองทางแสง ( $\eta$ ) เท่ากับ 2.14 % และประสิทธิภาพควอนตัม ( $\eta$ ) เท่ากับ 0.014 A/W ซึ่งในตัวตรวจวัดแสงที่มีนักรจะมีส่วนการตอบสนองทางแสงที่สูงเพื่อที่จะให้สามารถเปลี่ยนพลังงานแสงให้เป็นพลังงานไฟฟ้าได้มาก

5. กิตติกรรมประกาศ

ในบทความวิจัยนี้ขอขอบคุณ ศูนย์เทคโนโลยีไมโครอิเล็กทรอนิกส์ (TMEC) ที่ช่วยเหลือในด้านเทคโนโลยีการสร้างอุปกรณ์สารกึ่งตัวนำ ขอขอบคุณ ศูนย์วิจัยอิเล็กทรอนิกส์ (ERC) สถาบันเทคโนโลยีพระจอมเกล้าเจ้าคุณทหารลาดกระบัง ที่ให้ความรู้และคำแนะนำต่างๆ ที่เป็นประโยชน์แก่งานวิจัย

6. เอกสารอ้างอิง

- [1] R. J. Seymour and B. K. Garside, "Ultrafast Silicon Interdigital Photodiodes for Ultraviolet Applications", Canadian Journal of Physics, Vol. 63, No. 6, 1985, pp. 707-711.
- [2] S. J. Schabitsky, E. Chen and S. Y. Chou, "A wavelength and Polarization Detector Using Monolithically Integrated Subwavelength MSM Photodetector", Device Research Conference Digest, 55<sup>th</sup>, 1997, pp.168-169.
- [3] W. C. Koscielniak, R. M. Kolbas and M. A. Littlejohn, "Performance of Near-Infrared GaAs Metal-Semiconductor-Metal (MSM) Photodetector with Islands", IEEE Electron Device Letters, Vol. 9, No. 9, 1988, pp. 485-487.
- [4] S. Winnerl, D. Buca, S. Lenk, Ch. Buchal, S. Mantl and D.-X. Xu, "Fast IR Si/SiGe Superlattice MSM Photodetectors with Buried CoSi<sub>2</sub> Contacts", Microelectronic Engineering, Vol. 64, 2002, pp. 205-209.
- [5] J.-l. Chyi, T.-S. Wei, J.-W. Hong, W. Lin and Y.-K. Tu, "Low Dark Current and High Linearity InGaAs MSM Photodetectors", Electronics Letters, Vol. 30, No. 4, 1994, pp. 355-356.
- [6] R.-H. Yuang, J.-T. Chyi, Y.-J. Chan, W. Lin and Y.-K. Tu, "High-Responsivity MSM photodetectors with Semi-Transparent Schottky Contacts", Photonics Technology Letters, Vol. 7, No. 11, 1995, pp. 1333-1335.
- [7] S. Khunkhao, T. Aoki, T. Masui and K. Sato, "Low-Noise Behavior of Planar Mo<sub>0.5</sub>Si<sub>0.5</sub>Mo Optical Sensor Structures" Solid-State Electronics, 2004, pp. 149-154.
- [8] วรเทพ น้อยวีระชา, การออกแบบและสร้างโฟโตไดโอด Al<sub>0.5</sub>Si<sub>0.5</sub>Al ที่มีระยะห่างขั้วไฟฟ้าขนาดสั้น, บัณฑิตวิทยาลัยสถาบันเทคโนโลยีพระจอมเกล้าเจ้าคุณทหารลาดกระบัง, พ.ศ. 2552.
- [9] สมเกียรติ สุขเดช, เชนีคอมดักเตอร์ดีไวซ์, พิมพ์ครั้งที่ 2, แผนกตำรา คณะวิศวกรรมศาสตร์ สถาบันเทคโนโลยีพระจอมเกล้าเจ้าคุณทหารลาดกระบัง, พ.ศ. 2547.
- [10] Hamamatsu Corporation (online), "Silicon Photodiode : S1226-18BK", [http://sales.hamamatsu.com/de/produkte/solid-statodivision/si-photodiode-series/si\\_photodiode/part-s1226-18bk.php](http://sales.hamamatsu.com/de/produkte/solid-statodivision/si-photodiode-series/si_photodiode/part-s1226-18bk.php).
- [11] H. C. Lee and B. V. Zeghbroeck, "A Novel High-Speed Silicon MSM Photodetector Operating at 830 nm Wavelength", IEEE Electron Device Letters, Vol. 16, No. 5, 1995, pp. 175-177.

เอกสารนี้เป็นเอกสารที่สงวนไว้สำหรับการใช้งานเพื่อการศึกษาเท่านั้น ไม่อนุญาตให้นำไปใช้ประโยชน์ด้านการค้าไม่ว่ากรณีใดๆ ทั้งสิ้น อีกทั้งห้ามมิให้ดัดแปลงเนื้อหา และต้องอ้างอิงถึงเจ้าของเอกสารทุกครั้งที่มีการนำไปใช้



# EENET2016

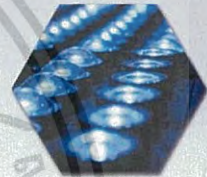
Innovation for Sustainability Entrepreneur

25-27 May 2016, Duangjitt Resort & Spa,  
Patong Beach, Phuket



การประชุมวิชาการเครือข่ายวิศวกรรมไฟฟ้า  
มหาวิทยาลัยเทคโนโลยีราชมงคล ครั้งที่ 8

**The 8th Conference of Electrical Engineering Network  
of Rajamangala University of Technology**



## Conference Topics

- ไฟฟ้ากำลัง (PW)
- อิเล็กทรอนิกส์กำลัง (PE)
- อิเล็กทรอนิกส์ (EL)
- ไฟฟ้าสื่อสาร (CM)
- ระบบควบคุมและการวัด (CT)
- คอมพิวเตอร์และเทคโนโลยีสารสนเทศ (CP)
- การประมวลผลสัญญาณดิจิทัล (DS)
- พลังงานและการอนุรักษ์พลังงาน (ES)
- นวัตกรรมและสิ่งประดิษฐ์ (IN)
- งานวิจัยอื่นที่เกี่ยวข้องกับวิศวกรรมไฟฟ้า (GN)



เอกสารนี้เป็นเอกสารที่สงวนไว้สำหรับการใช้งานเพื่อการศึกษาเท่านั้น ไม่อนุญาตให้นำไปใช้ประโยชน์ด้านการค้า  
ไม่ว่ากรณีใดๆ ทั้งสิ้น อีกทั้งห้ามมิให้ตัดแปลงเนื้อหา และต้องอ้างอิงถึงเจ้าของเอกสารทุกครั้งที่มีการนำไปใช้

## บทความวิจัย

การประชุมวิชาการเครือข่ายวิศวกรรมไฟฟ้ามหาวิทยาลัยเทคโนโลยีราชมงคล ครั้งที่ 8

Proceedings of the 8<sup>th</sup> Conference of Electrical Engineering Network of Rajamangala University of Technology 2016 (EENET 2016)

### การลดกระแสรั่วไหลของตัวตรวจจับแสงโครงสร้าง Al/n-Si/Al แบบ U-Shape

#### The Leakage Current Decrease of U-Shape Al/n-Si/Al Photodetector

ธนฤต แสงโสม<sup>1</sup>, จีรวัฒน์ ปราบชาติ<sup>1</sup> และ สุรศักดิ์ เกียมเจริญ<sup>1</sup>

<sup>1</sup>ภาควิชาวิศวกรรมอิเล็กทรอนิกส์ คณะวิศวกรรมศาสตร์ สถาบันเทคโนโลยีพระจอมเกล้าเจ้าคุณทหารลาดกระบัง

เลขที่ 1 จอยจลลองกรุง 1 แขวงลาดกระบัง เขตลาดกระบัง กรุงเทพมหานคร 10520 E-mail: Sanghong.T@gmail.com

<sup>1</sup>ศูนย์เทคโนโลยีไมโครอิเล็กทรอนิกส์ (TMEC) อำเภอเมือง จังหวัดฉะเชิงเทรา 24000

EL02

#### บทคัดย่อ

บทความนี้เป็นการศึกษาการลดกระแสรั่วไหลของตัวตรวจจับแสง MSM โครงสร้าง Al/n-Si/Al โดยออกแบบโครงสร้างเป็นแบบกร่องลึก (U-Shape) หรือ U-MSM ที่บริเวณระยะห่างระหว่างขั้วไฟฟ้า ซึ่งจะช่วยให้มีบริเวณพื้นที่รับแสงเพิ่มขึ้น น่าจะทำให้มีกระแสแสงเพิ่มขึ้น แต่พบว่าตัวตรวจจับแสงที่สร้างขึ้นนี้ มีกระแสรั่วไหลที่ค่อนข้างสูง จึงมีการศึกษาการใช้เทคนิคในการเพิ่มความสูงของกำแพงกั้นกึ่งตัวนำ ซึ่งค่าความสูงของกำแพงกั้นกึ่งตัวนำมีผลในการลดกระแสรั่วไหลในตัวอุปกรณ์ที่สร้างขึ้นได้ โดยจะทำการนำที่คำนวณการไหลของอิเล็กตรอนจากด้านโลหะไปยังด้านสารกึ่งตัวนำ ซึ่งถือเป็นพารามิเตอร์ที่สำคัญในการลดกระแสรั่วไหล การเพิ่มความสูงของกำแพงกั้นกึ่งตัวนำทำได้โดยการใช้เวลาในการขึ้นเคอร์ริงนานขึ้น ซึ่งพบว่าสามารถลดกระแสรั่วไหลได้ถึง 2 เท่า แม้ว่า การเพิ่มเวลาในการขึ้นเคอร์ริงจะมีผลในการลดกระแสรั่วไหลแต่ก็ยังมีค่าที่สูงอยู่ ซึ่งทางผู้วิจัยจะทำการศึกษาวิธีการอื่นในการลดกระแสรั่วไหลต่อไป ในขณะที่เวลาในการขึ้นเคอร์ริงมีผลน้อยมากกับกระแสแสงที่เกิดขึ้น

คำสำคัญ: ตัวตรวจจับแสง, ความสูงกำแพงกั้นกึ่งตัวนำ, กระแสรั่วไหล

#### Abstract

This article studies the leakage current reducing of the MSM photodetector Al / n-Si / Al structure designed by etching trenches (U-Shape) or U-MSM at the distance between the electrodes. It has an area of increased exposure. It will increase the flow of light. However, the photodetector built which has a relatively high leakage current. The study used the techniques to increase the barrier height. The height of the barrier height is effective in reducing leakage current in the created device. It acts as a resistance to the flow of electrons from the metal to the semiconductor. This is the important parameter in reducing leakage current, increasing the height of the potential barrier is achieved by the longer time of the sintering which was found to reduce the leakage

current of up to 2-fold. Even increase the time in the sintering will reduce leakage current, but it also has a high value on. The researchers will conduct a study to find the other ways to reduce the leakage current at the time of sintering has little effect on the flow of light occurs.

Keywords: Photodetector, Barrier height, Leakage current

#### 1. บทนำ

โครงสร้าง MSM หรือ โครงสร้างโลหะ-สารกึ่งตัวนำ-โลหะ เป็นอุปกรณ์ที่จัดอยู่ในประเภทกลุ่มของซีด็อกไซด์ไดโอด มีวัตถุประสงค์เพื่อนำมาใช้เป็นตัวตรวจจับแสง โดยที่โครงสร้างเป็นรอยลึมหักซีด็อกไซด์ 2 รอยลึมหักต่อกันแบบหันหลังชนกัน มีคุณสมบัติเด่นคือ ความจุไฟฟ้าต่ำ ทำงานด้วยความเร็วสูง มีเสถียรภาพที่ดี มีสภาพการตอบสนองที่ดี มีโครงสร้างที่ง่ายต่อการบูรณาการและที่สำคัญสามารถสร้างเป็นวงจรรวมได้ง่าย ด้วยเหตุนี้จึงทำให้มีงานวิจัยที่ทำการศึกษาและพัฒนาประสิทธิภาพของตัวตรวจจับแสง โครงสร้าง MSM อย่างหลากหลาย ซึ่งงานวิจัยที่เลือกนำมาศึกษาส่วนใหญ่จะเป็นโครงสร้างแบบพลาสมาร์

ในงานวิจัยนี้จะทำการศึกษาโดยเปลี่ยนจากโครงสร้างแบบพลาสมาร์เป็นแบบกร่องลึกลงไป หรือเรียกว่า U-Shape ซึ่งโครงสร้างนี้ยังไม่ค่อยมีงานวิจัยที่เกี่ยวข้องมากนัก ถือเป็นเทคนิคใหม่ในการสร้างตัวตรวจจับแสง เทคนิคการกัดร่องลึกจะใช้สารละลายเคอร์ริงแบบเปียก (wet etching) การกัดซีด็อกไซด์ให้สารละลายนี้จะทำให้เกิดสมมาตรกัดแบบแอนไอโซทรอปิก (anisotropic) [1] คือเป็นการกัดแบบเลือกทิศทางในการกัดซีด็อกไซด์ ซึ่งอัตราการกัดของ TMAH ในผลึกซีด็อกไซด์จะแตกต่างกัน (100) > (110) > (111) [2] จะทำให้เราได้โครงสร้างที่เราต้องการ ซึ่งโครงสร้างแบบ U-Shape นี้จะช่วยให้มีพื้นที่รับแสงเพิ่มขึ้น จึงน่าจะทำให้มีกระแสแสงเพิ่มขึ้นด้วย แต่ยังไม่พบว่าหลังจากสร้างตัวตรวจจับแสงแบบ U-Shape เสร็จแล้วนั้น มีกระแสรั่วไหลค่อนข้างสูง ในงานวิจัยนี้จึงมีการศึกษาวิธีในการลดกระแสรั่วไหลขึ้น

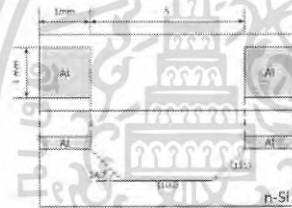
**บทความวิจัย**

การประชุมวิชาการเครือข่ายวิศวกรรมไฟฟ้ามหาวิทยาลัยเทคโนโลยีราชมงคล ครั้งที่ 8

*Proceedings of the 8<sup>th</sup> Conference of Electrical Engineering Network of Rajamangala University of Technology 2016 (EENET 2016)*

**2. การทดลอง**

งานวิจัยนี้ได้ทำการสร้างตัวตรวจวัดแสงโครงสร้างโลหะ-สารกึ่งตัวนำ-โลหะ หรือ MSM ชนิด Al/n-Si/Al บนแผ่นซิลิคอนชนิด (100) ความหนาของแผ่นซิลิคอน 625  $\mu\text{m}$  และมีสภาพต้านทานไฟฟ้า 75-95  $\Omega\cdot\text{cm}$  ในกระบวนการสร้างตัวตรวจวัดแสงนี้จะสร้างลักษณะของขั้วไฟฟ้าขนาด  $1 \times 1 \text{ mm}^2$  มีความหนาของชั้นอลูมิเนียม 2  $\mu\text{m}$  และกำหนดให้ระยะห่างระหว่างขั้วไฟฟ้า (electrode spacing : S) มีขนาด 40  $\mu\text{m}$  ดังแสดงในรูปที่ 1 ตัวตรวจวัดแสงที่สร้างขึ้นจะเป็นแบบพลาสมาร์ จากนั้นจะนำตัวตรวจวัดแสงแบบพลาสมาร์ไปกัดร่องลึกด้วยกระบวนการกัดแบบเปียก โดยใช้สารละลาย TMAH มีอัตราส่วนระหว่าง TMAH:H<sub>2</sub>O เท่ากับ 1:2 ที่อุณหภูมิ 80 องศาเซลเซียส เป็นเวลา 11 นาที แล้วนำชิ้นงานไปจุ่มสารที่อุณหภูมิ 500 องศาเซลเซียส ในบรรยากาศของก๊าซไนโตรเจนที่มีอัตราการไหล 1 ลิตร/นาที ก็จะได้อัลตรารวมโครงสร้าง Al/n-Si/Al แบบ U-Shape หรือ U-MSM

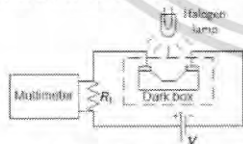


รูปที่ 1 ลักษณะโครงสร้างของตัวตรวจวัดแสงแบบ U-Shape

**3. ผลการทดลอง**

**3.1 ลักษณะสมบัติกระแส-แรงดันขณะไม่ได้รับแสงตกกระทบบน**

หลังจากสร้างชิ้นงานเสร็จเรียบร้อยแล้ว จากนั้นนำไปจุ่มสารที่อุณหภูมิ 500 องศาเซลเซียส เป็นเวลา 15 และ 30 นาที แล้วนำชิ้นงานมาวัดค่าความต้านทานของกระแส-แรงดันของอุปกรณ์ U-MSM โครงสร้าง Al/n-Si/Al ขณะที่ไม่มีแสงตกกระทบบน โดยต่อชุดการทดลองดังรูปที่ 2 โดยป้อนแรงดันไบอัสตั้งแต่ -3 ถึง 3 V

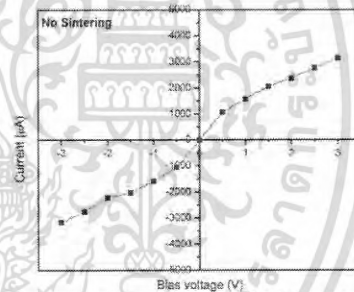


รูปที่ 2 การวัดกระแส-แรงดัน

ตัวตรวจวัดแสงที่ใช้ในงานวิจัยนี้ มีขั้วโลหะที่สร้างจากโลหะชนิดเดียวกัน คือ อลูมิเนียม (Al) ดังนั้นตัวตรวจวัดแสงในขณะมืด ค่าตรวจวัดแสงนี้จึงมีความสูงค่าเท่ากับศักย์ซีดส์คีย์ของขั้วแคโทด ( $\phi_{cat}$ ) และขั้วแอโนด ( $\phi_{an}$ ) มีขนาดเท่ากันหรือ  $\phi_{an} = \phi_{cat} = \phi_{ms}$  แรงดันภายใน

ของขั้วแคโทด ( $V_{ms}$ ) และขั้วแอโนด ( $V_{an}$ ) มีขนาดเท่ากัน หรือ  $V_{an} = V_{cat} = V_{ms}$  และความกว้างบริเวณปกคลุมทางด้านแคโทด ( $W_{cat}$ ) และด้านแอโนด ( $W_{an}$ ) มีขนาดเท่ากัน หรือ  $W_{an} = W_{cat} = W_{ms}$  ทำให้โครงสร้างนี้มีลักษณะสมมาตร ดังแสดงในรูปที่ 3

ในขณะที่ตัวตรวจวัดแสงไม่ได้รับแสงตกกระทบบนแล้วมีการจ่ายแรงดันไบอัสให้แก่ตัวตรวจวัดแสง โดยให้ขั้วโลหะด้านหนึ่งได้รับไบอัสตรง และขั้วโลหะอีกด้านได้รับแรงดันไบอัสย้อนกลับ โดยขั้วโลหะที่ได้รับแรงดันไบอัสย้อนกลับนี้ จะส่งผลให้เกิดการขยายตัวของบริเวณปกคลุมหาคะ และมีกระแสที่เคลื่อนที่ของอิเล็กตรอนจากทางด้านโลหะ ข้ามกับแท่งซีดส์คีย์ไปยังด้านสารกึ่งตัวนำ ผลจากการเคลื่อนที่ของอิเล็กตรอนดังกล่าวทำให้เกิดกระแส หรือเรียกว่ากระแสมืดของตัวตรวจวัดแสง มีทิศทางการเคลื่อนที่จากด้านขั้วแคโทดไปยังด้านแคโทด ( $I_{sm}$ ) ซึ่งปัจจัยหนึ่งที่สามารถลดการเกิดกระแสมืดในตัวตรวจวัดแสงได้ คือ ตัวแท่งซีดส์คีย์ ซึ่งทำหน้าที่ป้องกันไม่ให้อิเล็กตรอนจากด้านโลหะไหลข้ามไปส่งสารกึ่งตัวนำได้โดยตรง



รูปที่ 3 ลักษณะสมบัติกระแส-แรงดันเมื่อไม่ผ่านสารจุ่มแคโรซีนขณะไม่ได้รับแสงตกกระทบบน

ค่าความสูงของแท่งซีดส์คีย์มีผลในการลดกระแสรั่วไหลในตัวอุปกรณ์ที่สร้างขึ้นได้ โดยจะทำให้พื้นที่ด้านทานการไหลของอิเล็กตรอนจากด้านโลหะไปยังด้านสารกึ่งตัวนำ ถือเป็นพารามิเตอร์ที่สำคัญในการบอกระดับกระแสรั่วไหลที่เกิดขึ้นในซีดส์คีย์ได้ โดยได้จากสมการที่ (3) เมื่ออุณหภูมิสูงขึ้นจะส่งผลต่อขนาดของค่าแท่งซีดส์คีย์ที่เกิดขึ้นในซีดส์คีย์ได้โดยเท่ากับ

$$I = I_0 \left[ \exp\left(\frac{qV_s}{kT}\right) - 1 \right] \tag{1}$$

เมื่อให้แรงดัน  $V_s = 0 \text{ V}$  ทำให้กระแส  $I$  มีค่าเท่ากับ  $I_0$

โดย  $I_0$  คือ กระแสอิ่มตัว มีค่าเท่ากับ

$$I_0 = ART^2 \exp\left(\frac{-q\phi_{ms}}{kT}\right) \tag{2}$$

เอกสารนี้เป็นเอกสารที่สงวนไว้สำหรับการใช้งานเพื่อการศึกษาเท่านั้น ไม่อนุญาตให้นำไปใช้ประโยชน์ด้านการค้า ไม่ว่ากรณีใดๆ ทั้งสิ้น อีกทั้งห้ามมิให้ดัดแปลงเนื้อหา และต้องอ้างอิงถึงเจ้าของเอกสารทุกครั้งที่มีการนำไปใช้

**บทความวิจัย**

การประชุมวิชาการเครือข่ายวิศวกรรมไฟฟ้ามหาวิทยาลัยเทคโนโลยีราชมงคล ครั้งที่ 8

*Proceedings of the 8<sup>th</sup> Conference of Electrical Engineering Network of Rajamangala University of Technology 2016 (EENET 2016)*

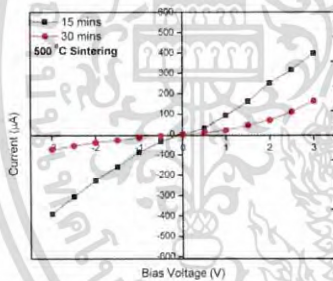
ดังนั้นความสูงกำแพงศักย์ซึ่งสามารถหาได้จาก

$$\phi_{sc} = \frac{kT}{q} \ln \left( \frac{ART^2}{I_0} \right) \quad (3)$$

โดยที่

- $k$  คือ ค่าคงที่ของโบลต์ซมันน์ มีค่าประมาณ  $8.617 \times 10^{-5}$  eV/K
- $T$  คือ อุณหภูมิสัมบูรณ์ (K)
- $R$  คือ ค่าคงตัวรีชาร์ดสัน มีค่าประมาณ  $110 \text{ A.cm}^{-2} \cdot \text{K}^{-2}$  (n-Si)
- $q$  คือ ประจุไฟฟ้าของอิเล็กตรอน มีค่าประมาณ  $1.609 \times 10^{-19}$  C
- $A$  คือ พื้นที่รอยต่อผิวระหว่างโลหะ-สารกึ่งตัวนำ ( $\text{cm}^2$ )

เนื่องจากกราฟทดลองที่ผ่านมาพบว่าเมื่อทำการซินเตอร์ที่ อุณหภูมิ 500 องศาเซลเซียส เป็นเวลา 15 นาที จะทำให้มีค่ากำแพงศักย์ ซีกดักซ์ของรอยสัมผัส Al/n-Si มีค่าประมาณ 0.72 eV [3] และเมื่อทำการซินเตอร์เป็นเวลา 30 นาที ค่ากำแพงศักย์มีค่าเพิ่มขึ้นเป็น 0.86 eV [4] จะเห็นได้จากรูปที่ 4 ซึ่งพบว่ามีการแพร่ไหลลดลงเนื่องจากมีค่าความสูงของกำแพงศักย์เพิ่มขึ้นจากเวลาที่ใช้ในการซินเตอร์เพิ่มขึ้น



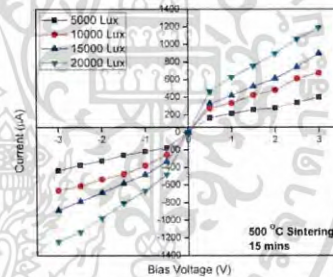
รูปที่ 4 ลักษณะสมบัติกระแส-แรงดันเมื่อผ่านการซินเตอร์ที่อุณหภูมิ 500 °C ขณะไม่ได้รับแสงตกกระทบ

จากรูปที่ 3 และรูปที่ 4 เป็นความสัมพันธ์ระหว่างกระแส-แรงดันของอุปกรณ์ U-MSM โครงสร้าง Al/n-Si/Al ขณะที่ไม่มีแสงตกกระทบ พบว่ากระแสรั่วไหลของอุปกรณ์ U-MSM โดยอุปกรณ์ที่ไม่ผ่านการซินเตอร์จะมีค่ากระแสรั่วไหลประมาณ 3138 µA และจะมีค่าลดลงเมื่อทำการซินเตอร์เป็นเวลานานขึ้น อุปกรณ์ที่ผ่านการซินเตอร์ที่อุณหภูมิ 500 องศาเซลเซียส เป็นเวลา 15 และ 30 นาที จะมีกระแสรั่วไหลประมาณ 398 และ 164 µA ตามลำดับ เนื่องจากในช่วงอุณหภูมิ 500 องศาเซลเซียส เป็นช่วงที่ค่าความสูงของกำแพงศักย์มีค่าสูงขึ้น การเปลี่ยนแปลงของค่าความสูงกำแพงศักย์ที่เกิดขึ้นนี้ มาจากอูมิเนียมเป็นโลหะที่มีจุดหลอมเหลวต่ำ โดยมีจุดหลอมเหลวอยู่ที่ประมาณ 660 องศาเซลเซียส ดังนั้นในช่วงที่อุณหภูมิอยู่ใกล้กับจุดหลอมเหลว จะทำให้ออูมิเนียมแพร่เข้าไปในซิลิคอนชนิดเอ็น [5] แสดงให้เห็นว่าคุณสมบัติ

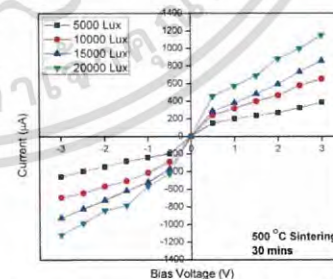
ทางไฟฟ้าของรอยสัมผัสเปลี่ยนแปลงไปเมื่อทำการซินเตอร์เป็นเวลานานขึ้น ทำให้เป็นอ็อกไซด์ ซึ่งจะทำให้เป็นรอยสัมผัสที่ดียิ่งขึ้น

**3.2 ลักษณะสมบัติกระแส-แรงดันขณะได้รับแสงตกกระทบ**

ความสัมพันธ์ของกระแส-แรงดันของอุปกรณ์ U-MSM โครงสร้าง Al/n-Si/Al ขณะที่ไม่มีแสงตกกระทบจากแหล่งกำเนิดแสงจากหลอดฮาโลเจนที่มีความเข้มค่าต่างๆ โดยต่อชุดการทดลองดังรูปที่ 2 โดยป้อนแรงดันไบอัสตั้งแต่ -3 ถึง 3 V กระแสแสงหาได้จากสมการ (4) พบว่าอุปกรณ์จะมีกระแสเพิ่มขึ้นเนื่องจากการเกิดคู่อิเล็กตรอน-โฮลที่มากขึ้นจากความเข้มแสงเพิ่มขึ้น ดังแสดงในรูปที่ 5 และรูปที่ 6 พบว่าที่เวลาซินเตอร์ที่ 15 และ 30 นาที โดยที่ความเข้มแสง 5000, 10000, 15000 และ 20000 Lux จะมีกระแสแสงประมาณ 400, 676.2, 897.2 และ 1190.7 µA ตามลำดับ และที่เวลาซินเตอร์ 30 นาที จะมีกระแสแสงประมาณ 388, 653.2, 859.2 และ 1150.4 µA ตามลำดับ และมีการเปลี่ยนแปลงเป็นแบบเชิงเส้น ดังแสดงในรูปที่ 7 ลักษณะกระแส-แรงดันที่ได้มีความสมมาตรดี



รูปที่ 5 ลักษณะสมบัติกระแส-แรงดันเมื่อผ่านการซินเตอร์ที่อุณหภูมิ 500 °C เป็นเวลา 15 นาที ขณะได้รับแสงตกกระทบ



รูปที่ 6 ลักษณะสมบัติกระแส-แรงดันเมื่อผ่านการซินเตอร์ที่อุณหภูมิ 500 °C เป็นเวลา 30 นาที ขณะได้รับแสงตกกระทบ

$$I_P = I_{Msc} - I_{Dark} \quad (4)$$

เอกสารนี้เป็นเอกสารที่สงวนไว้สำหรับการใช้งานเพื่อการศึกษาเท่านั้น ไม่อนุญาตให้นำไปใช้ประโยชน์ด้านการค้าไม่ว่ากรณีใดๆ ทั้งสิ้น อีกทั้งห้ามมิให้ดัดแปลงเนื้อหา และต้องอ้างอิงถึงเจ้าของเอกสารทุกครั้งที่มีการนำไปใช้

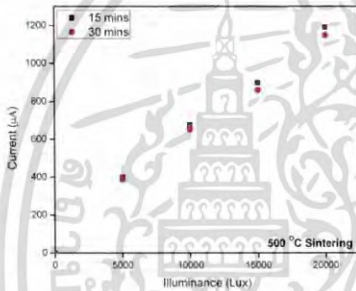
**บทความวิจัย**

การประชุมวิชาการเครือข่ายวิศวกรรมไฟฟ้ามหาวิทยาลัยเทคโนโลยีราชมงคล ครั้งที่ 8

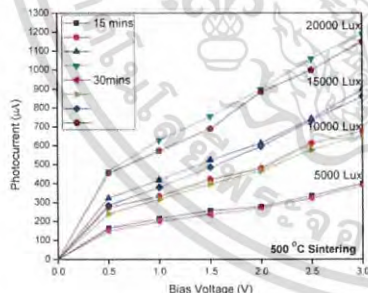
*Proceedings of the 8<sup>th</sup> Conference of Electrical Engineering Network of Rajamangala University of Technology 2016 (EENET 2016)*

สำหรับกระแสแสง ( $I_p$ ) หากได้จากกระแสที่ได้จากการวัด ( $I_{ms}$ ) ลบด้วยกระแสมืด ( $I_{dark}$ ) หรือกระแสรั่วไหล ตามสมการที่ (4) จะได้กราฟลักษณะกระแส-แรงดัน ดังแสดงในรูปที่ 8 ซึ่งพบว่ากระแสที่ความเข้มค่าเดียวกัน เมื่อเพิ่มเวลาในการซินเตอร์จะมีค่าเกือบเท่ากัน และกระแสแสงจะมีค่าเพิ่มขึ้นเมื่อเพิ่มความเข้มแสง ดังนั้นอาจพิจารณาได้ว่าเวลาในการซินเตอร์จึงมีผลต่อกระแสแสงที่เกิดขึ้นน้อย แต่จะมีผลในการลดกระแสรั่วไหลของตัวอุปกรณ์มากกว่า อย่างไรก็ตามจึงแนะนำให้เพิ่มเวลาในการซินเตอร์จะมีผลต่อการลดกระแสรั่วไหลในตัวอุปกรณ์ที่สร้างขึ้นได้ แต่ก็ยังมีค่ากระแสรั่วไหลที่สูงอยู่

เนื่องจากอุปกรณ์ U-MSM โครงสร้าง Al/n-Si/Al ที่สร้างขึ้นมีกระแสรั่วไหลที่ค่อนข้างสูง จึงใช้เทคนิคในการซินเตอร์เพื่อเพิ่มความสูงค่าแรงกักของรอยสัมผัสชนิดกึ่งขึ้น ซึ่งพบว่าสามารถลดระดับของกระแสรั่วไหลได้ถึง 2 เท่า แต่ก็ยังมีค่ากระแสรั่วไหลในระดับที่ยังสูงอยู่ ซึ่งทางผู้วิจัยจะทำการศึกษาวงจรในการลดกระแสรั่วไหลต่อไป จากการศึกษาทดลองลักษณะสมบัติกระแส-แรงดัน ขณะได้รับแสงลดกระทบพบว่าตัวตรวจวัดแสงที่สร้างขึ้นสามารถตอบสนองทางแสงได้ และเวลาที่ใช้ในการซินเตอร์ไม่มีผลต่อกระแสแสงที่เกิดขึ้นมากนัก แต่มีผลในการลดกระแสรั่วไหลในตัวอุปกรณ์มากกว่า



รูปที่ 7 ลักษณะสมบัติกระแส-ความเข้มแสงเมื่อผ่านการซินเตอร์ที่อุณหภูมิ 500 °C เป็นเวลา 15 และ 30 นาที ขณะได้รับแสงลดกระทบ



รูปที่ 8 ลักษณะสมบัติกระแส-แรงดันเมื่อผ่านการซินเตอร์ที่อุณหภูมิ 500 °C เป็นเวลา 15 และ 30 นาที

**4. สรุปผลการทดลอง**

ในงานวิจัยนี้ได้ทำการศึกษาผลกระทบของเวลาในการซินเตอร์เพื่อเพิ่มขนาดความสูงของกำแพงกักชนิดกึ่งขึ้น ซึ่งความสูงของกำแพงกักชนิดกึ่งขึ้นมีผลต่อกระแสรั่วไหลของตัวอุปกรณ์ที่สร้างขึ้น

**5. กิตติกรรมประกาศ**

ในบทความวิจัยนี้ขอขอบคุณ ศูนย์เทคโนโลยีไมโครอิเล็กทรอนิกส์ (TMEC) ที่ช่วยเหลือในด้านเทคโนโลยีการสร้างอุปกรณ์สารกึ่งตัวนำ ขอขอบคุณ ห้องปฏิบัติการเทคโนโลยีพลังงานแสงอาทิตย์ (STL) ศูนย์เทคโนโลยีอิเล็กทรอนิกส์และคอมพิวเตอร์แห่งชาติ ที่เอื้อเฟื้อเครื่องมือที่เป็นประโยชน์ในงานวิจัย และขอขอบคุณศูนย์วิจัยอิเล็กทรอนิกส์ (ERC) สถาบันเทคโนโลยีพระจอมเกล้าเจ้าคุณทหารลาดกระบัง ที่ให้ความรู้และคำแนะนำต่างๆ ที่เป็นประโยชน์แก่งานวิจัย

**6. เอกสารอ้างอิง**

- [1] ชัยชนะ สักดิโกวิท. "ทรานซิสเตอร์ความดันชนิดซิลิกอนแบบเปลือยโอรุชิชิปปิน โคอะเฟรมบาง". วิทยานิพนธ์วิศวกรรมศาสตรมหาบัณฑิต สาขาวิศวกรรมไฟฟ้า, สถาบันเทคโนโลยีพระจอมเกล้าเจ้าคุณทหารลาดกระบัง, 2534
- [2] Darling, R.B. "Wet Etching" [Online]. Available :http://www.virilab.virginia.edu/nanoscience\_class/lecture\_notes/Microfabrication\_Supporting\_materials\_files/R.B.Darling%20-%20Washington%20U%20-%20WetEtching.pdf, 2015
- [3] ชนศ โสระเทม. "การออกแบบและก่อสร้างตัวตรวจวัดแสงชนิด Al-n-Si/Al แบบพลาสมา". วิทยานิพนธ์วิศวกรรมศาสตรมหาบัณฑิต สาขาวิชาไมโครอิเล็กทรอนิกส์, สถาบันเทคโนโลยีพระจอมเกล้าเจ้าคุณทหารลาดกระบัง, 2548
- [4] สนธิ กลิ่นสนธิ. "การศึกษาระบบการรังสีและลักษณะสมบัติของซิลิกอนชนิดกึ่งขึ้น โดตที่ถูกแพร่ด้วยอะตอมสารเจือปนชนิดบีเอ็ม". วิทยานิพนธ์วิศวกรรมศาสตรมหาบัณฑิต สาขาวิชา ไมโครอิเล็กทรอนิกส์, สถาบันเทคโนโลยีพระจอมเกล้าเจ้าคุณทหารลาดกระบัง, 2556
- [5] สราวุธ วิศวแสวงสุข, การศึกษาคุณสมบัติทางแสงของโฟโตไดโอด โครงสร้าง Al/Si/Al, บัณฑิตวิทยาลัย สถาบันเทคโนโลยีพระจอมเกล้าเจ้าคุณทหารลาดกระบัง, พ.ศ. 2545

เอกสารนี้เป็นเอกสารที่สงวนไว้สำหรับการใช้งานเพื่อการศึกษาเท่านั้น ไม่อนุญาตให้นำไปใช้ประโยชน์ด้านการค้าไม่ว่ากรณีใดๆ ทั้งสิ้น อีกทั้งห้ามมิให้ดัดแปลงเนื้อหา และต้องอ้างอิงถึงเจ้าของเอกสารทุกครั้งที่มีการนำไปใช้

## ประวัติผู้เขียน

ชื่อ-นามสกุล	นายธนกฤต แสงโฮง
วัน เดือน ปีเกิด	28 กันยายน 2534
ที่อยู่	109/10 หมู่ 3 ตำบลในเมือง อำเภอเมือง จังหวัดขอนแก่น 40000
ประวัติการศึกษา	พ.ศ. 2556 วิทยาศาสตร์บัณฑิต สาขาฟิสิกส์ประยุกต์ โขสิตสเททอิลีกทรอนิกส์ สถาบันเทคโนโลยีพระจอมเกล้าเจ้าคุณทหารลาดกระบัง
ความชำนาญเฉพาะด้าน	กระบวนการสปีดเตอร์ริง

### ผลงานที่ได้รับการตีพิมพ์

- [1] ธนกฤต แสงโฮง, ไอลดา สุวรรณชาติ, งามจิต มงคลธนานนท์, นรินทร์ อติวงศ์แสงทอง, และสุรศักดิ์ เนียมเจริญ, “การศึกษาเสถียรภาพทางอุณหภูมิของข้อต่อทึบที่ไดโอดที่ผ่านการฉายรังสีเอกซ์หลังจากแพร์อะตอมสารเจือแพลทินัม”, การประชุมวิชาการเครือข่ายวิศวกรรมไฟฟ้ามหาวิทยาลัยเทคโนโลยีราชมงคล ครั้งที่ 7, หน้า 287-290, 27-29 พฤษภาคม 2558
- [2] งามจิต มงคลธนานนท์, วุฒิไกร คำอ่อน, ธนกฤต แสงโฮง, ยุทธนา แจ็งอรุณ, วรเทพ น้อยปรีชา และสุรศักดิ์ เนียมเจริญ, “การศึกษาสมบัติของกระแสแรงดัน ของตัวตรวจวัดแสงโครงสร้าง AVn-Si/Al แบบอินเตอร์ดิเจกทีฟที่มีระยะห่างขั้วไฟฟ้าขนาดสั้น”, การประชุมวิชาการทางวิศวกรรมไฟฟ้า ครั้งที่ 38, Volume II หน้า 663-666, 18-20 พฤศจิกายน 2558
- [3] ยุทธนา แจ็งอรุณ, ธนกฤต แสงโฮง, วุฒิไกร คำอ่อน, งามจิต มงคลธนานนท์, วรเทพ น้อยปรีชา, รังสรรค์ เมืองเหลือ และสุรศักดิ์ เนียมเจริญ, “การศึกษาการหาค่าตัวแปรของรอยลัมผัสข้อต่อทึบที่ไดโอด โครงสร้าง AVn-Si ด้วยเทคนิคต่างๆ”, การประชุมวิชาการทางวิศวกรรมไฟฟ้า ครั้งที่ 38, Volume II หน้า 683-686, 18-20 พฤศจิกายน 2558
- [4] ธนกฤต แสงโฮง, ยุทธนา แจ็งอรุณ, วุฒิไกร คำอ่อน, งามจิต มงคลธนานนท์, วรเทพ น้อยปรีชา และสุรศักดิ์ เนียมเจริญ, “การศึกษาสภาพการตอบทางแสงและประสิทธิภาพควอนตัม ของตัวตรวจวัดแสงโครงสร้าง AVn-Si/Al”, การประชุมวิชาการทางวิศวกรรมไฟฟ้า ครั้งที่ 38, Volume II หน้า 769-772, 18-20 พฤศจิกายน 2558
- [5] ธนกฤต แสงโฮง, จิรวัดณ์ ปราบเขต และสุรศักดิ์ เนียมเจริญ, “การลดกระแสรั่วไหลของตัวตรวจวัดแสงโครงสร้าง AVn-Si/Al แบบ U-Shape”, การประชุมวิชาการเครือข่ายวิศวกรรมไฟฟ้ามหาวิทยาลัยเทคโนโลยีราชมงคล ครั้งที่ 8, หน้า 169-172, 25-27 พฤษภาคม 2559

เอกสารนี้เป็นเอกสารที่สงวนไว้สำหรับการใช้งานเพื่อการศึกษาเท่านั้น ไม่อนุญาตให้นำไปใช้ประโยชน์ด้านการค้า ไม่ว่าจะกรณีใดๆ ทั้งสิ้น อีกทั้งห้ามมิให้ดัดแปลงเนื้อหา และต้องอ้างอิงถึงเจ้าของเอกสารทุกครั้งที่มีการนำไปใช้